

**EGE ÜNİVERSİTESİ FEN BİLİMLERİ ENSTİTÜSÜ**

**(DOKTORA TEZİ)**

*136637*

**YATAĞAN HAVZASINDA TOPRAK EROZYONU  
HİZİNİN RADYOAKTİF SEZYUM TEKNİĞİ  
KULLANILARAK ÖLÇÜLMESİ**

**Müslüm, Murat SAC**

**Nükleer Bilimler Anabilim Dalı**

**Bilim Dalı Kodu: 622.01.01**

**Sunuş Tarihi: 19.06.2003**

**Tez Danışmanı: Prof. Dr. Güngör YENER**

**Bornova-İZMİR**

**T.C. YÖRÜK EĞİTİM KURULU  
DOĞUMANTASYON MERKEZİ**

*136637*

Sayın Müslim Murat SAÇ tarafından DOKTORA TEZİ olarak sunulan  
“Yatağan Havzasında Toprak Erozyonu Hızının Radyoaktif Sezymum  
Tekniği Kullanılarak Ölçülmesi” başlıklı bu çalışma E. Ü. Lisansüstü  
Eğitim ve Öğretim Yönetmeliği ile E.Ü. Fen Bilimleri Enstitüsü Eğitim  
ve Öğretim Yönergesi'nin ilgili hükümleri uyarınca tarafımızdan  
değerlendirilerek savunmaya değer bulunmuş ve 19.06.2003 tarihinde  
yapılan tez sınavında aday oybirliği/oyçokluğu ile başarılı bulunmuştur.

**Jüri Üyeleri**

**Jüri Başkanı :** Prof.Dr. Güngör YENER

İmza



**Raportör :** Yard. Doç. Dr. Aysun UĞUR

Aysun

**Üye :** Doç. Dr. Müjgan ŞALK



**Üye :** Doç. Dr. Nurdoğan CAN



**Üye :** Doç.Dr. Mehmet N. KUMRU



### III

## ÖZET

# YATAĞAN HAVZASINDA TOPRAK EROZYONU HİZİNİN RADYOAKTİF SEZYUM TEKNİĞİ KULLANILARAK ÖLÇÜLMESİ

SAÇ, Müslim Murat

Doktora Tezi, Nükleer Bilimler Enstitüsü,

Nükleer Bilimler A.B.D.

Danışman: Prof. Dr. Gündör YENER

19.06.2003, 176 sayfa

Bu çalışmada, Muğla İline bağlı Yatağan Havzasında farklı alanlarda nükleer teknikler kullanarak erozyon hızını tayin etmek amaçlanmıştır. Bu alanda yapılan arazi etüd çalışmasından sonra ayrımlı topografik konum ve % eğimlerden oluşmuş beş ayrı bölgeden toprak profil örnekleri toplanmıştır. Toprak örnekleri fiziksel ve kimyasal özelliklerine göre taksonomik olarak gruplandırıldıktan sonra  $^{137}\text{Cs}$ 'un derinliğe bağlı değişimi incelenmiştir. Tarım yapılan ve yapılmaya uygun olmayan alanlardaki erozyon hızları iki farklı  $^{137}\text{Cs}$  teknigi ile belirlenmiştir. Tarıma uygun olmayan alanlardaki erozyon hızları profil dağılım modeli ile tarım alanlarında orantılı model ile hesaplanmıştır.  $^{137}\text{Cs}$  teknigi sonuçlarından bölgede erozyon hızının  $15.15\text{-}65.01 \text{ t ha}^{-1}\text{y}^{-1}$  arasında değiştiği hesaplanmıştır. Alternatif bir metod olan USLE (Universal Soil Loss Equation) ile bulunan sonuçlar ( $15.80\text{-}73.64 \text{ t ha}^{-1}\text{y}^{-1}$ )  $^{137}\text{Cs}$  teknigi ile karşılaştırılmıştır.  $^{137}\text{Cs}$  teknigi ve USLE yöntemi ile bulunan toprak kayıpları arasında önemli bir ilişki saptanmıştır.

**Anahtar Sözcükler:**  $^{137}\text{Cs}$ , Erozyon Hızı, USLE.

## **IV**

### **ABSTRACT**

### **MEASURING of SOIL EROSION RATE USING RADIOACTIVE CESIUM TECHNIQUE in YATAGAN BASIN**

**SAÇ, Müslim Murat**

**Thesis of Ph. D., Department of Nuclear Sciences (Physics)**

**Supervisor : Prof. Dr. Güngör YENER**

**19.06.2003, 176 pages**

In this study, it is aimed to determine soil erosion rate using nuclear technique at different areas in Yatağan basin in Muğla. During the soil survey studies, the soil profiles were examined carefully and soil samples were collected from five different sites and slope facets of Yatağan basin. Soils were classified into their soil taxonomic units according to their physical and chemical properties and then variations of  $^{137}\text{Cs}$  distributions with depth were investigated. Erosion rates in disturbed and cultivated sites were determined using two different  $^{137}\text{Cs}$  techniques. Erosion rates for disturbed sites were estimated using the profile distribution model. Erosion rates for cultivated sites was estimated using the proportional model. Erosion rate calculated from the results of  $^{137}\text{Cs}$  technique is found to vary between  $15.15\text{-}65.01 \text{ tha}^{-1}\text{y}^{-1}$ . An alternative approach, results ( $15.80\text{-}73.64 \text{ tha}^{-1}\text{y}^{-1}$ ) of the USLE (Universal Soil Loss Equation) were used to compare with  $^{137}\text{Cs}$  technique. It was found a strong relationship between  $^{137}\text{Cs}$  technique and USLE.

**Keywords:**  $^{137}\text{Cs}$ , Erosion Rate, USLE

## TEŞEKKÜR

Tez Çalışmam süresince, kıymetli bilgi ve önerileri ile katkıda bulunan, çalışmalarımı yönlendiren ve tezimin her aşamasında büyük desteğini gördüğüm tez hocam Sayın Prof. Dr. Güngör YENER'e en derin teşekkürlerimi sunarım. Ayrıca her türlü çalışma olanağı sağlayan Enstitüümüz Sayın Prof. Dr. Meral ERAL'e teşekkürü bir borç bilirim.

Çalışmalarımda bilgi ve önerilerinden yaralandığım Sayın Yard. Doç. Dr. Aysun UĞUR'a, arazi ve laboratuar çalışmalarında yardımlarını esirgemeyen Sayın Ar. Gör. Banu ÖZDEN'e, teknik işlerdeki yardımlarından dolayı Teknisyen Sayın Süleyman L. ERKUT'a, Enstitümüzün akademik ve idari personeline teşekkür ederim.

Arazi çalışmalarında ve toprak analizlerinde her türlü yardım ve desteği sağlayan Ege Üniversitesi Ziraat Fakültesi Toprak Bölümünden Sayın Prof. Dr. Ünal ALTINBAŞ'a, Sayın Doç. Dr. Yusuf KURUCU'ya, Sayın Dr. Mustafa BOLCA'ya, Sayın Ziraat Yüksek Mühendisi Tolga ESETLİLİ'ye, Sayın Ar. Gör. Nejat ÖZDEN'e ve Sayın Ziraat Yüksek Mühendisi Fulsen ÖZEN'e teşekkür ederim.

Tez çalışmalarım süresince ilgi ve desteğini hiçbir zaman esirgemeyen değerli eşim Sayın İlknur SAÇ'a en içten teşekkürlerimi sunarım.

## İÇİNDEKİLER

	<u>Sayfa</u>
<b>ÖZET.....</b>	<b>III</b>
<b>ABSTRACT.....</b>	<b>IV</b>
<b>TEŞEKKÜR.....</b>	<b>V</b>
<b>ŞEKİLLER DİZİNİ .....</b>	<b>IX</b>
<b>ÇİZELGELER DİZİNİ.....</b>	<b>XII</b>
<b>1. GİRİŞ.....</b>	<b>1</b>
<b>2. TOPRAK EROZYONUNU ETKİLEYEN FAKTÖRLER VE TOPRAK EROZYONUNUN SINIFLANDIRILMASI.....</b>	<b>6</b>
2.1. İklimin Etkisi.....	6
2.2 Topografiyanın Etkisi.....	6
2.3. Toprak Özelliklerinin Etkisi.....	7
2.4. Bitki Örtüsünün Etkisi.....	8
2.5. İnsan Etkisi.....	9
2.6. Toprak Erozyonunun Sınıflandırılması.....	9
<b>3. EROZYON HIZI TAYİNİNDE KULLANILAN YÖNTEMLER.....</b>	<b>10</b>
3.1. Üniversal Toprak Kaybı Denklemi (Universal Soil Loss Equation).....	10
3.2. Toprak Kayıplarının Hesaplanmasında Kullanılan Diğer Denklemler.....	15
3.3. Nükleer Yöntemler .....	16
<b>4. EROZYON ÇALIŞMALARINDA NÜKLEER YÖNTEMLERİN KULLANILMASI.....</b>	<b>18</b>
4.1. Erozyon Hızı Tayinlerinde Kullanılan Radyoaktif İzleyiciler.....	18
4.1.1. <sup>137</sup> Cs'nin Radyoaktif İzleyici Olarak Kullanımı.....	18

**İÇİNDEKİLER (devam)****Sayfa**

<b>4.1.2. Erozyon Hızı Tayinlerinde Kullanılan Diğer Alternatif Radyoaktif İzleyiciler (<math>^{210}\text{Pb}</math> ve <math>^7\text{Be}</math>).....</b>	<b>20</b>
<b>4.2. <math>^{137}\text{Cs}</math>'un Erozyon Hızı Tayinlerinde Kullanılması.....</b>	<b>23</b>
<b>4.3. <math>^{137}\text{Cs}</math> Dağılımı ile Toprak Özellikleri Arasındaki İlişki.....</b>	<b>26</b>
<b>4.4. <math>^{137}\text{Cs}</math> Dağılımı ile Topografiya Arasındaki İlişki.....</b>	<b>28</b>
<b>4.5. <math>^{137}\text{Cs}</math> Tekniği ile Toprak Erozyonunu ve Depozisyonunu Belirlemekte Kullanılan Matematiksel Modeller.....</b>	<b>29</b>
<b>5. ÇALIŞMA ALANININ GENEL ÖZELLİKLERİ .....</b>	<b>37</b>
<b>5.1. Araştırma Yeri ve Coğrafik Konumu.....</b>	<b>37</b>
<b>5.2. Jeoloji ve Petrografi .....</b>	<b>38</b>
<b>5.3. İklim .....</b>	<b>40</b>
<b>6. MATERİYAL VE YÖNTEM.....</b>	<b>43</b>
<b>6.1 Materyal.....</b>	<b>43</b>
<b>6.2. Yöntem.....</b>	<b>88</b>
<b>6.2.1. Arazi Çalışmaları ve Kullanılan Örnekleme Teknikleri.....</b>	<b>88</b>
<b>6.2.2. Toprak Örneklerinin Gama Spektroskopik Analizler için Hazırlanması.....</b>	<b>94</b>
<b>6.2.3. Toprak Örneklerinde <math>^{137}\text{Cs}</math> Tayinlerinde Kullanılan Gama Spektrometre Sistemi.....</b>	<b>95</b>
<b>6.2.4. Çalışmada Nükleer Teknikle Erozyon Hızı Tayinlerinde Kullanılan Matematiksel Modeller.....</b>	<b>96</b>
<b>6.2.5. Sayısal Altlık Harita ve Üç Boyutlu Arazi Modeli Oluşturulması.....</b>	<b>99</b>
<b>7. ARAŞTIRMA SONUÇLARI.....</b>	<b>101</b>
<b>7.1. Araştırma Alanının Genel Toprak Özellikleri.....</b>	<b>101</b>

**İÇİNDEKİLER (devam)****Sayfa**

<b>7.2. Örnekleme Bölgelerindeki Fizyografik Yapılanmalar , Toprak Taksonomik Özellikleri ve <math>^{137}\text{Cs}</math> İçerikleri.....</b>	<b>102</b>
<b>7.3. Toprak Özellikleri ile <math>^{137}\text{Cs}</math> Konsantrasyonları Arasındaki Korelasyon Analizleri.....</b>	<b>129</b>
<b>7.4. Araştırma Alanında Toprak Kaybının Saptanması .....</b>	<b>138</b>
<b>    7.4.1. Üniversal Toprak Kaybı Denklemine Göre Toprak Kaybı     Sonuçları.....</b>	<b>138</b>
<b>    7.4.2. Nükleer Teknikler Kullanılarak Tayin Edilen Toprak Kaybı     Sonuçları.....</b>	<b>139</b>
<b>        7.4.2.1. Toprak Örneklerindeki <math>^{137}\text{Cs}</math> Konsantrasyonları ve Örnekleme         Noktalarının Topografik Özellikleri.....</b>	<b>139</b>
<b>        7.4.2.2. <math>^{137}\text{Cs}</math> Kullanılarak Tayin Edilen Toprak Kaybı         Sonuçları.....</b>	<b>142</b>
<b>        7.4.2.3. Topografik Özellikler ile <math>^{137}\text{Cs}</math> Kaybı ve Toprak Kayıpları         Arasındaki Korelasyon Grafikleri.....</b>	<b>154</b>
<b>        7.4.2.4. Yüzde <math>^{137}\text{Cs}</math> Kaybı ile Toprak Kayıpları Arasındaki         Korelasyon Grafikleri.....</b>	<b>155</b>
<b>8. TARTIŞMA ve ÖNERİLER .....</b>	<b>160</b>
<b>KAYNAKLAR DİZİNİ.....</b>	<b>164</b>
<b>ÖZGEÇMİŞ.....</b>	<b>175</b>

## ŞEKİLLER DİZİNİ

<u>Sekil</u>	<u>Sayfa</u>
4.1 Toprak kaybı ile relatif $^{137}\text{Cs}$ kaybı arasındaki ilişki.....	19
4.2 Erozyon çalışmalarında kullanılan $^{137}\text{Cs}$ tekniğinin temeli.....	24
4.3 $^{137}\text{Cs}$ 'un farklı bölgelerdeki dikey dağılımı.....	25
4.4 H derinliğindeki toprak tabakasına (havuzuna) $^{137}\text{Cs}$ birikim diyagramı.....	32
5.1 Çalışma alanının stratigrafisi.....	40
5.2 Muğla ili, Yatağan ilçesi çok yıllık yağış (mm), sıcaklık ( $^{\circ}\text{C}$ ) ve bağılı nem (%) aylık gözlem diyagramı.....	41
6.1 Yatağan tepe toprak örnekleme diyagramı.....	93
6.2 Çalışmada kullanılan sayıım sistemi diyagramı.....	96
6.3 Ürmez Tepe erozyon (A) ve referans (B) noktalarının derinlige bağlı $^{137}\text{Cs}$ dağılımı.....	97
6.4 Yatağan Tepe erozyon (A) ve referans (B) noktalarının derinlige bağlı $^{137}\text{Cs}$ dağılımı.....	98
6.5 Yatağan Tepe Referans Noktasının $^{137}\text{Cs}$ konsantrasyonlarının kütle derinliğine göre dağılım grafiği.....	99
7.1 Yatağan havzası toprak örnekleme alanları.....	103
7.2 Kretase kalker ana özdekleri üzerinde oluşum gösteren Yatağan tepenin genel görünümü.....	105
7.3 Peynirli tepenin genel görünümü.....	110
7.4 Kırtas tepenin genel görünümü.....	115
7.5 Ürmez tepenin genel görünümü.....	120
7.6 Tarım arazisi olarak kullanılan Kayışalan tepenin genel görünümü.....	125

## ŞEKİLLER DİZİNİ (devam)

<u>Sekil</u>	<u>Sayfa</u>
7.7 Bencik tepe (arkada) ve önündeki Bencik deresi.....	125
7.8 Yatağan tepe erozyon (3Y4E) ve referans (6YR1) noktalarında $^{137}\text{Cs}$ 'un toprağın fiziksel özellikleri ile olan dikey dağılımı.....	133
7.9 Peynirli tepe erozyon (2P2E) ve referans (4PR1) noktalarında $^{137}\text{Cs}$ 'un toprağın fiziksel özellikleri ile olan dikey dağılımı.....	134
7.10 Kırtaş tepe erozyon (2K2E) ve referans (4KR1) noktalarında $^{137}\text{Cs}$ 'un toprağın fiziksel özellikleri ile olan dikey dağılımı.....	135
7.11 Ürmez tepe erozyon (tarım alanı)(3Ü2E) ve referans (5ÜR1) noktalarında $^{137}\text{Cs}$ 'un toprağın fiziksel özellikleri ile olan dikey dağılımı.....	136
7.12 Kayışalan tepe erozyon (tarım alanı) (2KA3E) ve referans (5KAR1) noktalarında $^{137}\text{Cs}$ 'un toprağın fiziksel özellikleri ile olan dikey dağılımı.....	137
7.13 Yatağan Tepe $^{137}\text{Cs}$ envanterleri ve erozyon hızları.....	145
7.14 Peynirli Tepe $^{137}\text{Cs}$ envanterleri ve erozyon hızları.....	147
7.15 Kırtaş Tepe $^{137}\text{Cs}$ envanterleri ve erozyon hızları.....	149
7.16 Ürmez Tepe $^{137}\text{Cs}$ envanterleri ve erozyon hızları.....	151
7.17 Kayışalan Tepe $^{137}\text{Cs}$ envanterleri ve erozyon hızları.....	153
7.18 Yatağan tepe toprak kayıpları ile relatif $^{137}\text{Cs}$ kayıpları arasındaki korelasyon grafiği.....	156

## ŞEKİLLER DİZİNİ (devam)

<u>Sekil</u>	<u>Sayfa</u>
7.19 Peynirli tepe toprak kayıpları ile relatif $^{137}\text{Cs}$ kayıpları arasındaki korelasyon grafiği.....	156
7.20 Kırtaş tepe toprak kayıpları ile relatif $^{137}\text{Cs}$ kayıpları arasındaki korelasyon grafiği.....	157
7.21 Ürmez tepe toprak kayıpları ile relatif $^{137}\text{Cs}$ kayıpları arasındaki korelasyon grafiği.....	157
7.22 Kayışalan tepe toprak kayıpları ile relatif $^{137}\text{Cs}$ kayıpları arasındaki korelasyon grafiği.....	158
7.23 Üniversal Toprak Kaybı Denklemi (USLE) ile $^{137}\text{Cs}$ tekniği ile elde edilen toprak kayıpları arasındaki korelasyon grafiği.....	159

## ÇİZELGELER DİZİNİ

<u>Cizelge</u>	<u>Sayfa</u>
5.1 Yatağan İlçesi Meteoroloji İstasyonunun 1980-2000 Yılları Arası Ortalama Aylık ve Yıllık Sonuçları.....	42
6.1 Arazi ve Toprak Özelliklerinin Belirlenmesi için Yapılan Örnekleme.....	91
6.2 Yatağan Havzası Toprak Örnekleri Sayısı.....	92
6.3 Erozyon Alanlarının Kor Alma Burgusu Derinlikleri ve Parsel Çizgileri Alanları.....	93
6.4 Erozyon ve Referans Noktalarında Pedon Derinliğine Göre Alınan Toprak Örnekleri Sayısı.....	94
6.5 Tarım Yapılmayan Alanların Referans Noktalarından Hesaplanan $h_0$ Releksasyon Kütle Derinlikleri.....	99
7.1 Yatağan Tepe Üzerinde Oluşum Gösteren Typic Rhodoxeralf (N2), Lithic Rhodoxeralf (N1, N3, N4, N5, N6, N7) ve Typic Xerorthent (N8) Büyük Toprak Grubu Örneklerinin Fiziksel Analiz Sonuçları.....	106
7.2 Yatağan Tepe Üzerinde Oluşum Gösteren Typic Rhodoxeralf (N2), Lithic Rhodoxeralf (N1, N3, N4, N5, N6, N7) ve Typic Xerorthent (N8) Büyük Toprak Grubu Örneklerinin Kimyasal Analiz ve $^{137}\text{Cs}$ Konsantrasyonları Sonuçları.....	108
7.3 Peynirli Tepe Üzerinde Oluşum Gösteren Lithic Xerorthent (N10, N11) ve Typic Xerorthent (N9, N12) Büyük Toprak Grubu Örneklerinin Fiziksel Analiz Sonuçları.....	111

## ÇİZELGELER DİZİNİ (devam)

<u>Cizelge</u>	<u>Sayfa</u>
7.4 Peynirli Tepe Üzerinde Oluşum Gösteren Lithic Xerorthent (N10, N11) ve Typic Xerorthent (N9, N12) Büyük Toprak Grubu Örneklerinin Kimyasal Analiz ve <sup>137</sup> Cs Konsantrasyonları Sonuçları.....	113
7.5 Kırtaş Tepe Üzerinde Oluşum Gösteren Typic Rhodoxeralf (N13, N16) ve Lithic Xerorthent (N14, N15) Topraklarının Fiziksel Analiz Sonuçları.....	116
7.6 Kırtaş Tepe Üzerinde Oluşum Gösteren Typic Rhodoxeralf (N13, N16) ve Lithic Xerorthent (N14, N15) Toprak Grubunun Kimyasal Analiz ve <sup>137</sup> Cs Konsantrasyonları Sonuçları.....	118
7.7 Ürmez Tepe Üzerinde Oluşum Gösteren Typic Rendoll (N17, N18, N19, N20, N21, N22) Toprak Grubu Örneklerinin Fiziksel Analiz Sonuçları.....	121
7.8 Ürmez Tepe Üzerinde Oluşum Gösteren Typic Rendoll (N17, N18, N19, N20, N21, N22) Toprak Grubunun Kargasal Analiz ve <sup>137</sup> Cs Konsantrasyonları Sonuçları.....	123
7.9 Kayışalan Tepe ve Bencik Deresi Çevresinde Oluşan Typic Rendoll ( N23, N24, N25, N26, N27, N28), Typic Xerorthent (N29) Typic Xerofluvent (N30, N31) Büyük Toprak Gruplarının Fiziksel Analiz Sonuçları.....	126
7.10 Kayışalan Tepe ve Bencik Deresi Çevresinde Oluşan Typic Rendoll (N23, N24, N25, N26, N27, N28), Typic Xerorthent (N29) Typic Xerofluvent (N30, N31) Büyük Toprak Gruplarının Kargasal Analiz ve <sup>137</sup> Cs Konsantrasyonları Sonuçları.....	128

## ÇİZELGELER DİZİNİ (devam)

<u>Cizelge</u>	<u>Sayfa</u>
7.11 Toprak Özellikleri ve $^{137}\text{Cs}$ Arasındaki Korelasyon Katsayıları ( $R^2$ ).....	132
7.12 Yatağan Tepe Erozyon ve Referans Noktalarında $^{137}\text{Cs}$ Konsantrasyonlarının Derinliğe Bağlı Dağılımı.....	133
7.13 Peynirli Tepe Erozyon ve Referans Noktalarında $^{137}\text{Cs}$ Konsantrasyonlarının Derinlige Bağlı Dağılımı.....	134
7.14 Kırtaş Tepe Erozyon ve Referans Noktalarında $^{137}\text{Cs}$ Konsantrasyonlarının Derinlige Bağlı Dağılımı.....	135
7.15 Ürmez Tepe Erozyon ve Referans Noktalarında $^{137}\text{Cs}$ Konsantrasyonlarının Derinlige Bağlı Dağılımı.....	136
7.16 Kayışalan Tepe Erozyon ve Referans Noktalarında $^{137}\text{Cs}$ Konsantrasyonlarının Derinlige Bağlı Dağılımı.....	137
7.17 Yatağan Havzasında USLE Yöntemine Göre Hesaplanan Toprak Kaybı Sonuçları.....	138
7.18 Yatağan Tepe Toprak Örneklerindeki $^{137}\text{Cs}$ Konsantrasyonları ve Örnekleme Noktalarının Topografik Özellikleri.....	139
7.19 Peynirli Tepe Toprak Örneklerindeki $^{137}\text{Cs}$ Konsantrasyonları ve Örnekleme Noktalarının Topografik Özellikleri.....	140
7.20 Kırtaş Tepe Toprak Örneklerindeki $^{137}\text{Cs}$ Konsantrasyonları ve Örnekleme Noktalarının Topografik Özellikleri.....	140
7.21 Ürmez Tepe Toprak Örneklerindeki $^{137}\text{Cs}$ Konsantrasyonları ve Örnekleme Noktalarının Topografik Özellikleri.....	141

## **ÇİZELGELER DİZİNİ (devam)**

<u><b>Cizelge</b></u>	<u><b>Sayfa</b></u>
7.22 Kayışalan Tepe Toprak Örneklerindeki $^{137}\text{Cs}$ Konsantrasyonları ve Örnekleme Noktalarının Topografik Özellikleri.....	141
7.23 Yatağan Tepe'de Örnekleme Noktalarındaki $^{137}\text{Cs}$ Konsantrasyonları, Envanterleri ve Toprak Kaybı Sonuçları.....	144
7.24 Peynirli Tepe'de Örnekleme Noktalarındaki $^{137}\text{Cs}$ Konsantrasyonları, Envanterleri ve Toprak Kaybı Sonuçları.....	146
7.25 Kırtaş Tepe'de Örnekleme Noktalarındaki $^{137}\text{Cs}$ Konsantrasyonları, Envanterleri ve Toprak Kaybı Sonuçları.....	148
7.26 Ürmez Tepe'de Örnekleme Noktalarındaki $^{137}\text{Cs}$ Konsantrasyonları, Envanterleri ve Toprak Kaybı Sonuçları.....	150
7.27 Kayışalan Tepe'de Örnekleme Noktalarındaki $^{137}\text{Cs}$ Konsantrasyonları, Envanterleri ve Toprak Kaybı Sonuçları.....	152
7.28 $^{137}\text{Cs}$ ve Toprak Kaybı Sonuçları ile Topografik Sonuçlar Arasındaki Korelasyon Katsayıları.....	155
7.29 Üniversal Toprak Kaybı Denklemi (USLE) ve $^{137}\text{Cs}$ Tekniği ile Elde Edilen Toprak Kayıpları.....	158

## **1.GİRİŞ**

Dünyamız, çeşitli yer altı ve yerüstü zenginliklerine sahiptir. Ülkelerin zengin veya yoksul olarak tanımlanabilmelerinde zenginlikler önemli rol oynar. Bir ülkenin yerüstü doğal zenginlikleri denince, ülkenin sahip bulunduğu ormanları, otlakları, tarım arazileri ve tüm bunların üzerinde yer aldığı toprakları, akarsu, göl, deniz ve bunların birlikte oluşturduğu güzellikleri akla gelir. Yeraltı zenginlikleri üretim ve kullanım sonucu tükenebilen kaynaklardır. Genellikle tükenmez gibi görünen ve yenilenebilir özellikte olan yerüstü kaynakları, iyi işletilmediği ve korunamadığı takdirde kolayca tükenebilmektedir. Örneğin en önemli yerüstü kaynaklarından birisi olan toprak, akılçıl bir şekilde kullanılmaması durumunda, erozyon etkisi altında, kolayca ve geriye kazanılmamak üzere kaybedilebilir. Verimli ve bitki yaşamına uygun üst toprakları akılçıl ve planlı kullandığı sürece, sürdürülebilir özellik kazandırılarak, ormanlar, meralar ve tarım alanları vb şeklinde doğa ve insanlığın hizmetinde olacaktır.

İnsanoğlunun tarımla uğraşmaya başladığından beri toprak üzerinde olumlu ve olumsuz birtakım etkileri olmuştur ve günümüzde de olduğu gibi drenaj ve çorak ıslahı, sulama, gübreleme, tesviye, sürüm, teraslama ve benzeri aktivitelerde toprakların verimliliğini artıracı ve onu koruyucu uygulamalarla toprağı bazen iyileştirilmiş, bazen de başta erozyon olayı olmak üzere genelde yanlış arazi kullanımı sonucu toprakların olumsuz yönde etkilenmesine neden olmuştur (Günay, 1997).

Dünyada pek çok ülkede toprak kaybına karşı önlemlerin alınmasında bir çok yöntem kullanılmaktadır. Bunlar için ilk adım erozyon hızının belirlenmesidir. Erozyon hızı ölçülmesinde çeşitli yöntemler kullanılmaktadır. Bunlardan izleyici radyonüklidlerin

kullanıldığı nükleer teknikler, genellikle  $^{137}\text{Cs}$  kullanımı giderek artmıştır. Ülkemizde erozyon büyük bir problem olmasına rağmen bu tür alternatif toprak kaybı ölçme metotları herhangi bir bölgemizde henüz kullanılmamıştır. Bu çalışma Ülkemizde nükleer tekniklerin erozyon hızı belirlenmesinde kullanılmasının ilk uygulamasıdır.

### ***Erozyonun Tanımı***

Toprak aşınımı (erozyon), toprağın aşınmasını önleyen bitki örtüsünün insanlar tarafından yok edilmesi sonucu koruyucu örtüden yoksun kalan toprağın su ve rüzgar etkisiyle aşınması ve taşınması olayıdır.

### ***Erozyonun Çeşitleri***

Doğada ayırmış coğrafik konumlar üzerinde oluşan erozyon, *doğal-jeolojik erozyon* ve *hızlandırılmış erozyon* şeklinde iki ana grup altında tanımlanırlar.

Dinamik bir varlık olan topraklar, doğar, olgunlaşır ve yaşlanır. Doğal ortamlarda kayaların ve bitkilerin fiziksel, kimyasal ve biyolojik etmenlerle aşınıp ayrışmaları sonucu yerinde oluşan topraklar, çeşitli erozyon faktörleri olan su ve rüzgar gibi etkilerle oluşturukları yerlerden taşınır ve taşıma gücünün ortadan kalkması ile bulundukları yerlerde çökelirler. İnsan etkisinin bulunmadığı ancak çevresel etkiler sonucu taşınan topraklar ile doğrudan jeolojik ana materyal üzerinde oluşan topraklar arasında doğal bir denge vardır. Sonuçta toprakların oluşum hızının taşınım hızına eşit olduğu veya fazla olduğu yerlerde jeolojik veya doğal erozyon kendiliğinden oluşmaktadır. Jeolojik erozyon, karasal alanların oluşumundan bu yana dalgaların, rüzgarların, sıcaklık değişimlerinin ve buzul kaymalarının etkisiyle kaya ve minerallerin parçalanmaları yanında bunlar üzerinde oluşan toprakların da beraberce

antiklinal ortamlardan senklinal ortamlara doğru taşınmaları olarak tanımlanırlar. Bu olay, erozif güçler olan su, rüzgar ve diğer etmenlere bağlı olarak gerçekleşir.

İnsanoğlunun geçmişten bugüne kadar toprağın üretkenliğinden yararlanarak kendi yaşamı için toprağı sürekli olarak ve tek taraflı kullanmıştır. Üreticilerin toprakları kullanma süreçlerinde topraklarda yaptıkları bilinçsiz yaptırımlarla topraklar çevresel etkilerle aşınır şekilde dönüşmiş ve bulundukları yerlerden başka yerlere doğru taşınarak toprak erozyonu veya hızlandırılmış erozyonu oluşturmuştur. Temelde toprak erozyonu kendisini oluşturan çevresel güçlere göre; su erozyonu, rüzgar erozyonu ve diğer erozyonlar şeklinde üç grupta incelenirler (Doğan ve Güçer, 1976).

**Su erozyonu:** Yağışlardan sonra arazide oluşan yüzeysel akış ve akarsu yataklarındaki akışların etkisi ile toprağın aşınması ve taşınması işlevidir. Yağış kavramı içerisinde bunun katı fazını tanımlayan kar ve buz şekilleri (özellikle buzullar) dolaylı da olsa bir erozyona neden olmakla birlikte, genellikle su erozyonundan, suyun sıvı fazını tanımlayan yağmur, akarsu ve dalgaların neden olduğu erozyon anlaşılmaktadır. Su kuvveti ile taşınım yeryüzünde en yaygın ve en yoğun bir şekilde görülen ve sonucunda büyük toprak kayıplarına neden olan bir erozyon şeklidir.

Su erozyonunun oluşmasında etkili olan faktörler veya doğrudan erozyona neden olan kuvvetler iki grup altında tanımlanır. Bunlar; erozyona uğrayan toprakların içeriğindeki kimi maddelerin çözünerek, agregatların dispers şekilde dönüşümü yanında büyük parçaların sürüklenerek taşınmasına neden olan hareket halindeki erozif su kuvvetleri (yağmur damlaları, yüzeysel akış, dere akımı vb.) ve bu erozif

kuvvetlere karşı direnç gösteren ve değişik ölçütler ile erozyonu yavaşlatan toprak ve ana malzemenin fiziksel ve kimyasal özelliği olan gözenek hacmi, geçirgenlik, bağlılık, bünye, tuzluluk ve alkalilik vb. faktörlerdir. Başka bir anlatımla toprak erozyonu; genel tanımı ile yağmur suyunun erozivitesi ile toprak erodibilitesinin bir fonksiyonudur (Günay, 1997).

**Rüzgar erozyonu:** Toprakların rüzgar etki ve gücüyle aşınması ve bir yerden başka yerlere doğru taşınarak birikimi olarak tanımlanır. Genellikle kurak, yarıkurak ve çöl iklim koşullarında arazi yüzeyinin kuru ve bitki örtüsünden yoksun bulunduğu ortamlarda oluşur (Çevik, 1998). Diğer erozyon şekilleri içinde Tunel, Sivritepe, Korunmuş Sütun Erozyonu ve Kütle Hareketleri sayılabilir.

**Tunel erozyonu:** Üstte sıkışmış bir toprak tabakasının bulunması, bitki kökleri tarafından kaplanmış üst toprağın altında su ile doygun olduğunda kolay hareket edebilir katmanın bulunması, köstebek, solucan v.s. gibi hayvanların açtığı kanalların su akışıyla zamanla genişlemesi gibi nedenlerle oluşabilen bir erozyon şeklidir. Bu erozyonda toprak üstten değil, alttan galeriler halinde taşınır. Arazide yer yer tünellerin üstünün çökmesiyle delikler görülebilir.

**Sivri Tepe Erozyonu:** Bu erozyon şekli sivri tepeli kule olarak da adlandırılabilir. Oldukça sivri tepecik görünümündedir. Genellikle bağlantı zayıf volkan küllerı veya sedimentlerin yayıldığı alanlarda görülür. Üzerinde koruyucu kaya parçasını kaybetmiş peri bacaları bu gruba girerler.

**Korunmuş Sütun Erozyonu:** Bu aşınım şeklinde, bir sivri tepe ve onun üzerinde bu tepeyi koruyan sert bir katman veya kaya parçası bulunur. Genellikle volkanik arazilerde küller arasında sert ve ince lav

katmanlarının bulunduğu arazilerde veya bağlantısı çok kuvvetli olmayan tortul kütlelerin iri kaya parçalarını da karışık olarak içerdeği yörelerde oluşurlar.

**Kütle Hareketleri:** Bu erozyon şeklinde etken yerçekimidir. Kütle hareketleri oluşum şekillerine göre göçmeler, akmalar, heyelanlar ve yamaç döküntüleri v.s. şeklinde sınıflandırılabilir. Diğer bir sınıflandırma şekli ise hızlı kütle hareketleri ve yavaş kütle hareketleri şeklinde yapılabilir. Tüm bu hareketlerin arazide kendine özgü görünümleri vardır. Tarım alanları göz önüne alındığında bu hareketler su ve rüzgar erozyonu alanlarına göre çok küçük alanları kapsarlar (Taysun, 1989).

## **2. TOPRAK EROZYONUNU ETKİLEYEN FAKTÖRLER VE TOPRAK EROZYONUNUN SINIFLANDIRILMASI**

Toprak erozyonuna etki eden faktörler beş grup altında toplanır. Bunlar iklim, topoğrafya, toprak, bitki örtüsü ve insan faktörleridir.

### **2.1. İklimin Etkisi**

Erozyonunun oluşumunda iklim en önemli rolü oynar. İklim aşındırıcı güç olan suyun kinetik enerjisinin kaynağıdır. Bu öyle bir kaynaktır ki; denizlere ve göllere ulaşan suyun buharlaşarak bulutlara ve daha sonra yağış olarak yüksek bir kinetik enerji ile yere düşmesinde çok önemli etkisi vardır. Karalara düşen yağışlar eğime paralel olarak akışa geçtiklerinde denizlere veya göllere ulaşıcaya kadar aşındırmaya ve taşıma işlemeye devam ederler. İklimin etkisini gösteren temel kuvvetler yağış, rüzgar ve sıcaklıktır (Taysun, 1989).

### **2.2. Topoğrafyanın Etkisi**

Topoğrafyanın toprak aşınımı üzerine olan etkisinde arazinin eğim dikliği, eğim uzunluğu, eğim şekli, mikrorölyef, havza büyüklüğü ve şekli, yön konumu gibi faktörlerin doğrudan işlevselliği vardır. Eğim dikliğinin artışı, yüzey akış sularının arazi yüzeyinden daha hızlı akmasına ve aşınımın yoğunlaşmasına, eğim uzunluğunun artışı toprak kayıplarının azalmasına, eğim şeklinin dışbükey görünümü toprak kayıplarının artmasına neden olur. Arazinin mikrorölyefik yapısındaki geometrik şekiller aşınımıları olumlu veya olumsuz etkiler. Benzer özelliklere sahip havzalardaki havza büyüklüğü arttıkça doğal olarak meydana gelecek yüzey akışı da artar (Taysun, 1989).

### **2.3. Toprak Özelliklerinin Etkisi**

Toprak aşınımına toprakların fiziksel, kimyasal, fizikokimyasal, yapısal vb. özellikleri doğrudan etkili olur.

Toprağın fiziksel özelliklerinden tane iriliği dağılımı erozyon üzerinde önemli derecede etkilidir. Toprak yüzeyinde bulunan taş parçaları ve malç örtüleri toprağı aşınımından korur. Toprakta iskelet yüzdesi ve özellikle de toprak yüzeyindeki taşlar yoğunlaştıkça aşınım olayı geriler. Temelde toprakların aşınabilirliği ile toprak bünyesi arasında doğrudan bir ilişki vardır. Kum dokulu topraklar aşınmaya karşı dayanıksız ise de, kum taneciklerinin çapları büyük olduğundan taşınmaları oldukça zordur. Kıl dokulu topraklar iyi bir agregatlaşmaya sahiptirler ve daha sıkı bir yapıda bulunurlar. Bu nedenle killi toprakların aşınması daha zordur. Ancak kıl kolloidleri bulundukları yerden hareket ettiği anda taşınması çok kolaydır ve oldukça uzaklara kadar taşınabilirler. Tın dokulu topraklar ise toprak aşınım özelliklerine göre kıl ve kum dokulu topraklar arasında yeralır.

Topraklarda iyi bir agregatlaşma toprak özelliklerini iyileştirerek bitkisel verimin artmasına yardımcı olduğu gibi, toprağın erozyona karşı olan direncinin de artmasına neden olur.

Toprakların önemli fiziksel özelliklerinden birisi olan su geçirgenliğinin artışı, topraklarda yağışın büyük bir bölümünün toprağa sızabilmesine izin vereceğinden meydana gelecek yüzey akış miktarı ölçüde azalacaktır. Toprak özelliklerinden özgül ağırlık, volüm ağırlık ve porozite toprakların aşınımı üzerine doğrudan etkili olur ve bundan dolayı yüksek volüm ağırlığa sahip topraklar aşınımına karşı dayanıklıdır. Benzer şekilde özgül ağırlık artışları, ağır minerallerin içeriklerini yoğunlaştırırken, yüksek poroziteli topraklarda infiltrasyon

kapasitesini artıracagından erozyona karşı dayanıklı bir konum yaratırlar.

Toprağın kimyasal özelliklerinden olan kireç içeriği kümeleşme olayında önemli bir etki içerir.  $\text{Ca}^{++}$  iyonu kümeleştirme sonucu agregatlaşmayı teşvik eder ve bu bağlamda kireç miktarları düşük olan topraklarda aşınım hızlanır. Ancak bu arada rüzgar aşınım etkisi altındaki arazilerde fazla kireçlilik tozlu bir yapı oluşturacağından bu durumdaki topraklar aşınımıma karşı duyarlı bir konum alırlar.

Topraklarda katyon değişim kapasitesi organik ve inorganik kolloidler ile yakından ilgilidir ve bunlar topraklarda agregatlaşmayı teşvik ettiğinden toprak aşınımı azalır. Katyon değişim kapasitesi yüksek olan topraklarda başat değişim能力和 katyonlar  $\text{Ca}^{++}$  ve  $\text{Mg}^{++}$  iyonları ise bunlarda kümeleşmeyi yoğunlaştırırken, yüzey akışa geçen su içeriğini azaltırlar ve aşınımın etkisini de düşürürler.

Toprak organik maddesi, topraklarda agregatlaşmayı ve toprak stabilitesini yoğunlaştırır ve bu da yağmur damlalarının hızını keserek kinetik enerjinin etkisini ve sonuçta toprak erozyonunu azaltır (Taysun, 1989).

#### **2.4. Bitki Örtüsünün Etkisi**

Toprak yüzeyini örten bitki örtüsü çeşidi ve yoğunluğu aşınımıma karşı en önemli koruyucudur. Yağmur damlalarının sahip olduğu kinetik enerji toprak yüzeyindeki bitki örtüsü veya artıkları tarafından ortadan kaldırılarak, damlaların toprak yüzeyine enerjisiz olarak düşmesi sağlanır ve sonuçta damlaların aşındırma etkisi ortadan kalkmış olur. Ancak çapa bitkilerinin toprağı aşınımından en az koruduğu bilindiğinden özellikle eğimli alanlarda çapa bitkisi tarımı yapılrken toprak ve su koruma

önlemlerine çok dikkat etmek ve hatasız bir şekilde uygulamak gereklidir (Taysun, 1989).

## 2.5. İnsan Etkisi

Tarımsal etkinliklerin başlaması ile gereksinim duyulan arazilerden doğal vejetasyonun ortadan kaldırılması, kullanma ve yakacak gereksinmesi ile orman tahribi, aşırı otlatma ve hatalı arazi kullanım nedeniyle çayır ve meraların ortadan kalkması sonucu topraklarda aşınım hızı yoğunlaşır (Taysun, 1989).

## 2.6. Toprak Erozyonunun Sınıflandırılması

Toprak erozyonu toprakların taşınma özelliğine göre 4 ayrımlı sınıf altında tanımlanır. Temelde bu sınıflandırma arazide yapılmış ölçüm ve gözlemlere dayalı olarak yapılan bir ayrımdır ve doğal yapıdaki bir toprak kesitinin yüzeyden derinlere doğru su/yağmur etkisi ile aşınma ve taşınma derecesini, rüzgar erozyonunda ise toprakların rüzgar etkisi ile savrulma derecelerini tanımlar.

**Sınıf 1(Hafif erozyon):** Arazi genelinde yüzey toprağının yaklaşık %25'ine varan bir bölümü taşınmıştır.

**Sınıf 2 (Orta şiddetli erozyon):** Yüzey toprağının % 25-75'i taşınmıştır. Oyuntu erozyon şekilleri gözlenebilir.

**Sınıf 3 (Şiddetli erozyon):** Yüzey toprağının % 75'inin daha fazlası genelde ise yüzey altı toprağının bir bölümü veya hepsi tamamen taşınmıştır. Oyuntu erozyonu şekilleri gözlenir.

**Sınıf 4 (Çok şiddetli erozyon):** Orta derecede derin veya derin hendekler oluşuncaya kadar toprak tabakası tamamen taşınmıştır. Topraklara sadece hendekler arası sırtlar üzerinde rastlanılabilir (Altınbaş, 1996).

### **3. EROZYON HIZI TAYİNİNDE KULLANILAN YÖNTEMLER**

#### **3.1. Üniversal Toprak Kaybı Denklemi (Universal Soil Loss Equation)**

Bir havza veya belirli bir alandan erozyon sonucu kaybedilen toprağın miktarı hesaplanırken çeşitli yöntemler kullanılır. Hesaplama yöntemine bağlı olarak arazi çalışmaları planlanır, parametreler ve faktörler hesaplanır. Erozif yağışlar sonucunda oluşabilecek toprak kayıplarına karşı alınacak önlemlerin saptanmasında en yaygın olarak kullanılan toprak kaybı denklemi, Wischmeier'in Üniversal Toprak Kaybı Denklemi'dir. Bu denklem şu şekilde formüle edilmektedir:

$$A=R.(K.L.S.C.P) \quad (3.1)$$

Burada;

A: Erozyon sonucu yıllık ortalama toprak kaybı ( $t \text{ ha}^{-1} \text{ y}^{-1}$ )

R: Yağmur erozivite indeksi (yani 30 dakikalık en şiddetli yağışın oluşturduğu toplam enerji)

K: Toprağın erozyona ugrayabilme faktörü

L: Yamaç uzunluğu faktörü

S: Eğim faktörü

C: Bitkisel ürün ve işletme (amenajman) faktörü

P: Toprak koruma tedbirleri faktörü (Günay, 1997).

**“R” faktörünün hesaplanması**

Yağışlar aşındırıcı etken olarak erozyon olayında en önemli rolü oynar. Yağışların aşındırma güçleri sahip oldukları kinetik enerji ile orantılı olarak artar.

Önce yağışın 1 cm'sinin toprağa aktardığı kinetik enerji hesaplanır.

(Birim kinetik enerji)  $E_b$  ( $\text{ton}\cdot\text{m ha}^{-1}\text{cm}^{-1}$ ) yağış yoğunluğu  $I$  ( $\text{cm h}^{-1}$ ) cinsinden

$$E_b = 21,3 + 89 \log I \quad (3.2)$$

olarak verilmektedir.

Buradan toplam kinetik enerji  $E_t$  (ton-m ha<sup>-1</sup>) yağış yüksekliği  $h$ (cm)'a bağlı olarak şöyle bulunur.

$$E_t = E_b \cdot h \quad (3.3)$$

Maksimum 30 dakikalık yoğunluklar ( $I_{30}$ ) pluviograf kağıtlarından değerlendirilerek hesaplanır ve R faktörü şöyle bulunur.

$$R = \frac{E_t \cdot I_{30}}{100} \quad (3.4)$$

Ortalama yağış yoğunluğu:

$$I = \frac{h \cdot 60}{t} \quad (3.5)$$

formülüyle hesaplanır.

Burada;

I: Ortalama yağış yoğunluğu (cm h<sup>-1</sup>)

h: Yağış yüksekliği (cm)

t: Yağış süresi (dakika)

Maksimum 30 dk. yoğunluk için

$$I_{30} = \frac{h_{30} \cdot 60}{t} = \frac{h_{30} \cdot 60}{30} = h_{30} \cdot 2 \quad (3.6) \text{ bağıntısı elde edilir.}$$

$h_{30}$ : 30 dakikalık sürede yagan yağış yüksekliği (cm)

R faktörü (yağış erozyon indisi) değerlerinin hesaplanmasında 6 saatlik yağışsız süre ile birbirinden ayrılan yağışlar veya birbirinden 1,27 mm'den az yağışla ayrılan iki yağış ayrı ayrı olarak değerlendirilir. Miktarı 5 mm'den fazla olan yağışlar değerlendirmeye alınır, fakat 0,8 mm/h'ten küçük yağış yoğunlukları değerlendirilmez (Taysun, 1989).

### **“K” faktörünün hesaplanması**

Toprak faktörü (K) mutlaka deneme sonuçlarından faydalalarak tespit edilmelidir. K faktörü üzerine toprağın fiziksel ve kimyasal özelliklerinin tümü etkilidir. Fakat en fazla etkili olanlar bünye, yapı, organik madde, su geçirgenliği, iskelet miktarı, nem içerikleri, kolloid miktarı ve tipi olarak sayılabilir.

Deneme ile “K” faktörünün saptanabilmesi için standart 22.1 m uzunlığında 3 m genişliğinde %9 eğimde çiplak ve eğime paralel sürülmüş parsellerde elde edilen toprak kaybı değerlerinden hesaplanır. Yağışlar fazla ve yıl içinde meydana gelen toprak kayıpları sayısı yeterli ise  $E_t I_{30}$  değerleri ile parsellerden oluşan toprak kayıpları (ton/ha) arasındaki ilişki denklemindeki ( $Y=ax+b$ ) doğru'nun eğimi “K” faktörü olarak alınabilir. Eğer toprak kaybı meydana getiren yağışlar az ise

$$K = \frac{\text{Toprak kaybı(ton/ha)}}{R} \quad (3.7)$$

denklemiyle bulunur.

K faktörlerine göre topraklar şöyle sınıflandırılır.

<u>K faktörleri</u>	<u>Erodibilite (Aşınabilirlik)</u>
0-0,05	Çok az aşınabilir
0,05-0,10	Az aşınabilir
0,10-0,20	Orta derecede aşınabilir
0,20-0,40	Kuvvetli derecede aşınabilir
0,40-0,60	Çok kuvvetli derecede aşınabilir (Taysun, 1989).

### **Yamaç Uzunluğu “L” Faktörü**

“L” yamaç uzunluğu faktörü şöyle hesaplanır:

$$L = \left( \frac{l}{22,1} \right)^{0,5} \quad (3.8)$$

#### L: Yamaç uzunluğu faktörü

l: Yamaç uzunluğu (m)

%9 eğimde ve 22.1 m uzunlukta L=1'dir. Burada 0.5 olarak alınan üst değeri ortalama değerdir ve aslında 0.3-0.6 arasında değişmektedir.

L, %5'ten az çok uzun eğimlerde 0.3; %10'dan fazla eğimler için 0.6 alınır. Bu değer 0.5 olmadığı durumlarda nomogram kullanılırsa esdeğer eğim uzunluğu alınmalıdır (Taysun, 1989).

#### **“S” eğim dikliği faktörünün hesaplanması**

$$S = \frac{0.43 + 0.30s + 0.043s^2}{6.613} \quad (3.9)$$

S: Eğim dikliği faktörü, s: % eğim'dir.

L ve S faktörleri birleştirilerek "LS" faktörü şeklinde tek formülle hesaplanabilir.

$$LS = \frac{(I)^{0.5}}{100} (1.36 + 0.97s + 0.138s^2) \quad (3.10)$$

our.

S değeri %9 eğim için 1

S değeri <%9 eğim için <1

S değeri  $>9\%$  eğim için  $>1$  (Taysun, 1989).

## **“C” faktörünün hesaplanması**

Ürün ve amenajman faktörü (C) belli şartlar altında yetiştirilen belli ürünler ile örtülü tarlada meydana gelen toprak kayıplarının, devamlı nadas tarlada meydana gelen toprak kayıplarına oranıdır. Karsılıstmalar benzer toprak, meyil ve yağış şartlarında yapılmaktadır.

Yetiştirilen bitkilerin kendilerine göre bir vejetasyon süreleri vardır ve toprak asınımında bu sürenin farklı zamanlarında farklı şekilde

etkili olurlar. Bu nedenledir ki “C” faktörünün saptanmasında 5 periyod incelenmektedir. Bunlar şöyle sıralanabilir;

1-F periyodu: Nadas (Toprak işlemeden ekime kadar geçen süre)

2-1.periyod: Tohum yatağı (Ekimden 1 ay sonraya kadar)

3-2.periyod: Çimlenme (Ekimden bitki gelişmesine kadar olan devre)

4-3.periyod: Gelişim devresi (2. periyodundan hasata kadar)

5-4.periyod: Anız (Hasattan ilk sürüme kadar).

“C” faktörünün hesaplanması şu sıra takip edilir:

Önce her periyodu için ayrı ayrı toprak kaybı oranı hesaplanır. Her periyodu için hesaplanan oranlar ile o periyodun hesaplanan EI değerleri çarpılır ve her periyodu için “C” değeri bulunur. Periyodlar için bulunan “C” değerleri toplanarak denklemde kullanılacak olan bitki için “C” faktörü hesaplanmış olur (Taysun, 1989).

#### **“P” faktörünün hesaplanması**

Toprak muhafaza işlemlerinin çeşitli bölge topraklarındaki koruyucu etkileri, bu işlemlerin uygulandığı parcellerdeki toprak kayiplarını ölçmek suretiyle tayin edilebilir. En çok üzerinde durulan koruma işlemleri, düzec egrilerine paralel ziraat, teraslama ve şerit üzerine ekimdir.

Erozyon denkleminde düzec egrilerine paralel ziraat ve şerit üzerine ekim için meyil uzunluğu faktörünün değerinin tayininde, tarlanın sahip olduğu uzunluğu kullanılmaktadır. Fakat teraslamada bu maksat için tarla meyil uzunluğu yerine iki teras arası mesafe dikkate alınmaktadır (Taysun, 1989).

### **3.2. Toprak Kayıplarının Hesaplanmasında Kullanılan Diğer Denklemler**

1939 yılında Zingg aşağıdaki toprak kaybı denklemini geliştirmiştir.

$$T = C \cdot S^m \cdot L^n \quad (3.11)$$

Burada;

T: Toplam toprak kaybı ( $t \text{ ha}^{-1}$ )

C: Toprak özelliklerine bağlı katsayı

S: Eğim (%)

L: Eğim uzunluğu

m,n: sabitler olarak tanımlanmaktadır.

1945 yılında ise Ellison

$$E = K \cdot V^{4.33} \cdot d^{1.07} \cdot I^{0.65} \quad (3.12) \text{ denklemini ortaya çıkarmıştır.}$$

Denklemde;

V: Damla düşme hızı (f/s)

D: Damla çapı (mm)

I: Yağış şiddeti (inç/h) şeklindedir.

1947 yılında Browning aşağıdaki denklemi önermiştir.

$$T = 2.5 (K \cdot S \cdot L \cdot R \cdot F \cdot E \cdot C \cdot P) \quad (3.13)$$

T: Yıllık toprak kaybı ( $t \text{ dek}^{-1} \text{y}^{-1}$ )

K: Toprak faktörü

S: Eğim derecesi

L:Eğim uzunluğu

R: Bitki rotasyonu

F: Verimlilik

E: Erozyona uğrama derecesi

C: Muhafaza önlemleri

P: Yağış faktörü

Yarı kurak ve kurak topraklarda ise rüzgar erozyonunun hesaplanmasında 1965 yılında Wood ve Siddway tarafından ortaya çıkarılan şu denklem kullanılmaktadır.

$$E = I \cdot K \cdot L \cdot C \cdot V \quad (3.14)$$

Denklemde;

**E:** Toprak kaybı

**I:** Düz toprak yüzeyi ve tepeciklerde erozyona uğrama kabiliyeti

**K:** Sırt pürüzlüğü faktörü

**C:** Yöresel iklim faktörü

**L:** Arazi uzunluğu

**V:** Vejetatif örtünün eşdeğer miktarı olarak tanımlanmaktadır (Taysun, 1989).

### 3.3. Nükleer Yöntemler

Yukarıda açıklanan toprak kaybı yöntemlerinde kullanılan doğal ya da yapay yağmurlama sistemi ile erozyon hızını bulmak için kullanılan erozyon parcellerinin hem maliyeti yüksek hem de bu yöntemlerin uygulanması zaman kaybına neden olmaktadır (Bernard et al., 2000). Oysa radyoaktif izleyiciler ile erozyon hızını tayin etme tekniği diğer toprak kaybı yöntemlerine göre ekonomik, hızlı ve daha hassas sonuç veren bir tekniktir.

Nükleer yöntemlerle erozyon hızı ve depozisyon hızı tayininde kullanılan teknikte erozyon tayini yapılacak arazi küçük parsellere bölünür. Örnekleme bölgesine yakın olan erozyondan korunmuş alanlar referans alanları olarak seçilir. Radyonüklid dağılıminin örnekleme bölgesi için düzgün olduğu kabul edilerek erozyona ve deposizyona açık alanlar ile erozyondan korunmuş alanlardaki radyonüklid envanterleri

karşılaştırılır. Korunmuş alandaki radyonüklid envanterine göre, erozyona açık alandaki radyonüklid kaybı yüzde olarak hesaplanır. Radyonüklid kaybı ile toprak kaybı arasındaki ilişkililere dayanan matematiksel modellerle toprak kaybı hesaplanır.

## **4. EROZYON ÇALIŞMALARINDA NÜKLEER YÖNTEMLERİN KULLANILMASI**

### **4.1. Erozyon Hızı Tayinlerinde Kullanılan Radyoaktif İzleyiciler**

#### **4.1.1 $^{137}\text{Cs}$ 'nin Radyoaktif İzleyici Olarak Kullanımı**

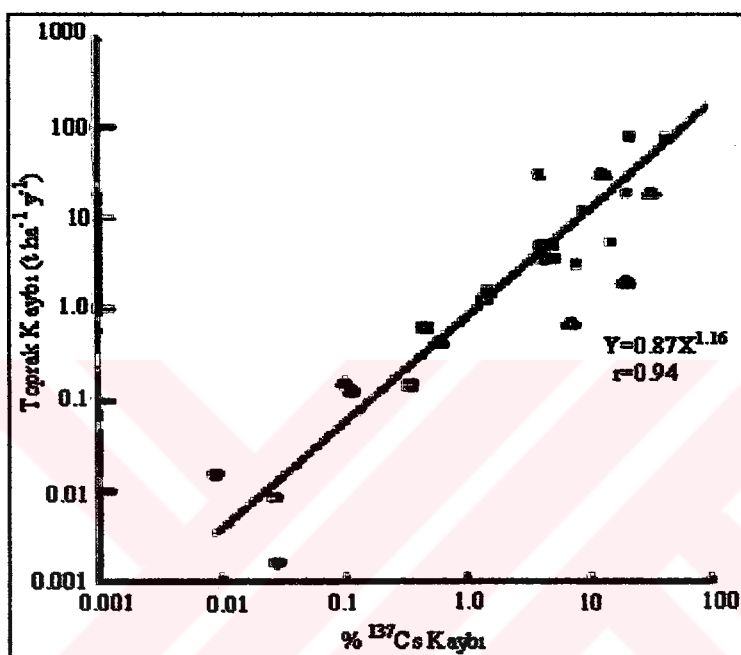
Atmosferde nükleer silah denemeleri 1945'li yıllarda başlamış ve 1970'li yıllara kadar devam etmiştir.  $^{137}\text{Cs}$ 'un toprak yüzeyine dağılımı en fazla 1958 ile 1964 yılları arasında ve en az 1971 ile 1978 yılları arasında olmuştur.  $^{137}\text{Cs}$ 'un toprak yüzeyine güçlü adsorbsiyonundan ve toprak tanecikleri ile birlikte hareketinden dolayı bir çok araştırcı bu radyoaktif elementi erozyon çalışmalarında izleyici olarak kullanmıştır.

$^{137}\text{Cs}$  tekniği kullanılarak toprak kaybını belirlemek için yapılan çalışmalar 1970'li yıllarda başlamış ve bu çalışmaların ilk uygulamalarında  $^{137}\text{Cs}$  tekniği ile USLE teknigi karşılaştırmalarına geniş olarak yer verilmiştir. Rogowski ve Tamura 1970 yılında küçük test parcellerinde  $^{137}\text{Cs}$  teknigini kullanarak toprak kaybı ile  $^{137}\text{Cs}$  kaybı arasında logaritmik bir ilişki bulmuşlardır. 1974'te, yapılan bir çalışmada  $^{137}\text{Cs}$ 'un yüzde kaybı ile USLE elde edilen toprak kaybı arasında güçlü bir ilişki olduğu gözlenmiştir (Şekil 4.1) (Ritchie et al., 1990).

McHenry ve Ritchie 1977 yılında  $^{137}\text{Cs}$  teknigine göre eğimli yamaçlarda erozyon ve depozisyon hızlarını belirleyerek  $^{137}\text{Cs}$  dağılımı ile eğim açısı ve yamaç uzunluğu arasındaki ilişkiye saptamışlardır.

Bir başka çalışmada ise De Jong ve çalışma grubu 1986'da USLE ve  $^{137}\text{Cs}$  kaybı ile elde edilen toprak kaybı arasında pozitif bir korelasyon bulmuşlar ( $r=0.63$ ,  $N=7$ ), USLE metodunun yüksek erozyon hızlarında iyi sonuç verdiği buna rağmen yerel çöküntülerdeki depozisyonu hesaba katmadığını belirtmişlerdir. Ayrıca USLE denkleminin tepelik yamaçlarda tarımın neden olduğu toprak hareketlerini ve rüzgar

erozyonunu içermediği için düşük erozyon hızlarında gerçek değeri vermediğini belirtmişlerdir (Taşkin, 1993).



Şekil 4.1. Toprak kaybı ile relativ <sup>137</sup>Cs kaybı arasındaki ilişki.

<sup>137</sup>Cs tekniginin erozyon hızı tayinlerinde kullanımıyla birlikte giderek bir çok model ortaya çıkmıştır. Zhang ve arkadaşları (1990) <sup>137</sup>Cs izleyici ile erozyon hızları tayinlerinde geliştirdikleri temel kütlesel denge modelini (*Simplified Mass Balance Model*) kullanmışlardır. Daha sonra Walling ve arkadaşları (1997) bu modeli geliştirerek içinde çevresel faktörlere bağlı bir çok parametre olan gelişmiş kütlesel denge modellerini (*Refined Mass Balance Models*) oluşturmuşlardır (Walling and He, 1999a,b)

Tüm dünyada, örneğin kuzey yarıkürede New York (USA), Milford Haven (UK) ve güney yarıkürede Adelaide/Brisbane

(Avustralya)'de  $^{137}\text{Cs}$  toprak hareketlerinin izlenmesinde başarı ile kullanılmıştır. Özellikle son yıllarda erozyon çalışmalarında  $^{137}\text{Cs}$ 'un kullanılması giderek artmıştır (Walling ve He, 1999a,b; Basher, 2000; Bernard et al., 2000; Ionita et al., 2000; Bujan et al., 2000; Nagle et al., 2000; Schuller et al., 2000; Theocharopoulos et al., 2000; Collins et al., 2001; Porto et al., 2001; Theocharopoulos et al., 2002).  $^{137}\text{Cs}$  teknigi ile erozyon hızı tayini bir çok ülkede geliştirilerek kullanılmasına rağmen erozyonun büyük problem olduğu Ülkemiz topraklarında henüz kullanılmamıştır.

#### **4.1.2. Erozyon Hızı Tayinlerinde Kullanılan Diğer Alternatif**

##### **Radyoaktif İzleyiciler ( $^{210}\text{Pb}$ ve $^7\text{Be}$ )**

$^{137}\text{Cs}$ 'un erozyon hızı tayininde kullanılmasının en önemli avantajları geriye dönük erozyon ve depozisyonun uzaysal dağılımı hakkında bilgiler vermesi ve farklı çevrelerde geniş uygulama alanlarının olmasıdır. Ancak  $^{137}\text{Cs}$  ile yapılan erozyon hızı tayinlerinde iki önemli problem söz konusudur. Bunlardan biri ekvotoral alanlarda ve güney yarıküredeki geniş alanlarda  $^{137}\text{Cs}$  envanterinin kuzey yarıkürede orta enlemlerde kaydedilen değerlerden %30 daha düşük olmasıdır. Bu alanlardaki düşük  $^{137}\text{Cs}$  envanteri ölçümden önemli problemlere neden olmaktadır, bu nedenle sayım sürelerinin uzun tutulması gereklidir. Örneğin günümüzde Kuzey Amerika ve Avrupa'daki  $^{137}\text{Cs}$  envanteri 2000'den 4000  $\text{Bq m}^{-2}$  arasında değişirken Avustralya'da 420  $\text{Bq m}^{-2}$ , Yeni Zellanda'da 270  $\text{Bq m}^{-2}$  ve Zimbabwe'de 252  $\text{Bq m}^{-2}$  olarak değişmektedir (Walling and He, 1999a). Nükleer silah denemeleri ile meydana gelen depozisyon 1950'li yılların sonlarından 1970'li yıllara kadar olduğu için  $^{137}\text{Cs}$  envanteri radyoaktif yarı ömrüne bağlı olarak

gittikçe azalmaktadır.<sup>137</sup>Cs'un yarıömrü 30 yıl olduğundan dolayı bu süre içerisinde bize erozyonla ilgili bilgiler vermektedir. Bu avantaj gibi gözükmekse de arazide kısa süreli değişimler hakkında bilgiler edinilememektedir. Bu süre içinde arazinin kullanım şeklinin değişmesi ve diğer çevresel değişiklikler söz konusu olabilir. Bu şekilde yıllık toprak kayıplarını değerlendirebilmek söz konusu olmayacağından. Aynı zamanda erozyon hızının değerlendirilmesinde dikkate alınması gereken fırtınalar ve kısa süreli toprak kullanım değişiklikleri gibi durumlar olabilir. Ayrıca <sup>137</sup>Cs ile yapılan erozyon hızı tayinlerinde su, rüzgar erozyonu ve tarım alanlarındaki çift sürme etkilerini birbirinden ayırmak gereklidir. Bu nedenle <sup>137</sup>Cs ile benzer davranışlara sahip olan ve sürekli atmosferik akısı bulunan ayrıca tüm bunların yanında yarı ömrü gün mertebesinde olan, böylece kısa süreli toprak hareketlerinin değerlendirilebileceği başka bir radyonüklide ihtiyaç vardır. <sup>7</sup>Be bu amaçla kullanılabilir; yarı ömrü 53 gündür ve oluşumu kozmik ışınlarla dünya atmosferinin bombardımanı sonucundadır ve atmosferik yağışlarla dünya yüzeyinde depoze olur. Dolayısı ile <sup>7</sup>Be, <sup>137</sup>Cs'dan iki açıdan farklıdır; <sup>7</sup>Be doğal orjinlimasına rağmen <sup>137</sup>Cs atmosferik nükleer silah denemelerinin ürünüdür. <sup>7</sup>Be'un akısı sürekli dir, oysaki <sup>137</sup>Cs'un atmosferik akısı nükleer silah denemelerinin süresi ile sınırlanmıştır. <sup>7</sup>Be da <sup>137</sup>Cs gibi hızlı ve kuvvetlice pek çok alanda sediment ve toprak partikülleri tarafından adsorblanmaktadır (Walling et al., 1999).

Toprak hareketlerinin izlenmesinde <sup>137</sup>Cs ve <sup>7</sup>Be'un yanısıra <sup>210</sup>Pb'da özellikle son yıllarda kullanılan radyoizotoplardandır. Kurşun-210, yarıömrü 22.6 yıl olan uranyum serisi (Radyum serisi) ürünlerindendir. Radyum-226 doğal olarak toprakta ve kayaçlarda bulunur, bozunumıyla <sup>210</sup>Pb ortamda radyum ile denge içinde

bulunacaktır. Radyumun bozunum ürünlerinden  $^{222}\text{Rn}$ 'un küçük bir miktarının topraktan difüzyonu ile  $^{210}\text{Pb}$  atmosferde serbest kalmaktadır ve daha sonraki atmosferik yağışlarla tekrar toprak yüzeyine geri dönmektedir. Bu şekilde toprakta biriken  $^{210}\text{Pb}$  artık  $^{226}\text{Ra}$  ile dengede olmayacağındır. Topraktaki dengenin üzerindeki  $^{210}\text{Pb}$  miktarını hesaplamak mümkün değildir. Kurşun-210 için sürekli bir atmosferik akış konusu olduğundan topraktaki  $^{210}\text{Pb}$  birikimi (birim alan başına aktivite)  $^{137}\text{Cs}$  birikimi ile karşılaştırıldığında daha fazladır.  $^{210}\text{Pb}$ , göl ve deniz sediment korlarında tarihleme çalışmalarında yaygın olarak kullanılmasına rağmen toprak erozyon hızı tahminlerinde potansiyel kullanılabilirliği ihmal edilmiştir. Atmosferik yağışlarla hızla toprak yüzeyinde biriken  $^{210}\text{Pb}$ ,  $^{137}\text{Cs}$  gibi aynı davranışları gösterecektir.  $^{137}\text{Cs}$ 'dan en önemli farkı  $^{210}\text{Pb}$  akısının doğal orjinine bağlı olarak sürekli oluşudur. Dünyanın pek çok yerinde dengenin üzerindeki  $^{210}\text{Pb}$  konsantrasyonu yağmur suyu ve dağılmamış toprak korları kullanılarak tayin edilmiştir. Bu şekilde tayin edilen akış değerleri çok çeşitlidir; Turekian ve arkadaşları (1977), Robbins (1978) ve Appleby ve Oldfield (1992)  $23 \text{ Bqm}^{-2}\text{y}^{-1}$  den  $367 \text{ Bqm}^{-2}\text{y}^{-1}$  arasında değiştiğini bulmuşlardır.  $^{210}\text{Pb}$  ( $t_{1/2}=22.26$  yıl) ve  $^{137}\text{Cs}$ 'un ( $t_{1/2}=30.17$  yıl) yarılanma süreleri birbirlerine yakındır.  $^{210}\text{Pb}$ 'un global dağılımındaki değişimeler  $^{137}\text{Cs}$ 'daki değişimelere göre oldukça düşüktür.  $^{210}\text{Pb}$  fisyon ürünü değildir, bu nedenle nükleer silah denemeleri ve Chernobyl sonrası meydana gelen atmosferik yağışların sonucunda toprakta  $^{137}\text{Cs}$  deteksiyonunda karşılaşılan problemler  $^{210}\text{Pb}$  için söz konusu olmayacağındır.  $^{137}\text{Cs}$ 'un atmosferik yağışının az olduğu veya Chernobyl sonrası depozisyonun çok olduğu alanlarda alternatif izleyici olarak denge değerinin üzerindeki

$^{210}\text{Pb}$ 'un kullanılabileceğini son yıllarda yapılan çalışmalar göstermiştir (Walling et al., 1995; Walbrink and Murray, 1996).

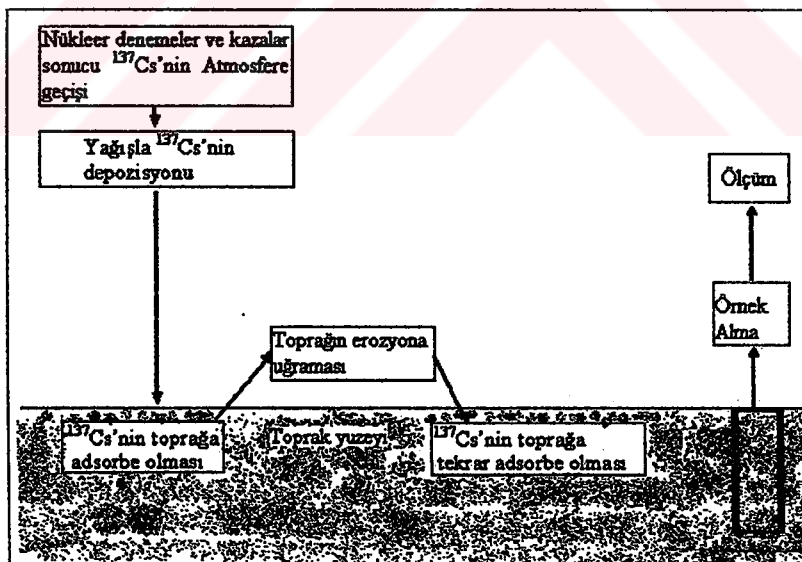
#### 4.2. $^{137}\text{Cs}$ 'un Erozyon Hızı Tayinlerinde Kullanılması

$^{137}\text{Cs}$  ( $\gamma=662 \text{ keV}$ ) en önemli fision ürünlerindendir, yarı ömrü  $t_{1/2}=30.17$  yıldır. Yapay bir radyonüklid olan  $^{137}\text{Cs}$  atmosfere nükleer silah denemeleri ve reaktör kazaları sonucu yayılmıştır. Bu durum 1950'lilerin başından 1970'li yılların sonlarına kadar devam etmiştir. Böylece 1950 yılından itibaren kuzey ve güney yarıkürede  $^{137}\text{Cs}$  kontaminasyonu meydana gelmiştir. Birçok alanda atmosferik akıyla toprak yüzeyine ulaşarak yüzey toprak horizonları tarafından hızla adsorblanmıştır ve daha sonra toprak partiküllerinin hareketi ile tekrar dağılımı söz konusu olmuştur. Bu şekilde toprak hareketlerinin yarı ömrüne bağlı olarak 30 yıllık bir zaman aralığı içinde değerlendirilmesini mümkün kılmıştır.  $^{137}\text{Cs}$  kullanılarak yapılan erozyon hızı tayinlerinde  $^{137}\text{Cs}$ 'un topraktaki adsorbsyonunun yüksek olması dolayısı ile havzadaki  $^{137}\text{Cs}$  kayıplarının toprak kayıpları ile orantılı olduğu kabul edilmektedir.  $^{137}\text{Cs}$ 'un yatay ve dikey yönde dağılımının incelenmesi toprak hareketleri ve yeniden dağılımı konusunda önemli bilgiler vermektedir.  $^{137}\text{Cs}$  ölçümülarından giderek erozyon hızı ve sediment dağılım hızı tayininde kullanılan teknigin temeli Şekil.4.2'de verilmektedir.  $^{137}\text{Cs}$  ile erozyon veya deposizyon hızı tayininde genellikle erozyona ya da deposizyona uğramış alanlar ile erozyondan korunmuş (referans) alanlardaki radyonüklidler karşılaştırılır. Referans noktası olarak adlandırılan korunmuş alandaki  $^{137}\text{Cs}$  envanteri, erozyona uğramış yerdeki  $^{137}\text{Cs}$  envanterinden daha fazla olurken deposizyon bölgesindekinden ise daha azdır. Bu konuda yapılan çalışmalar  $^{137}\text{Cs}$

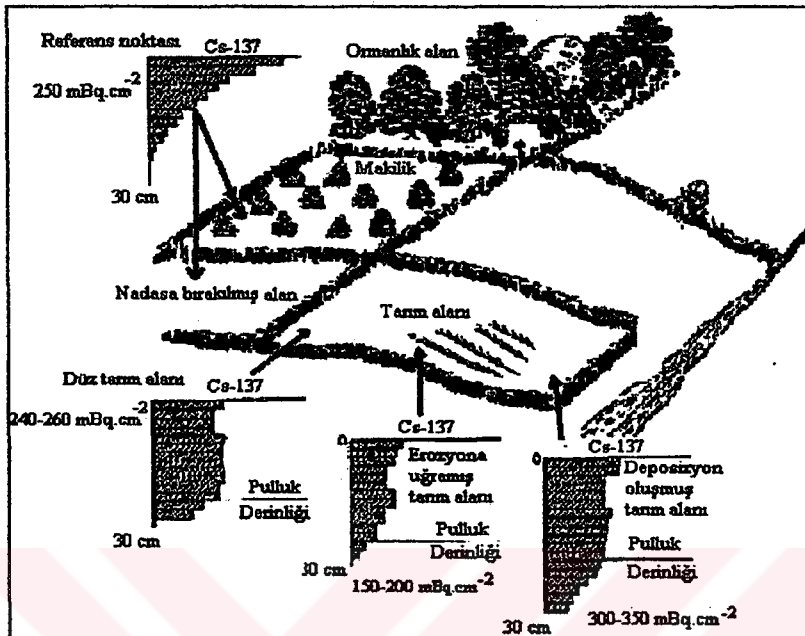
kayıbı ile toprak kaybı arasında lineer bir ilişki olduğunu göstermiştir. Bu ilişkiden bir çok matematiksel ifade geliştirilmiştir ve erozyon hızları belirlenmiştir.

$^{137}\text{Cs}$  farklı alanlarda farklı dağılımlar göstermektedir. Tarım yapılan toprak profilleri ile diğer bölgelerdeki profiller karşılaştırıldığında, tarım alanlarında  $^{137}\text{Cs}$ 'un dağılımının homojen veya homojene yakın olduğu görülmektedir. Referans bölgelerinde ise  $^{137}\text{Cs}$  konsantrasyonu derinlikle azalır. Erozyona uğramış tarım alanlarındaki  $^{137}\text{Cs}$  birikimi referans bölgesine göre yaklaşık % 40 daha azdır. Tarım alanlarının depozisyon noktalarında ise  $^{137}\text{Cs}$  birikimi ve dolayısıyla toprak birikimi de söz konusudur.

Şekil 4.3  $^{137}\text{Cs}$ 'un farklı bölgelerde derinliğe bağlı olarak dağılımını göstermektedir (Boardman et al., 1996).



Şekil 4.2. Erozyon çalışmalarında kullanılan  $^{137}\text{Cs}$  tekniğinin temeli.



Şekil 4.3.  $^{137}\text{Cs}$ 'un farklı bölgelerdeki dikey dağılımı.

### Referans Alanlarının Seçimi

$^{137}\text{Cs}$ 'un kullanıldığı erozyon hızı tayinlerinde erozyon ve deposyonun olduğu alanlara referans olacak korunmuş toprak içeren bir alana ihtiyaç vardır. Çoğu yarı-kurak topraklarda rüzgar aktivitesi meydana gelir ve toz deposyonu muhtemelen bitkileşmiş alanlarda oluşur. Fakat bitkisiz alanlar ise rüzgar ve su erozyonuna maruz kalırlar. Dolayısıyla, bu şartlar altında  $^{137}\text{Cs}$  referans konsantrasyonunu belirlemek için korunmuş alanı doğru tahmin etmek zordur. Kararlı toprak koşullarında bile kontrol alanı için  $^{137}\text{Cs}$  envanteri değişken olabilir ve ağaçlar üzerinden akan düzensiz yağış topraktan  $^{137}\text{Cs}$  kaybına veya yüzeydeki organik madde içeriğinde  $^{137}\text{Cs}$ 'un tutulmasına sebep olabilir. (Chappell, 1999). Buna göre  $^{137}\text{Cs}$ 'un kullanıldığı erozyon hızı tayinlerinde referans alanlarının seçiminde dikkat edilmesi gereken noktaları aşağıdaki gibi özetleyebiliriz;

- Referans alanı çalışma alanına 1 km'den daha uzakta olmamalıdır (Bujan et al., 2000).
- Referans envanterini tayin etmek için, çalışma alanına yakın, tüm yıl boyunca bitki ile kaplı, erozyon ve sedimentasyondan uzak düz bir alan seçilmelidir. (Schuller et al., 2000).
- Referans alanları tarım yapılmayan ve eğimi en az olan alanlardan seçilmelidir.
- Ormanlık alanlarda ağaç köklerinden en az 3 m uzakta olmalıdır (Nagle et al., 2000).

#### **4.3. $^{137}\text{Cs}$ Dağılımı ile Toprak Özellikleri Arasındaki İlişki**

Nükleer silah denemeleri ve reaktör kazaları ile atmosfere bırakılan  $^{137}\text{Cs}$ , yağış ile birlikte yeryüzüne geri döndüğünde zemindeki toprak kolloidleri tarafından adsorbe olunur. Kil minerallerinin ayrımlı kil tipleri, kristalleşme dereceleri, yoğunluğu, iyon değişim özellikleri ve çevrenin katyon içeriği gibi doğal özellikler topraklardaki  $^{137}\text{Cs}$  adsorbsiyonuna doğrudan etkili olur. Topraklardaki  $\text{K}^+$  ve  $\text{Na}^+$  gibi katyon konsantrasyonlarının artışı toprak kolloidleri tarafından  $^{137}\text{Cs}$ 'un adsorbsiyonunu düşürür. Topraklarda  $\text{Ca}$  vb. iki değerlikli katyonların varlığı,  $\text{K}$  vb. tek değerlikli katyonlara nazaran mika ve vermiculit mineralleri tarafından  $^{137}\text{Cs}$  'un daha yoğun olarak adsorbsiyona uğramasına neden olur.

Kil mineralleri tipine ilaveten, toprağın organik madde ve kil içeriği  $^{137}\text{Cs}$  adsorbsiyonunu etkileyen ve bu bağlamda toprakların katyon değişim kapasitesini (KDK) belirleyen bir etki faktörü olarak karşımıza çıkar. Sawhney (1967), vermiculit kil mineralinin nicel olarak yoğunlaştığını ve buna koşut olarak KDK'nın artışıyla,  $^{137}\text{Cs}$ 'un daha

fazla adsorbe olduğunu saptamıştır. Yüzey topraklarında  $^{137}\text{Cs}$  konsantrasyonu organik madde niceliği ile doğru orantılı olarak değişir.

Richie ve McHenry 1978 yılında topraktaki  $^{137}\text{Cs}$  konsantrasyonundaki değişimi, kil ve organik madde miktarı ile pozitif, kum içeriği ile ise negatif bir korelasyon gösterdiğini belirtmişlerdir. De John ve çalışma ekibi 1986 yılında A horizonu (organik madde birikim horizonu) kalınlığındaki ve organik madde içeriğindeki değişikliklerin,  $^{137}\text{Cs}$  aktivitesinde %65 kadar değişikliğe neden olduğunu belirtmişlerdir. Bu bağlamda organik madde bazı yönlerde kil minerallerine tutunan  $^{137}\text{Cs}$ 'un artışında rol oynadığı gibi, killerden de  $^{137}\text{Cs}$ 'un serbest kalışını artıtabilir (Taşkin, 1993).

Tarım yapılmayan topraklarda  $^{137}\text{Cs}$ 'un kil minerallerine kuvvetli adsorbsiyonu yanında organik madde niceliğinden dolayı, çoğunu yüzey horizonlarda yoğunlaştığı belirlenirken, kimi araştırcılarda  $^{137}\text{Cs}$ 'un toprakların daha derinlere doğru su ile olan hareketini belirtmişlerdir. Lowrance ve arkadaşları 1988 yılında bozulmamış ve humusca zengin orman topraklarında  $^{137}\text{Cs}$  aktivitesini yüzeyde daha yüksek ölçmüştür.  $^{137}\text{Cs}$ 'un kum dokulu topraklarda yavaş hareket ettiğini ve 20 cm'nin altına taşınmadığını açıklamışlardır. McHenry ve çalışma ekibi 1978'de,  $^{137}\text{Cs}$  konsantrasyonunun tarım yapılmayan alanlarda profili en üst 5 cm'sinde daha fazla olmasına rağmen, bunun tarım alanlarında pulluk tabakasına kadar dağılım gösterdiğini belirtmişlerdir (Taşkin, 1993).

$^{137}\text{Cs}$ 'un topraklarda adsorbe olması toprak tepkimesine dolayısıyle (pH) değerine bağlı olup, bu bağlamda pH'ın 2 den 4'e çıkması durumunda adsorbsiyon hızla artarken, pH=7'de maksimuma ulaşır, pH=8 ve yukarısında ise bu adsorbsiyon yeniden düşüre geçer.  $^{137}\text{Cs}$ 'un toprak profili boyunca dikey dağılım hızı kil minerallerine

kuvvetli adsorbsiyonundan dolayı düşüktür. Bir çok araştırcı  $^{137}\text{Cs}$  konsantrasyonunun ilk 5-10 cm üstünde yoğunlaştığını ve toprak yüzeyinden aşağı doğru exponansiyel olarak azaldığını göstermişlerdir. Bazı yörelerdeki toprak profillerinde  $^{137}\text{Cs}$  konsantrasyonu toprak yüzey horizonunun 8 cm üzerindeki bölgelerde düşük, bu derinliğin altındaki alanlarda ise yüksek olarak gösterilmiştir. Bu durum  $^{137}\text{Cs}$ 'un toprağın 8 cm üzerindeki derinliklerde kuvvetli bir şekilde karışmadığını ve sediment dağılımının olmadığını gösterir. McCallan ve arkadaşları  $^{137}\text{Cs}$  profilindeki yüzey azalmalarının sezymum taşımayan materyallerden kaynaklandığını belirtmişlerdir. Chappell ve arkadaşları ise yoğun yağmurların  $^{137}\text{Cs}$  un kil mineralleri tarafından adsorsiyonunu azalttığını göstermişlerdir (Chappell et al., 1999).

Toprak içerisindeki kireç niceliği, toprağın organik karbon içeriği ile doğrudan ilişkilidir. Toprak içerisinde yoğun kirecin bulunması veya kireçli ana özdekler üzerinde bitki örtüsünün yoğun gelişimi, kireçsiz ortamlara nazaran organik maddenin daha fazla birikimine ve sonučta yüzey horizonunda Cs birikimine neden olur. Benzer şekilde toprakların oluşturduğu sediment kökenli ve kireçli jeolojik ana özdeklerden kaynaklanan Ca iyonu, organik maddenin ayrışma ürünlerinden olan hümik asitlerle birleşerek Ca-humatları oluştururlar ve bu durumda topraklarda dayanıklı ve sıkı agregatları artırarak erzoyona karşı toprağın aşınma direncini yoğunlaştırırlar (Ritchie and Rasmussen, 2000).

#### 4.4. $^{137}\text{Cs}$ Dağılımı ile Topografi Arasındaki İlişki

Topografik özellikler bir alanda  $^{137}\text{Cs}$ 'un dikey ve yatay dağılımını etkileyen önemli değişkenlerdir. McHenry ve çalışma grubu 1978'de topografyaadaki küçük değişiklıkların erozyon ve birikimde artışa

neden olduğunu gözlemler ve tarım alanlarındaki  $^{137}\text{Cs}$  miktarlarının rakımdaki küçük değişikliklerle de farklılıklar gösterdiğine işaret etmişlerdir.

Kiss ve çalışma grubu en üst, orta, alçak yamaçlar ile tarım yapılan yamaçlarda  $^{137}\text{Cs}$  ölçümlerinden toprak dağılımını belirlemişler ve erozyon hızı ile yamaç uzunluğu arasında negatif bir korelasyon bulmuşlardır (Taşkin, 1993).

#### **4.5. $^{137}\text{Cs}$ Tekniği ile Toprak Erozyonunu ve Depozisyonunu Belirlemekte Kullanılan Matematiksel Modeller**

Bu matematiksel modelleri tarım yapılan ve yapılmayan arazilerdeki uygulamalarına göre iki grupta incelemek gerekmektedir.

##### **Orantılı Model (*Proportional Model*)**

Tarım yapılan topraklarda  $^{137}\text{Cs}$  ölçümlerinden giderek toprak erozyon hızlarını elde etmek için kullanılan yaygın modellerden biri orantılı modeldir. Bu model,  $^{137}\text{Cs}$ 'un toprağın sürülmESİ ile pulluk tabakası derinliğine kadar tamamen karıştığı ve toprak kaybının profilde  $^{137}\text{Cs}$  envanterindeki azalma ile orantılı olduğu temeline dayandırılır ve aşağıdaki ifade ile verilir (Du et al., 1998; Nagle et al., 2000);

$$E_{net} = \frac{(XY) \cdot \left( \frac{F_s - F_c}{F_c} \right)}{N} \quad (4.1)$$

Burada;

$E_{net}$ : Net toprak erozyonu yada depozisyonu ( $\text{kg m}^{-2} \text{y}^{-1}$ )

X: Örnekleme yapılan toprağın volüm ağırlığı ( $\text{Mg m}^{-3}$ )

Y: Örneklemlen toprak tabakasının derinliği (m)

$F_s$ : Örneğin Sezym aktivitesi ( $\text{Bq m}^{-2}$ )

$F_c$ : Referans noktasının sezym aktivitesi ( $\text{Bq m}^{-2}$ )

N: 1963 ile örneklemeye zamanı arasında geçen süre (yıl) (Nagle et al., 2000).

Dominik Cumhuriyeti Nizao bölgesinde orantılı model kullanılarak 14 örneklemeye bölgesinde yapılan bir çalışmada toprak kaybı  $6-61 \text{ t ha}^{-1} \text{ y}^{-1}$  arasında iken ortalama erozyon hızı  $26 \text{ t ha}^{-1} \text{ y}^{-1}$  olarak belirlenmiştir. Aynı bölgede Hernandez, USLE denklemini kullanarak bazı tarım alanlarında erozyon hızını  $41-88 \text{ t ha}^{-1} \text{ y}^{-1}$ ,  $8-61 \text{ t ha}^{-1} \text{ y}^{-1}$  arasında değişen değerlerde bulmuştur.  $^{137}\text{Cs}$  ile elde edilen sonuçların USLE ile bulunan sonuçlardan daha düşük olduğu görülmüştür.

Australya'nın Sydney yakınlarında Merriwa havzasında yapılan başka bir çalışmada orantılı model kullanılarak erozyon hızı  $8-37 \text{ t ha}^{-1} \text{ y}^{-1}$  olarak bulunmuştur (Boardman et al., 1996).

Çin'in Qinghai-Tibetan Yaylasında yapılan bir çalışmada rüzgar erozyonu sonucu meydana gelen toprak kayıpları yine orantılı model kullanılarak hesaplanmıştır. Bu bölgede rüzgar erozyonunun etkisiyle çevredeki ekolojik dengenin bozulması ve artan çölleşmeden dolayı erozyon hızının acil olarak belirlenmesine ve önlemlerin alınmasına gerek duyulmuştur.  $^{137}\text{Cs}$  envanterleri erozyon bölgelerinde  $54.02-702.39 \text{ Bq m}^{-2}$  ve referans alanlarında ise  $982.11-2376.04 \text{ Bqm}^{-2}$  arasında ölçülmüştür. Buna bağlı olarak  $^{137}\text{Cs}$  ölçümülerinden giderek elde edilen ve rüzgar erozyonundan kaynaklanan toprak kaybının ortalama değerinin  $47.59 \text{ t ha}^{-1} \text{ y}^{-1}$  olduğu ve bölgede rüzgar erozyonunun en az etkili olduğu yerlerde toprak kaybının  $20.20 \text{ t ha}^{-1} \text{ y}^{-1}$  ile  $22.69 \text{ t ha}^{-1} \text{ y}^{-1}$  arasında değiştiği gözlenmiştir (Ping et al., 2000).

Rüzgar ve suyun neden olduğu yüzey erozyonu, Yeni Zellanda'daki Manawatu bölgesi tarım topraklarında yaygın olarak görülmektedir. Tarım alanlarında,  $^{137}\text{Cs}$  aktivitesi  $138\text{-}827 \text{ Bq m}^{-2}$  arasında ve ortalama aktivite ise  $463 \text{ Bq.m}^{-2}$  olarak tayin edilmiştir. Toprak erozyonu ortalama  $46 \text{ t ha}^{-1} \text{ y}^{-1}$ , toprak deposizyonu ise ortalama  $49 \text{ t ha}^{-1} \text{ y}^{-1}$  olarak bulunmuştur (Basher, 2000).

Pasifiğin kuzey batısındaki Palouse bölgesi dünyada kuru tarımın yapıldığı en verimli bölgelerden biridir. Palouse nehri havzasındaki erozyonun %90'dan fazlası ekim alanlarındaki su akışından kaynaklanır. Su erozyonundan kaynaklanan ortalama toprak kaybının orantılı model kullanılarak  $31 \text{ t ha}^{-1} \text{ y}^{-1}$  olduğu ve üst yamaçlarda ise  $225\text{-}450 \text{ t ha}^{-1} \text{ y}^{-1}$  arasında değiştiği hesaplanmıştır (Montgomery et al., 1997).

#### **Profil Dağılım Modeli (*Profile Distribution Model*)**

Tarım yapılmayan alanların erozyon hızı tayininde kullanılan denklemlerden biri profil dağılım modelidir. Zhang ve arkadaşları tarafından kullanılan bu modelin temeli aşağıdaki esaslara dayanır (Porto et al., 2001).

Yağışla birlikte  $^{137}\text{Cs}$  yeryüzeyine üniform olarak dağılmaktadır. Tarım yapılmayan alanlarda  $^{137}\text{Cs}$ 'un derinlikle değişimi

$$A(x) = A(0)e^{-bx} \quad (4.2)$$

şeklinde üstel bir dağılım gösterir.

$A(x)$ : Verilen bir derinlikteki  $^{137}\text{Cs}$  konsantrasyonu ( $\text{Bq kg}^{-1}$ )

$A(0)$ : Yüzeydeki  $^{137}\text{Cs}$  konsantrasyonu ( $\text{Bq kg}^{-1}$ )

$b$ : sabit katsayı

$1/b$  katsayısı aynı zamanda relaksasyon kütle derinliği  $h_0$  parametresinin değerini verir (Porto et al., 2001).

Profil dağılım modelinde  $h_0$  parametresinin tayini önemlidir. Relaksasyon kütle derinliği yüzeydeki  $^{137}\text{Cs}$  konsantrasyonunun  $1/e$  ye indiği derinliktir. Bu parametre referans noktasında  $^{137}\text{Cs}$ 'un dikey dağılım ölçümlerinden elde edilir.  $^{137}\text{Cs}$ 'un derinlikle olan dağılımı (4.2) nolu eşitlikte verilen exponansiyel bir fonksiyonla ifade edilir.

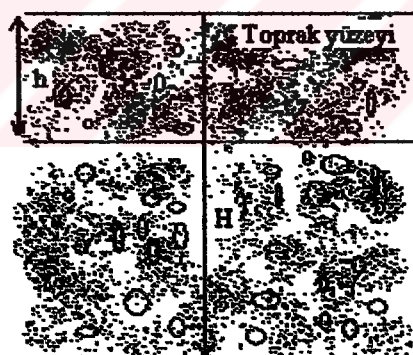
Referans noktasında  $^{137}\text{Cs}$  envanteri;

$$C_R = \int_0^H A dx \quad (4.3)$$

**Şekil 4.4** dağılmamış topraklarda toprak tabakasına  $^{137}\text{Cs}$  birikimini göstermektedir.

H: Referans noktasındaki toprak derinliği (m)

h: Erozyon noktasında kaybolan toprak tabakası kalınlığı (m)



h: kayıp toprak (seyum) tabakası

H: Korunmuş (referans noktasındaki) toprak (seyum) tabakası

**Şekil 4.4.** H derinliğindeki toprak tabakasına (havuzuna)  $^{137}\text{Cs}$  birikim diyagramı

Erozyon noktasındaki  $^{137}\text{Cs}$ 'un referans noktasındaki  $^{137}\text{Cs}$ 'a oranı Y, Du ve arkadaşları (1998) tarafından şu şekilde verilmektedir.

$$Y = \frac{\int_0^H A dx - \int_h^H A dx}{\int_0^H A dx} = \frac{\int_0^h A dx}{C_R} \quad (4.4)$$

$$Y = \frac{\int_0^h A dx}{\int_0^H A dx} = \frac{\int_0^h A(0)e^{-bx} dx}{\int_0^H A(0)e^{-bx} dx} = \frac{\left[ -\frac{A(0)}{b} e^{-bx} \right]_0^h}{\left[ -\frac{A(0)}{b} e^{-bx} \right]_0^H} = \frac{-\frac{A(0)}{b} (e^{-bh} - 1)}{-\frac{A(0)}{b} (e^{-bH} - 1)}$$

$H'$  nin çok büyük olması durumunda  $e^{-bH}=0$ , relativ sezyum kaybı

$$Y = \frac{-\frac{A(0)}{b} (e^{-bh} - 1)}{\frac{A(0)}{b}}$$

$$Y = 1 - e^{-bh} \quad (4.5)$$

şeklini alır.

$$e^{-bh} = 1 - Y$$

$h$  toprak kaybı tabakası

$$h = -\frac{1}{b} \ln(1 - Y) \quad (4.6)$$

olarak elde edilir (Du et al., 1998).

Sezyumun başlangıcında itibaren geçen süre  $t-1963$  ise

Yıllık erozyon hızı

$$E_R = \frac{h}{t-1963} \quad (4.7)$$

$$E_R = -\frac{10}{t-1963} \frac{1}{b} \ln(1 - Y) \quad (4.8)$$

Relaksasyon kütle derinliği  $h_0$ ,  $1/b$  olarak tanımlanmıştır.

Relatif sezyum kaybı ise  $Y = \frac{X}{100}$  olduğuna göre

denklem (4.8) aşağıdaki gibi tekrar yazılır.

$$E_R = -\frac{10}{t-1963} h_0 \ln\left(1 - \frac{X}{100}\right) \quad (4.9)$$

Buna göre

$E_R$ : yıllık toprak kaybı ( $t \text{ ha}^{-1} \text{y}^{-1}$ )

$t$ : örnek toplanan yıl

$X$ : referans değerine göre örnekleme noktasındaki  $^{137}\text{Cs}$ 'un yüzde kaybı

$$X = \left[ \frac{A_{ref} - A}{A_{ref}} \right] \quad (4.10) \text{ olarak verilmiştir.}$$

Burada;

$A_{ref}$ : Referans noktasındaki  $^{137}\text{Cs}$  envanteri ( $\text{Bq m}^{-2}$ )

$A$  : Örnekleme noktasındaki toplam  $^{137}\text{Cs}$  envanteri ( $\text{Bq m}^{-2}$ )'dır.

Güney İtalya'nın Calabria bölgesindeki küçük bir havzada erozyon hızının ölçümünde profil dağılım modeli kullanılmıştır.  $^{137}\text{Cs}$  envanterlerinin erozyon bölgelerinde 19-2602  $\text{Bq m}^{-2}$  arasında, referans alanlarında ortalama 2609  $\text{Bq m}^{-2}$  olduğu gözlenmiştir. Profil dağılım modeli kullanılarak elde edilen erozyon hızları  $0.053\text{-}101.16 \text{ t ha}^{-1} \text{y}^{-1}$  arasında değişmektedir (Porto et al., 2001).

Güney-batı Nijerya'daki Miamey'in 60 km doğusunda yaz mevsimi boyunca güney-batı rüzgarları ile kısa süreli fırtına ve yoğun yağış görülmektedir. Bu durum materyal ve kıl kaybına neden olmaktadır. Bu nedenle bölgede erozyon hızını tayin etmek için Zhang ve arkadaşları tarafından geliştirilerek kullanılan profil dağılım modeli ile örnekleme bölgelerinde  $^{137}\text{Cs}$  envanteri  $943\pm68\text{-}4129\pm558$  arasında bulunurken referans alanlarında ortalama  $2066\pm125 \text{ Bq m}^{-2}$  olarak

bulunmuştur. Net erozyon hızı  $8.3 \pm 0.7 - 44.1 \pm 4.1 \text{ t ha}^{-1}\text{y}^{-1}$  arasında ve net depozisyon hızı ise  $3.5 \pm 0.2 - 5.9 \pm 0.9 \text{ t ha}^{-1}\text{y}^{-1}$  arasında bulunmuştur (Chappell, 1999).

### Kütlesel Denge Modeli (*Mass Balance Model*)

Tarım yapılan ve yapılmayan alanlarda kullanımbilen ve Walling ve Quine tarafından geliştirilen kütlesel denge modeli aşağıdaki şekildedir:

$$\frac{dA(t)}{dt} = I(t) - \left( \lambda + \frac{R}{d} \right) A(t) \quad (4.11)$$

Burada;

$A(t)$ : Birim zamanda birim alanda biriken  $^{137}\text{Cs}$  aktivitesi ( $\text{Bq.m}^{-2}$ )

$t$ :  $^{137}\text{Cs}$ 'un dağılımının başlangıcından itibaren geçen süre (yıl)

$R$ : erozyon hızı ( $\text{kg.m}^{-2}\text{y}^{-1}$ )

$d$ : ortalama pulluk derinliği ( $\text{kg m}^{-2}$ )

$\lambda$ :  $^{137}\text{Cs}$ 'nin bozunma sabiti ( $\text{y}^{-1}$ )

$I(t)$ :  $\Delta t$  zaman aralığındaki  $^{137}\text{Cs}$  depozisyon akısı ( $\text{Bq m}^{-2}\text{y}^{-1}$ ) (Walling and He, 1999b).

Erozyon çalışmalarında kütlesel denge modeli kullanılarak (denklem 4.11) bölgeye ait bir çok parametreyi içine alacak şekilde geliştirilmiş kütlesel denge modeli (Refined Mass Balance Model) elde edilmiştir. Kullanılan ifade aşağıda verilmiştir.

$$\frac{dA(t)}{dt} = (1 - \Gamma)I(t) - \left( \lambda + P \frac{R}{d} \right) A(t) \quad (4.12)$$

**Burada;**

$\lambda$ :  $^{137}\text{Cs}$  bozunma sabiti

$\Gamma$ :  $\Gamma$ 'nin büyüklüğünü belirlemek için, yerel yağış rejimine,  $^{137}\text{Cs}$ 'un yüzey toprağındaki ilk dağılımına, toprağın sürülmeye zamanına ve bunu içeren erozyon sürecine gerek vardır.

P: Tanecik boyutu düzeltme faktörüdür

R erozyon hızı için denklem (25)'in çözümü;

$$R = \frac{I - \lambda A}{AH + \gamma d} \frac{dH}{P\Delta t} \quad (4.13)$$

şeklinde elde edilir.

**Burada;**

H: releksasyon kütle derinliği

$\gamma$ : Toprağı işleme zamanına ve yağış rejimine bağlı parametredir.

$^{137}\text{Cs}$ 'un depozisyon akısı I(t) atmosferik silah denemeleri sonucunda meydana gelen depozisyona bağlı olduğu için, model ile belirlenen erozyon hızı ile  $^{137}\text{Cs}$  envanteri arasındaki ilişki d, H,  $\gamma$  ve P parametrelerine bağlıdır (Walling and He, 1999b).

## **5. ÇALIŞMA ALANININ GENEL ÖZELLİKLERİ**

Yatağan havzasının genel özelliklerini kapsamında çalışma alanının fiziksel özelliklerinden coğrafik konumu, jeolojik yapısı, taksonomik toprak birimleri ve iklim özellikleri incelenmiştir.

### **5.1. Araştırma Yeri ve Coğrafik Konumu**

Muğla ilinin yaklaşık 20 km kuzeybatısında yer alan çalışma alanı; Yatağan ilçesine bağlı Yeniköy, Şahinler, Kapıbağ Bozhüyük, Gökpınar, Bahçekaya, Madanlar, Bozarmut, Akgedik köylerinin çevrelediği arazilerini içermektedir. Bu alan Doğu-Kuzeybatı yönünde konumlanmış bir havza görünümünde olup  $37^{\circ} 15' 00''$  ve  $37^{\circ} 22' 00''$  Kuzey enlemleri ile  $28^{\circ} 05' 00''$  ve  $28^{\circ} 14' 00''$  Doğu boylamları arasında yer almaktadır ve kuzeyinde Yatağan ilçesi, Güneyinde ise Muğla ili bulunmaktadır. Havzanın Kuzeybatısında 718 m yükseltili Yatağan tepe, Batosunda 507 m yükseltili Peynirli tepe, 493m yükseltili Kırtas tepe ve 732 m yükseltili Kocadüz dağı tepe, Doğusunda 611 m yükseltili Kuruağacasarı tepe, 737 m yükseltili Karadağ tepe ve 567 m yükselti ile Göktepe bulunmaktadır.

Araştırma alanının Batı bölgeleri dik eğimli (%30+) dağlık bölgeler ile kuru dere veya yan derelerce taşınmış birikimlerden oluşmuş hafif eğimli etekler ya da düz arazileri içermektedir. Doğu bölgelerde ise orta ve dik eğimli (%15+) dağlık alanlar yer alır. Genelde havzada çevresindeki dağlık alanlardan taşınan alluvium-koluvium özdeklerece oluşturulan kolluvial ve alluvial oluşumlar gözlenir. Özellikle batı yönündeki dağların oldukça dik eğimli oluşu erozyon hızını arttırmış ve sonuçta küçük ve orta büyüklükteki alluvial fanların oluşumuna neden olmuştur. Havzanın orta bölümünde yer alan geniş alluvial düzlik

çevredeki dağlık arazilerden taşınan özdeklerce oluşturulmuştur. Havzanın kuzeyi Taşyolu Boğazı ile Çine Havzasına, güneyde Muğla ovasıının geniş alluvial düzüğünə açılmaktadır ve en önemli boşaltım alanı ise Kuzeybatıda Yatağan tepenin eteğinden geçen Bencik deresi ile sağlanır. Araştırma alanının kuzeyi ve batısı dik eğim içeren kretase kalker ve şist özellikli kayalardan oluşan tepelerle sınırlanırken, Doğu yönü orta- dik eğim içeren marn özellikli kayaçlardan oluşmaktadır.

## 5.2. Jeoloji ve Petrografi

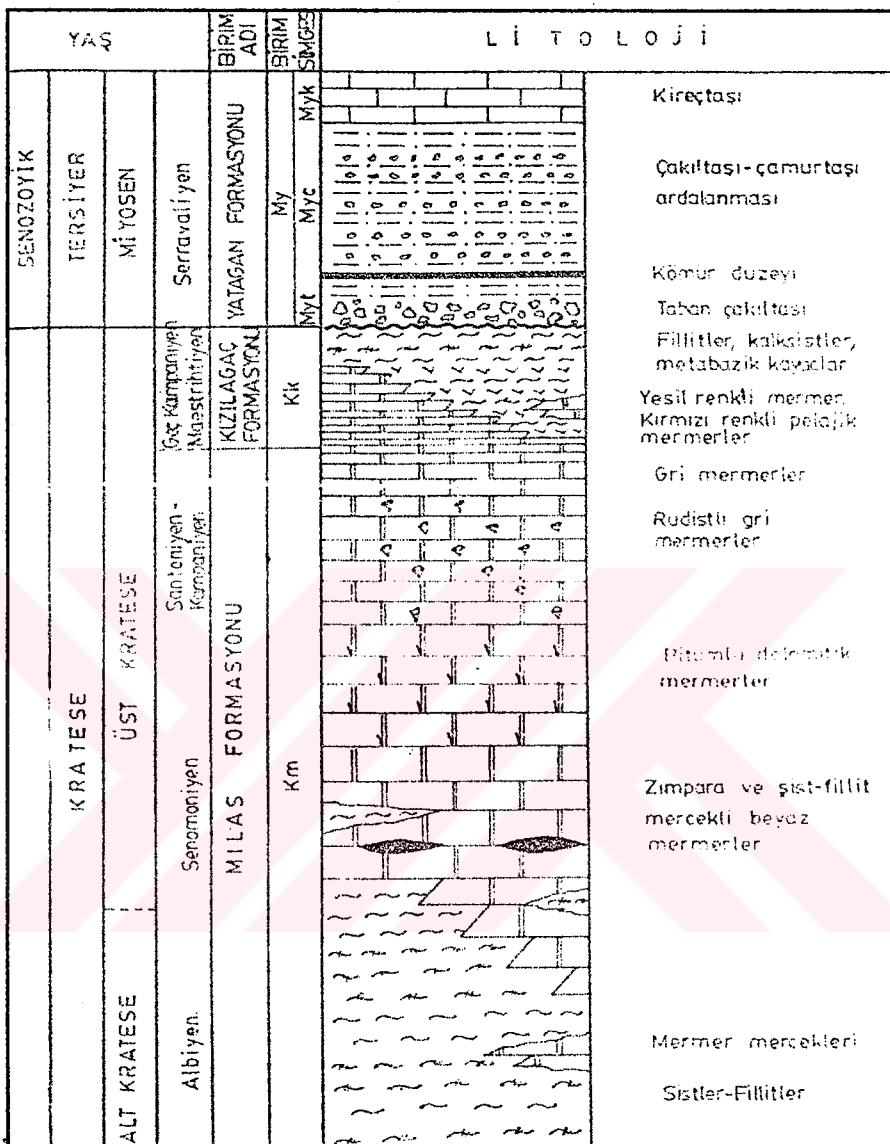
Araştırma alanı kuzeyinde Menderes masifinin çekirdeği olarak kabul edilen gnayalar yer almaktadır. Gnayalar, şistler (Granat şist, biotit şist, kuvarsşist vb.) ile mermeler örter. Bölgede jeolojik olarak, metamorfik bir taban üzerine (çekirdek gnayaların üzerine) muhtemelen bu zaman aralığından sonra detritik olarak şeyl, kumtaşı, arkoz ve kireçtaşının çökelimi oluşurken, bunun üzerine de karbonatlı tortul yoğunlaşmıştır. Çalışma alanını da içeren bu seri Paleozoyik ve Mesozoyik başlarında çökelmiş (Başarır, 1970) ve Jurada reyjonal metamorfizmaya uğramıştır. Metamorfik kütler ileri zaman süreçlerinde diapirik olarak yükselirken, örtü tabakaları birbirlerinin üzerinden kayarak 50-60 dereceye varan eğimli bir görünüm almıştır.

Çalışma alanı muskovit kuvars şist, muskovit-kuvars fillit içeren mermeler ile genç totullardan oluşmuştur. Metamorfik birimler birbirleriyle uyumlu olup KD-GB doğrultulu ve GD'ya eğimlidirler. Genel yapıdaki pililenmeler göz önüne alındığında, çalışma alanındaki mermelerde bulunan senkinal eksenlerinin KD-GB doğrultulu olduğu söylenebilir.

Arazide, en alta Albiyen-Santoniyen-Kampaniyen yaşılı Milas formasyonu gözlenirken, bu formasyon, birbirleri ile yanal ve düşey geçişler gösteren şist-filit ve platform tipi mermerlerden meydana gelmiştir. Şist-filitler içerisinde mermer mercekleri gözlenir. Platform tipi mermerler alttan üste doğru, zimpara mercekli beyaz mermerler, bitümlü dolomitik mermerler, rudistli gri mermerler ve fosilsiz gri mermer dağılımı gösterirler. Milas formasyonu'nda yoğun olarak rastlanılan kırıntıların ve rudistlerin varlığı, yüzeysel denizel bir ortamda böyle bir çökelmanın meydana geldiğini kanıtlar. Zimpara mercekleri, yer yer karasal ortama geçişini gösterir

Milas formasyonu'nun üzerine, geçişli bir dokanakla, Geç Kampaniyen-Maestrihiyen yaşılı olduğu düşünülen Kızılağaç Formasyonu gelir. Formasyon, kırmızı renkli pelajik mermerler, kalkşist, filit ve metabazik kayaçlardan yapılmıştır. Formasyonun, litolojik içeriği, denizaltı volkanizmasının yer yer geliştiği derin denizsel bir ortamda çökeldiğini gösterir (Şekil 5.1).

Çalışma alanında tüm birimleri, açısal uyumsuzlukla, Orta Miyosen Sonu yaşılı Yatağan formasyonu örter. Formasyonda, alttan üstte doğru, taban çakıl taşı, kömürüç çakıltaşçı-çamurtaşçı ve kireçtaşçı ayırtlanmıştır. Formasyonun kömür içermesi karasal/gölsel bir ortamda çökeldiğini kanıtlar (Başarır, 1970).



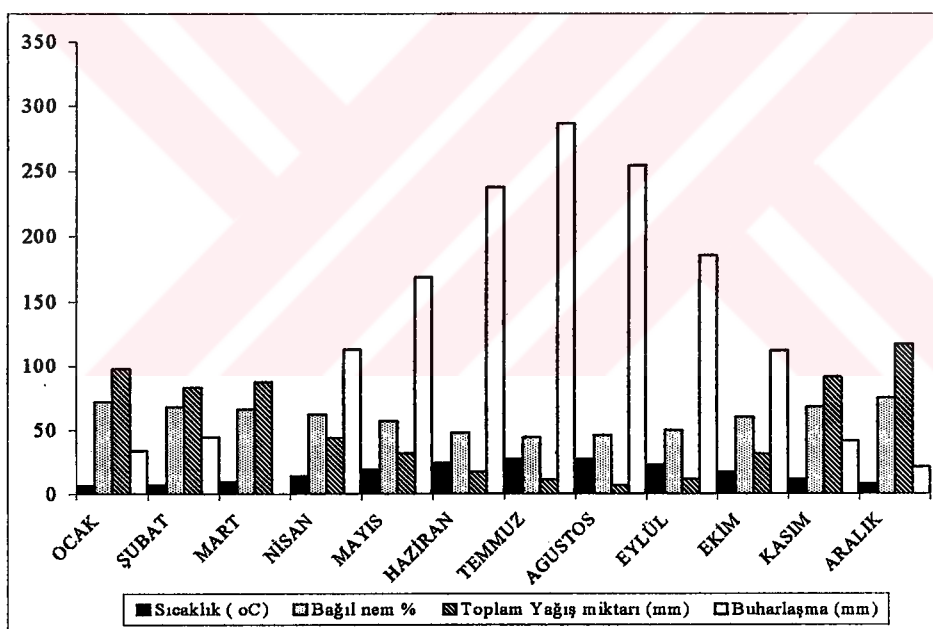
Şekil 5.1. Çalışma alanının stratigrafisi (Başanır'dan, 1970).

### 5.3. İklim

Çalışma alanı olan Yatağan ilçesi, yazları sıcak ve kurak, kışları ise ılık ve yağışlı Akdeniz iklim tipine girer. Yapılan son 20 yıllık gözlem verilerine göre, yörede en fazla yağış Aralık ayında 117.2 mm, en

düşük Ağustos ayında 6.8 mm saptanırken yıllık ortalama yağış toplamı 630.2 mm olarak belirlenmiştir. En yüksek sıcaklık ortalaması Temmuz ayında  $27.4^{\circ}\text{C}$ , en düşük sıcaklık ortalaması Ocak ayında  $6.6^{\circ}\text{C}$ , yıllık ortalama sıcaklık  $16.2^{\circ}\text{C}$  olarak hesaplanmıştır. En yüksek buharlaşma ortalaması Temmuz ayında 286.5 mm, en düşük Mart ayında 0.0 mm, ortalama yıllık bağıl nem % 59, en yüksek Ocak ayında %75.0, en düşük ise Temmuz ayında % 44.0 olarak belirlenmiştir (Şekil 5.2).

Yatağan ilçesi meteoroloji istasyonundan (Enlem: $37^{\circ}27'K$ , Boylam: $28^{\circ}08'D$ , Rakım:365m) alınan sayısal iklim verileri Çizelge 5 1'de gösterilmiştir (Meteoroloji Bölge Müdürlüğü, 2002).



Şekil 5.2. Muğla ili, Yatağan ilçesi çok yıllık yağış (mm), sıcaklık ( $^{\circ}\text{C}$ ) ve bağıl nem (%) aylık gözlem diyagramı.

**Çizelge 5.1. Yatağan İncesı Meteoroloji İstasyonunun 1980-2000 Yılları Arası Ortalama Aylık ve Yıllık Sonuçları**

Meteorolojik Elemanlar	I	II	III	IV	V	VI	VII	VIII	IX	X	XI	XII	Yıl
Yerel Basınç (hPa)	973.8	972.7	971.2	970.4	970.4	968.9	966.4	967.5	970.6	973.5	974.2	974.1	971.1
Sıcaklık (°C)	6.6	7.1	9.6	14.0	18.9	24.1	27.4	26.9	22.6	17.1	11.5	8.1	16.2
Buhar Basıncı (hPa)	7.2	7.0	7.7	9.4	11.7	13.4	15.1	15.3	12.9	11.1	9.3	8.4	10.7
Bağılı Nem %	72.0	68.0	66.0	62.0	57.0	48.0	44.0	46.0	50.0	60.0	68.0	75.0	59.0
Toplam Yağış (mm)	97.9	83.3	87.5	43.8	31.7	17.0	10.9	6.8	11.8	31.0	91.3	117.2	630.2*
Rüzgar Hızı (m/s)	1.8	2.2	2.1	2.0	1.8	1.9	2.0	1.7	1.7	1.6	1.9	1.9	1.9
En Hızlı Esen Rüz. Yönü	NNW	ESE	ENE	SE	E	WSW	N	NE	WNW	SW	WSW	SE	ESE
5 cm Toprak Sıcaklığı (°C)	24.2	24.8	22.8	24.3	24.6	18.3	17.7	18.3	18.2	15.7	19.8	24.5	24.8
10cm Toprak Sıcaklığı (°C)	6.0	7.2	10.7	16.3	22.1	27.6	31.3	31.2	26.2	18.8	11.2	7.5	18.0
20cm Toprak Sıcaklığı (°C)	6.4	7.5	11.0	16.2	21.8	26.8	30.1	30.4	26.2	19.3	11.9	8.1	18.0
50cm Toprak Sıcaklığı (°C)	7.0	7.7	10.8	15.6	20.8	25.6	28.9	29.1	25.7	19.6	12.6	8.7	17.7
100cm Toprak Sıcaklığı (°C)	10.5	10.5	12.5	16.4	20.9	25.3	28.7	29.6	27.4	22.9	16.9	12.7	19.5
Buharlaşma (mm)	33.8	44.6	0.0	112.6	168.9	237.8	286.5	254.5	185.4	112.2	41.3	21.0	1498.6*

\*:Toplam Değerler

## **6. MATERİYAL ve YÖNTEM**

Bu çalışmada Muğla ili Yatağan ilçesi havzası içinde yapılan arazi çalışmaları ile ayrımlı fizyografik konum ve eğimdeki alanlardan pedonla açılarak örneklemeler yapılmıştır. Alınan örneklerde  $^{137}\text{Cs}$  birikimilerinin derinliğe bağlı değişimleri incelenmiştir. Araştırma alanı toprakları fizyografyalara, ana özdeklerine ve pedogenetik özelliklerine göre taksonomik olarak sınıflandırılmıştır.

### **6.1 Materyal**

Araştırma materyalini Yatağan havzasını çevreleyen Yatağan tepe, Peynirli tepe, Kırtas tepe, Ürmez tepe ve Kayışalan tepe alanlarının ayrımlı yükselti ve eğimlerinde dağılım gösteren topraklar oluşturmuştur.

Çalışmada ana materyal olarak kretase kalker ya da marn ana özdek üzerinde dik-orta dik eğimli topografik konumda oluşum gösteren Mollisoller, yan derelerin ve gravitasyonun etkisi ile taşınıp biriktirilen orta-kaba bünyeli alüvyal depozitler üzerindeki Entisoller, eğimli topografya üzerinde şist, kretase kalker ana özdekleri üzerinde oluşum gösteren Alfisoller ile Entisol sırası toprakları kullanılmıştır.

Çalışma alanı çevreleyen erozyonun başat olarak gözlendiği 5 tepenin doruk, sırt, yamaç ve etek bölgeleri ile düz, düzeye yakın alanlardan toplam 31 pedon açılmış ve ayrımlı tabaka ve horizonlardan 77 adet toprak ve ana özdek örneği alınmıştır.

Örnekleme sürecinde arazide doğrudan gözlenen ve saptanan renk, doku (bünye), yapışkanlık, plastiklik, yapı (stürüktür), organik madde ve bitki kök dağılımı, böcek aktivitesi izleri, konkresyonlar, gözenekler, kil pedleri, kireç konkresyonları, kayma yüzeyleri gibi toprağa ait özellikler ile örnekleme yeri, denizden yükseklik, arazi tipi, rölyef, arazi şekli, ana

özdek, erozyon, taşlılık, kayalık sınıfı, drenaj durumu, şimdiki arazi kullanım şekli, doğal bitki deseni ve yoğunluğu arazi kullanım yetenek sınıfı gibi doğal ögeler aşağıdaki şekilde tanımlanmıştır.

### **Yatağan tepe pedon tanımlamaları**

Pedon no	: N1
Koordinat	: 37°21'55"N 28°08'03" E
Yeri	: Yatağan Tepenin Doruğu
Denizden yüksekliği	: 700 m
Arazi tipi	: Dağlık
Rölyef	: Yamaç
Arazi şekli	: Doğrusal dik ( %20 )
Ana özdek	: Kretase Kalker
Erozyon sınıfı	: 4
Taşlılık sınıfı	: 3
Kayalık sınıfı	: 4
Drenaj koşulu	: İyi
Arazi kullanım şekli	: Terk edilmiş arazi
Bitki örtüsü	: Seyrek maki funda, Kermes meşesi (Quercus coccifera)
Arazi kullanım yetenek sınıfı : VII	
Sıra	: Alfisol
Alt sıra	: Xeralf
Büyük grup	: Rhodoxeralf
Alt grup	: Lithic Rhodoxeralf
Haritalama birimi	: Erozyona açık alan

Horizonlar ve derinlikleri (cm) Pedon tanımlamaları

- A (0-4) Kuru iken (10 YR 5/4) kırmızımsı kahverengi, ıslak iken (5 YR 2/2) koyu kırmızımsı kahverengi; kumlu tın; ıslak iken az yapışkan az plastik, kuru iken hafif sert; orta,orta granüler; HCl ile çok şiddetli köpürme; 0,5-1 cm arasında kalker parçaları ; yoğun ince saçak kökler; kesin geçişli sınır.
- Bt (4-29) Kuru iken (5 YR 5/4) kırmızımsı kahverengi, ıslak iken (5 YR 3/3) koyu kırmızımsı kahverengi; tın; ıslak iken plastik, yapışkan, kuru iken sert; orta köşeli blok; HCl ile çok şiddetli köpürme; 5-10 cm arasında iri kalker parçaları; seyrek ince saçak bitki kökleri; kesin geçişli sınır.
- R (29+) Kretase kalker bloklar

Pedon no	: N2
Koordinat	: 37°21'55"N 28°08'03" E
Yeri	: Yatağan Tepenin Doruğu
Denizden yüksekliği	: 690 m
Arazi tipi	: Dağlık
Rölyef	: Yamaç
Arazi şekli	: Doğrusal dik yada çok dik eğim (%20)
Ana özdekk	: Kretase Kalker
Erozyon sınıfı	: 3
Taşlılık sınıfı	: 3
Kayalık sınıfı	: 3
Drenaj koşulu	: İyi
Arazi kullanım şekli	: Terk edilmiş arazi
Bitki örtüsü	: Quercus türleri, poterium spinosum

Arazi kullanım yetenek sınıfı : VII

Sıra : Alfisol

Alt sıra : Xeralf

Büyük grup : Rhodoxeralf

Alt grup : Typic Rhodoxeralf

Haritalama birimi : Erozyondan korunmuş alan

Horizonlar ve derinlikleri (cm) Pedon tanımlamaları

- Ah (0-4) Kuru iken (10 YR 3/3) koyu kahverengi, ıslak iken (10 YR 2/2) koyu kahverengi; kumlu tın; ıslak iken plastik değil, yapışkan değil, kuru iken yumuşak; HCl ile şiddetli köpürme; yarı ayrılmış veya ayrılmamış yapraklar; yoğun organik madde birikimi; 0,5-2 cm çaplı seyrek kalker parçaları; kesin geçişli sınır.
- Bt (4-9) Kuru iken (10 YR 4/3) kahverengi, ıslak iken (10 YR 2/2) koyu kahverengi; kumlu tın; ıslak iken az plastik, az yapışkan, kuru iken hafif sert; çok zayıf küçük granüler; HCl ile çok şiddetli köpürme; 1-3 cm çaplı kalker parçaları; çok yoğun saçak kök; kesin geçişli sınır.
- AC (9-18) Kuru iken (10 YR 5/3) kahverengi, ıslak iken (10 YR 3/3) koyu kahverengi; tın; ıslak iken plastik, yapışkan, kuru iken sert; orta-orta zayıf granüler; HCl ile şiddetli köpürme; 5-20 cm çaplı kalkerler; kesin geçişli sınır.

Pedon no : N3

Koordinat : 37°21'56",5 N 28°08'04" E

Yeri : Yatağan Tepe

Denizden yüksekliği : 675m

Arazi tipi	: Dağlık
Rölyef	: Yamaç
Arazi şekli	: Doğrusal dik yada çok dik eğim ( %35 )
Ana özdekk	: Kretase Kalker
Erozyon sınıfı	: 3
Taşlılık sınıfı	: 3
Kayalık sınıfı	: 3
Drenaj koşulu	: İyi
Arazi kullanım şekli	: Terk edilmiş arazi
Bitki örtüsü	: Seyrek maki funda

#### Arazi kullanım yetenek sınıfı : VII

Sıra	: Alfisol
Alt sıra	: Xeralf
Büyük grup	: Rhodoxeralf
Alt grup	: Lithic Rhodoxeralf
Haritalama birimi	: Erozyondan korunmuş alan

#### Horizonlar ve derinlikleri (cm)

#### Pedon tanımlamaları

- A (0-8) Kuru iken (.5 YR ¾) koyu kırmızımsı kahverengi, ıslak iken (.5 YR 2/2) koyu kırmızımsı kahverengi; tınlı; ıslak iken plastik, yapışkan, kuru iken sert; orta-orta granüler; HCl ile şiddetli köpürme; 1-5 cm çaplı yoğun kalker parçaları; orta yoğun ince saçak kökler; kesin geçişli sınır.
- Bt (8-10) Kuru iken (5 YR 4/4) kırmızımsı kahverengi, ıslak iken (5 YR 2/2) koyu kırmızımsı kahverengi; tınlı; ıslak iken çok plastik, çok yapışkan, kuru iken son derece sert; zayıf-orta blok ; HCl ile şiddetli köpürme; 5-20 cm arasında yoğun

kalker parçaları; kesin geçişli sınır.

**R (10+) Kretase kalker bloklar**

Pedon no	: N4
Koordinat	: $37^{\circ}21'55'',5$ N $28^{\circ}08'04''$ E
Yeri	: Yatağan Tepe
Denizden yüksekliği	: 675 m
Arazi tipi	: Dağlık
Rölyef	: Yamaç
Arazi şekli	: Doğrusal dik yada çok dik eğim (%35)
Ana özdeğ	: Kretase kalker
Erozyon sınıfı	: 3
Taşlılık sınıfı	: 3
Kayalık sınıfı	: 3
Drenaj koşulu	: İyi
Arazi kullanım şekli	: Terk edilmiş arazi
Bitki örtüsü	: Yoğun maki funda
Arazi kullanım yetenek sınıfı : VII	
Sıra	: Alfisol
Alt sıra	: Xeralf
Büyük grup	: Rhodoxeralf
Alt grup	: Lithic Rhodoxeralf
Haritalama birimi	: Erozyona açık alan

Horizonlar ve derinlikleri (cm)

Pedon tanımlamaları

**A (0-6) Kuru iken (5 YR 4/2) koyu kırmızımsı gri, ıslak iken (10 YR 2/2) koyu kırmızımsı kahverengi; tınlı; ıslak iken az plastik,**

az yapışkan, kuru iken hafif sert; orta-orta granüler; HCl ile çok şiddetli köpürme; yoğun organik madde birikimi; kesin geçişli sınır.

- Bt (6-10) Kuru iken (5 YR 4/4) kırmızımsı kahverengi, ıslak iken (10YR 3/4) koyu kırmızımsı kahverengi; tıñ; ıslak iken çok plastik, çok yapışkan, kuru iken son derece sert; zayıf köşeli blok; HCl ile şiddetli köpürme; kesin geçişli sınır.

R (10 +) Kretase kalker bloklar

## R (10+) Kretase kalkar bloklar

Pedon no	: N5
Koordinat	: 37°21'56" N 28°08'05" E
Yeri	: Yatağan Tepe
Denizden yüksekliği	: 650 m
Arazi tipi	: Dağlık
Rölyef	: Yamaç
Arazi şekli	: Doğrusal dik yada çok dik eğim ( %20 )
Ana özdek	: Kretase Kalker
Erozyon sınıfı	: 3
Taşlılık sınıfı	: 3
Kayalık sınıfı	: 3
Drenaj koşulu	: İyi
Arazi kullanım şekli	: Terk edilmiş arazi
Bitki örtüsü	: Orta yoğun gramineae ve Quercus türleri
Arazi kullanım yetenek sınıfı	: VII
Sıra	: Alfisol
Alt sıra	: Xeralf
Büyük grup	: Rhodoxeralf

Alt grup : Lithic Rhodoxeralf

Haritalama birimi : Erozyona açık alan

Horizonlar ve derinlikleri (cm) Pedon tanımlamaları

A (0-8) Kuru iken (7.5 YR 4/4) kahverengi, ıslak iken (7.5 YR 3/2) koyu kahverengi; kumlu tın; ıslak iken plastik, yapışkan, kuru iken sert; HCl ile çok fazla şiddetli köpürme; kesin geçişli sınır.

R (8+) Kretase kalker bloklar.

Pedon no : N 6

Koordinat : 37°21'57" N 28°08'06" E

Yeri : Yatağan Tepe

Denizden yüksekliği : 625 m

Arazi tipi : Dağlık

Rölyef : Yamaç

Arazi şekli : Doğrusal dik yada çok dik eğim (%25)

Ana özdekk : Kretase Kalker

Erozyon sınıfı : 2

Taşlılık sınıfı : 3

Kayalık sınıfı : 3

Drenaj koşulu : İyi

Arazi kullanım şekli : Terk edilmiş arazi

Bitki örtüsü : Yoğun maki funda

Arazi kullanım yetenek sınıfı : VI

Sıra : Entisol

Alt sıra : Orthent

Büyük grup : Xerorthent

Alt grup : Lithic Xerorthent

<b>Haritalama birimi</b>	: Erozyondan korunmuş alan
<b>Horizonlar ve derinlikleri (cm)</b>	<b>Pedon tanımlamaları</b>
A (0-10)	Kuru iken (5 YR 4/3) kırmızımsı kahverengi, ıslak iken (5 YR 2/2) koyu kırmızımsı kahverengi; tınlı; ıslak iken plastik, yapışkan, kuru iken sert; HCl ile orta şiddetli köpürme; kesin geçişli sınır.
AC(10-20)	Kuru iken (5 YR 3/3) koyu kırmızımsı kahverengi, ıslak iken (5 YR 2/2) koyu kırmızımsı kahverengi; tınlı; ıslak iken az plastik, az yapışkan, kuru iken hafif sert; HCl ile orta şiddetli köpürme; kesin geçişli sınır.
R (22+)	Kretase kalker bloklar.

<b>Pedon no</b>	: N7
<b>Koordinat</b>	: 37°21'55" N 28°08'07" E
<b>Yeri</b>	: Yatağan Tepe
<b>Denizden yüksekliği</b>	: 600 m
<b>Arazi tipi</b>	: Dağlık
<b>Rölyef</b>	: Yamaç
<b>Arazi şekli</b>	: Doğrusal dik eğim (% 20)
<b>Ana özdek</b>	: Kretase Kalker
<b>Erozyon sınıfı</b>	: 2
<b>Taşlılık sınıfı</b>	: 3
<b>Kayalık sınıfı</b>	: 2
<b>Drenaj koşulu</b>	: İyi
<b>Arazi kullanım şekli</b>	: Terk edilmiş arazi
<b>Bitki örtüsü</b>	: Yoğun maki funda
<b>Arazi kullanım yetenek sınıfı</b>	: VII

Sıra	: Entisol
Alt sıra	: Orthent
Büyük grup	: Xerorthent
Alt grup	: Lithic Xerorthent
Haritalama birimi	: Erozyondan korunmuş alan
<u>Horizonlar ve derinlikleri (cm)</u>	<u>Pedon tanımlamaları</u>
A (0-15)	Kuru iken (5 YR 3/4) koyu kırmızımsı kahverengi, ıslak iken (5 YR 2/2) koyu kırmızımsı kahverengi; tınlı; ıslak iken çok plastik, çok yapışkan, kuru iken son derece sert; HCl ile şiddetli köpürme; 0-15 cm arasında çok yoğun kalker parçaları; kesin geçişli sınır.
AC (15-21)	Kuru iken (5 YR 4/4) kırmızımsı kahverengi, ıslak iken (5 YR 3/4) koyu kırmızımsı kahverengi; killi tınlı; ıslak iken çok plastik, çok yapışkan, kuru iken son derece sert; kuvvetli, orta granüler; HCl ile çok şiddetli köpürme; 15-21 cm arasında çok yoğun kalker parçaları; kesin geçişli sınır.
R (21+)	Kretase kalker bloklar.

Pedon no	: N8
Koordinat	: 37°21'53" N 28°08'07" E
Yeri	: Yatağan Tepe
Denizden yüksekliği	: 600 m
Arazi tipi	: Dağlık
Rölyef	: Yamaç
Arazi şekli	: Doğrusal dik yada çok dik eğim (Makineli sınırların sonu )
Ana özdek	: Kretase Kalker

Erozyon sınıfı	: 2
Taşlılık sınıfı	: 2
Kayalık sınıfı	: 2
Drenaj koşulu	: İyi
Arazi kullanım şekli	: Terk edilmiş arazi
Bitki örtüsü	: Yoğun maki funda sınırının sonu
Arazi kullanım yetenek sınıfı : VI	
Sıra	: Entisol
Alt sıra	: Orthent
Büyük grup	: Xerorthent
Alt grup	: Typic Xerorthent
Haritalama birimi	: Erozyona açık alan

Horizonlar ve derinlikleri (cm) Pedon tanımlamaları

- A (0-8) Kuru iken (5 YR 4/3) kırmızımsı kahverengi, ıslak iken (5 YR 3/3) koyu kırmızımsı kahverengi; tınlı; ıslak iken çok plastik, çok yapışkan, kuru iken son derece sert; HCl ile orta şiddette köpürme; kesin geçişli sınır.
- AC (8-24) Kuru iken (5 YR 3/3) koyu kırmızımsı kahverengi, ıslak iken (5 YR 2/2) koyu kırmızımsı kahverengi; killi tınlı; ıslak iken çok plastik, çok yapışkan, kuru iken son derece sert; HCl ile çok fazla şiddetli köpürme; kesin geçişli sınır.
- R (24+) Kretase kalker bloklar.

### **Peynirli tepe pedon tanımlamaları**

Pedon no	: N9
Koordinat	: $37^{\circ}18'35''$ N $28^{\circ}06'18''$ E
Yeri	: Peynirli tepe
Denizden yüksekliği	: 410m
Arazi tipi	: Dağlık
Rölyef	: Yamaç
Arazi şekli	: Doğrusal dik yada çok dik eğim (%27)
Ana özdek	: Fliş, Kretase Kalker
Erozyon sınıfı	: 3
Taşlılık sınıfı	: 3
Kayalık sınıfı	: 1
Drenaj koşulu	: İyi
Arazi kullanım şekli	: Terk edilmiş arazi
Bitki örtüsü	: Yoğun maki funda ve Quercus türleri
Arazi kullanım yetenek sınıfı	: VII
Sıra	: Entisol
Alt sıra	: Orthent
Büyük grup	: Xerorthent
Alt grup	: Typic Xerorthent
Haritalama birimi	: Erozyondan korunmuş alan
<u>Horizonlar ve derinlikleri (cm)</u>	<u>Pedon tanımlamaları</u>

A (0-13)      Kuru iken (10 YR 5/4) sarımsı kahverengi, ıslak iken (10 YR 3/4) koyu sarımsı kahverengi; tınlı; ıslak iken çok plastik, çok yapışkan, kuru iken son derece sert; HCl ile orta şiddetli köpürme; 0.2-0.7 cm çaplarında orta yoğun

çakıl; ince saçak kökler; kesin geçişli sınır.

- AC (13-24)** Kuru iken (10 YR 5/3) kahverengi, ıslak iken (10 YR 3/3) koyu kahverengi; tıñ; ıslak iken çok plastik, çok yapışkan, kuru iken son derece sert; HCl ile orta şiddetli köpürme; 0.7-2.5 cm arasında yarı ayrılmış yoğun şist ve kalker kökenli çakıl parçaları; kök aktivitesi yok; kesin geçişli sınır.

C (24+) Parçalanmış ana özdeş

Pedon no	: N10
Koordinat	: 37°18'35" N 28°06'18" E
Yeri	: Peynirli tepe
Denizden yüksekliği	: 410 m
Arazi tipi	: Dağlık
Rölyef	: Yamaç
Arazi şekli	: Doğrusal dik ya da çok dik eğim (%27)
Ana özdekk	: Fliş, Kretase Kalker
Erozyon sınıfı	: 3
Taşlılık sınıfı	: 3
Kayalık sınıfı	: 1
Drenaj koşulu	: İyi
Arazi kullanım şekli	: Terk edilmiş arazi
Bitki örtüsü	: Yoğun maki funda, Quercus, pinus türleri
Arazi kullanım yetenek sınıfı	: VII
Sıra	: Entisol
Alt sıra	: Orthent
Büyük grup	: Xerorthent

<b>Alt grup</b>	: Lithic Xerorthent
<b>Haritalama birimi</b>	: Erozyona açık alan
<b>Horizonlar ve derinlikleri (cm)</b>	<b>Pedon tanımlamaları</b>
<b>A (0-12)</b>	Kuru iken (7.5 YR 5/2) kahverengi, ıslak iken (7.5 YR 3/2) koyu kahverengi; tııı; ıslak iken plastik, yapışkan, kuru iken sert; HCl ile çok şiddetli köpürme; yoğun ince saçak kökler; yoğun organik madde birikimi kesin geçişli sınır.
<b>AC (12-18)</b>	Çok yoğun kalker şist parçaları.
<b>C (18+)</b>	Şist ana özdek

<b>Pedon no</b>	: N11
<b>Koordinat</b>	: 37°18'36" N 28°06'19" E
<b>Yeri</b>	: Peynirli tepe
<b>Denizden yüksekliği</b>	: 390 m
<b>Arazi tipi</b>	: Dağlık
<b>Rölyef</b>	: Yamaç
<b>Arazi şekli</b>	: Doğrusal dik yada çok dik eğim ( %20 )
<b>Ana özdek</b>	: Fliş, Kretase Kalker
<b>Erozyon sınıfı</b>	: 3
<b>Taşlılık sınıfı</b>	: 2
<b>Kayalık sınıfı</b>	: 1
<b>Drenaj koşulu</b>	: İyi
<b>Arazi kullanım şekli</b>	: Terk edilmiş arazi
<b>Bitki örtüsü</b>	: Yoğun maki funda
<b>Arazi kullanım yetenek sınıfı</b>	: VII
<b>Sıra</b>	: Entisol

Alt sıra	: Orthent
Büyük grup	: Xerorthent
Alt grup	: Lithic Xerorthent
Haritalama birimi	: Erozyona açık alan

Horizonlar ve derinlikleri (cm) Pedon tanımlamaları

- A (0-8) Kuru iken (10 YR 5/2)grimsi kahverengi, ıslak iken (10 YR 3/2) koyu grimsi kahverengi; kumlu tın; ıslak iken az plastik, az yapışkan,
- C (8-12) Kuru iken hafif sert; HCl ile çok şiddetli köpürme; 0.5-1 cm çaplarında; orta yoğun ,yoğunluklu kalker kökenli taş parçacıkları; kesin geçişli sınır.
- C (12+) Çok yoğun kalker ve şist parçaları  
Şist ana özdekk

Pedon no	: N12
Koordinat	: 37°18'35"N 28°06'21"E
Yeri	: Peynirli tepe
Denizden yüksekliği	: 380 m
Arazi tipi	: Dağlık
Rölyef	: Yamaç
Arazi şekli	: Doğrusal dik (%5)
Ana özdekk	: Fliş, Kretase Kalker
Erozyon sınıfı	: 3
Taşlılık sınıfı	: 2
Kayalık sınıfı	: 1
Drenaj koşulu	: İyi
Arazi kullanım şekli	: Terk edilmiş arazi

**Bitki örtüsü** : Yoğun maki funda

**Arazi kullanım yetenek sınıfı** : VII

**Sıra** : Entisol

**Alt sıra** : Orthent

**Büyük grup** : Xerorthent

**Alt grup** : Typic Xerorthent

**Haritalama birimi** : Erozyondan korunmuş alan

**Horizonlar ve derinlikleri (cm)** **Pedon tanımlamaları**

- A (0-12)** Kuru iken (10 YR 5/3) kahverengi, ıslak iken (10 YR 3/3) koyu kahverengi; kumlu tın; ıslak iken plastik değil, yapışkan değil, kuru iken yumuşak; HCl ile çok şiddetli; 0.2-0.5 cm çaplarında küçük taş parçacıkları; çok zayıf küçük granüller; yoğun ince saçak kökler; çok seyrek böcek aktivitesi izleri; kesin geçişli sınır.
- C1(12-20)** Kuru iken (10 YR 5/3) kahverengi, ıslak iken (10 YR 3/3) koyu kahverengi; kumlu tın; ıslak iken az plastik, az yapışkan, kuru iken hafif sert; HCl ile çok şiddetli köpürme; 0.5-0.9 cm çaplarında orta yoğun yarı köşeli blok çakıl parçaları; kök aktivitesi yok; kesin geçişli sınır.
- C2(20-25)** Kuru iken (5 YR 4/4) kırmızımsı kahverengi, ıslak iken (5 YR 3/4) koyu kırmızımsı kahverengi; kumlu tın; ıslak iken az plastik, az yapışkan, kuru iken hafif sert; HCl ile çok şiddetli köpürme; parçalanmış blok şeklinde; 1-3 cm boylarında ana özdeksel parçaları.
- C3 (32+)** Kretase kalker

### Kırtaş tepe pedon tanımlamaları

Pedon no	: N13
Koordinat	: $37^{\circ}17'32''$ N $28^{\circ}08'54''$ E
Yeri	: Kırtaş tepe (Alt)
Denizden yüksekliği	: 375 m
Arazi tipi	: Dağlık
Rölyef	: Yamaç
Arazi şekli	: Doğrusal dik (%4)
Ana özdekk	: Kretase Kalker
Erozyon sınıfı	: 3
Taşlılık sınıfı	: 2
Kayalık sınıfı	: 3
Drenaj koşulu	: İyi
Arazi kullanım şekli	: Terk edilmiş arazi
Bitki örtüsü	: Yoğun maki funda

Arazi kullanım yetenek sınıfı : VII

Sıra	: Alfisol
Alt sıra	: Xeralf
Büyük grup	: Rhodoxeralf
Alt grup	: Typic Rhodoxeralf
Haritalama birimi	: Erozyondan korunmuş alan

Horizonlar ve derinlikleri (cm) Pedon tanımlamaları

A (0-10) Kuru iken (5 YR 4/4) kırmızımsı kahverengi, ıslak iken (5 YR ¾) koyu kırmızımsı kahverengi; tınlı; ıslak iken çok plastik, çok yapışkan, kuru iken son derece sert; kuvvetli küçük granüler; HCl ile şiddetli köpürme; kesin geçişli sınır.

**Bt (10-21)** Kuru iken (10 YR 5/3) kahverengi, ıslak iken (10 YR 3/3) koyu kahverengi; kumlu tın; ıslak iken çok plastik, çok yapışkan, kuru iken son derece sert; HCl ile çok şiddetli köpürme; kesin geçişli sınır.

**C (21-32)** Kuru iken (5 YR 4/6) sarımsı kırmızı, ıslak iken (5 YR 3/4) koyu kırmızımsı kahverengi; killi tın; ıslak iken çok plastik, çok yapışkan, kuru iken çok sert; HCl ile çok şiddetli köpürme; kesin geçişli sınır.

**R (32+)** Kretase kalker bloklar.

Pedon no	: N14
Koordinat	: 37°17'31" N 28°08'54 " E
Yeri	: Kırtas tepe (Orta)
Denizden yüksekliği	: 385 m
Arazi tipi	: Dağlık
Rölyef	: Yamaç
Arazi şekli	: Doğrusal dik yada çok dik eğim (%10)
Ana özdek	: Kretase Kalker
Erozyon sınıfı	: 3
Taşlılık sınıfı	: 2
Kayalık sınıfı	: 3
Drenaj koşulu	: İyi
Arazi kullanım şekli	: Terk edilmiş arazi
Bitki örtüsü	: Yoğun maki funda
Arazi kullanım yetenek sınıfı	: VII
Sıra	: Alfisol

Alt sıra	: Xeralf
Büyük grup	: Rhodoxeralf
Alt grup	: Lithic Rhodoxeralf
Haritalama birimi	: Erozyona açık alan

Horizonlar ve derinlikleri (cm) Pedon tanımlamaları

- Ah (0-6) Kuru iken (5 YR 4/4) kırmızımsı kahverengi, ıslak iken (5 YR 3/4) koyu kırmızımsı kahverengi; killi tııı; ıslak iken çok plastik, çok yapışkan, kuru iken son derece sert; HCl ile az şiddetli köpürme; toprak yüzeyinde 3-15 cm çaplarında çok yoğun kalker parçaları yoğun ince saçak kökler; zayıf küçük granüler stürütür; çok seyrek böcek aktivitesi izleri; yarı ayrılmış organik madde artıkları; kesin geçişli sınır.
- R (6+) Kretase kalker bloklar.

Pedon no	: N15
Koordinat	: 37°17'30" N 28°08'53" E
Yeri	: Kırtas tepe
Denizden yüksekliği	: 395 m
Arazi tipi	: Dağlık
Rölyef	: Yamaç
Arazi şekli	: Doğrusal dik yada çok dik eğim (%20)
Ana özdek	: Kretase Kalker
Erozyon sınıfı	: 2
Taşlılık sınıfı	: 1
Kayalık sınıfı	: 2
Drenaj koşulu	: İyi
Arazi kullanım şekli	: Yoğun maki funda

Bitki örtüsü	: Terk edilmiş arazi
Arazi kullanım yetenek sınıfı	: VII
Sıra	: Alfisol
Alt sıra	: Xeralf
Büyük grup	: Rhodoxeralf
Alt grup	: Lithic Rhodoxeralf
Haritalama birimi	: Erozyona açık alan

Horizonlar ve derinlikleri (cm) Pedon tanımlamaları

- A (0-6) Kuru iken (5 YR 4/4) kırmızımsı kahverengi, ıslak iken (5 YR 3/4) koyu kırmızımsı kahverengi; killi tın; ıslak iken çok plastik, çok yapışkan, kuru iken son derece sert; kuvvetli küçük granüler; HCl ile az şiddetli köpürme; kesin geçişli sınır.
- R (6+) Kretase kalker bloklar.

Pedon no	: N16
Koordinat	: 37°17'31"2 N 28°08'53"7 E
Yeri	: Kırtas tepe
Denizden yüksekliği	: 390 m
Arazi tipi	: Dağlık
Rölyef	: Yamaç
Arazi şekli	: Doğrusal dik yada çok dik eğim (%20)
Ana özdekk	: Kretase Kalker
Erozyon sınıfı	: 2
Taşlılık sınıfı	: 1
Kayalık sınıfı	: 1
Drenaj koşulu	: İyi
Arazi kullanım şekli	: Terk edilmiş arazi

Bitki örtüsü : Yoğun maki funda

Arazi kullanım yetenek sınıfı : VI

Sıra : Alfisol

Alt sıra : Xeralf

Büyük grup : Rhodoxeralf

Alt grup : Typic Rhodoxeralf

Haritalama birimi : Erozyondan korunmuş alan

Horizonlar ve derinlikleri (cm) Pedon tanımlamaları

A (0-10) Kuru iken (5 YR 5/6) sarımsı kırmızı, ıslak iken (5 YR 3/4) koyu kırmızımsı kahverengi; killi tın; ıslak iken çok plastik, çok yapışkan, kuru iken son derece sert; HCl ile az şiddetli köpürme; yoğun ince saçak kökler; çok yoğun organik madde; yarı ayrılmış bitki kök artıkları; orta küçük granüler stürüktür; orta yoğun böcek aktivitesi izleri; kalker ana özdek; kesin geçişli sınır.

Bt (10-22) Kuru iken (5 YR 4/4) kırmızımsı kahverengi, ıslak iken (10 YR 3/3) koyu kırmızımsı kahverengi; killi tın; ıslak iken çok plastik, çok yapışkan, kuru iken son derece sert; HCl ile az şiddetli köpürme; orta orta granüler stürüktür; çok seyrek saçak kök aktivitesi; seyrek böcek aktivitesi izleri; kesin geçişli sınır.

R (22+) Kretase kalker bloklar.

### **Ürnez tepe pedon tanımlamaları**

Pedon no	: N17
Koordinat	: $37^{\circ}18'47''$ N $28^{\circ}09'44''$ E
Yeri	: Ürnez tepe
Denizden yüksekliği	: 408m
Arazi tipi	: Dağlık
Rölyef	: Yamaç
Arazi şekli	: Doğrusal dik yada çok dik eğim (% 24)
Ana özdekk	: Marn
Erozyon sınıfı	: 2
Taşlılık sınıfı	: 1
Kayalık sınıfı	: -
Drenaj koşulu	: İyi
Arazi kullanım şekli	: Terk edilmiş arazi
Bitki örtüsü	: Yoğun maki funda
Arazi kullanım yetenek sınıfı : VI	
Sıra	: Mollisol
Alt sıra	: Rendoll
Büyük grup	: Rendoll
Alt grup	: Typic Rendoll
Haritalama birimi	: Erozyondan korunmuş alan

#### Horizonlar ve derinlikleri (cm)

#### Pedon tanımlamaları

A (0-15) Kuru iken (10 YR 6/2) açık kahverengimsi gri, ıslak iken (10 YR 4/4) koyu sarımsı kahverengi; kumlu killi tın; ıslak iken çok plastik, çok yapışkan, kuru iken son derece sert; HCl ile çok şiddetli köpürme; 0.5-1 cm kireç taşları; çok

yoğun ince saçak kökler; kuvvetli granüler stürüktür yoğun böcek aktivitesi izleri; kesin geçişli sınır.

- AC1(15-25) Kuru iken (10 YR 5/3) kahverengi, ıslak iken (10 YR 3/3) koyu kahverengi; kumlu tın; ıslak iken çok plastik, çok yapışkan, kuru iken son derece sert; HCl ile çok şiddetli köpürme; 3-7 cm miozen kireç taşları; orta yoğun ince saçak kök; >1 cm küçük kireç modülleri; kesin geçişli sınır.
- AC2(25-39) Kuru iken (10 YR 7/3) çok soluk kahverengi, ıslak iken (10 YR 5/6) sarımsı kahverengi; killi tın; ıslak iken çok plastik, çok yapışkan, kuru iken son derece sert; HCl ile çok şiddetli köpürme 1-3 cm miozen kalker parçaları; çok yoğun kireç modülleri; seyrek ince saçak kök; böcek aktivitesi yok; kesin geçişli sınır.
- C (39+) Kuru iken (7.5 YR 6/4) açık kahverengi, ıslak iken (7.5 YR 5/4) kahverengi; kil; ıslak iken çok plastik, çok yapışkan, kuru iken son derece sert; HCl ile çok şiddetli köpürme; hiç kireç taşı yok; kök aktivitesi yok; orta orta blok stürüktür; seyrek böcek aktivitesi var.

Pedon no	: N18
Koordinat	: 37°18'46" N 28°09'44" E
Yeri	: Ürmez tepeşi
Denizden yüksekliği	: 408m
Arazi tipi	: Dağlık
Rölyef	: Yamaç
Arazi şekli	: Doğrusal dik yada çok dik eğim (%24)

Ana özdeğ	: Marn
Erozyon sınıfı	: 2
Taşlılık sınıfı	: 1
Kayalık sınıfı	: -
Drenaj koşulu	: İyi
Arazi kullanım şekli	: Kuru tarım
Bitki örtüsü	: <i>Triticum ssp.</i>
Arazi kullanım yetenek sınıfı : IV	
Sıra	: Mollisol
Alt sıra	: Rendoll
Büyük grup	: Rendoll
Alt grup	: Typic Rendoll
Haritalama birimi	: Erozyona açık alan

Horizonlar ve derinlikleri (cm)Pedon tanımlamaları

- A (0-11) Kuru iken (10 YR 6/2) açık kahverengimsi gri, ıslak iken (10 YR 4/4) koyu sarımsı kahverengi; killi tın; ıslak iken çok plastik, çok yapışkan, kuru iken son derece sert; kuvvetli granüler; HCl ile çok şiddetli köpürme; 1-5 cm miosen kalker parçaları; orta yoğun ince saçak kökler; yoğun böcek aktivitesi izleri; kesin geçişli sınır.
- AC (11-24) Kuru iken (10 YR 6/2) açık kahverengimsi gri, ıslak iken (10 YR 5/3) kahverengi; killi tın; ıslak iken çok plastik, çok yapışkan, kuru iken son derece sert; kuvvetli granüler; HCl ile çok şiddetli köpürme; 1-3 cm miosen kalker parçaları; orta yoğun ince saçak kökler; yoğun böcek aktivitesi izleri; kesin geçişli sınır.

C (24+) Kuru iken (10 YR 6/4) açık sarımsı kahverengi, ıslak iken (10 YR 5/4) sarımsı kahverengi; killi tın; ıslak iken çok plastik, çok yapışkan, kuru iken son derece sert; kuvvetli granüler; HCl ile çok şiddetli köpürme; <1 cm miosen kalker parçaları; Çok seyrek ince saçak kök aktivitesi; zayıf blok stürüktür, kesin geçişli sınır.

Pedon no	: N19
Koordinat	: 37°18'45" N 28°09'43" E
Yeri	: Ürmez tepe
Denizden yüksekliği	: 390m
Arazi tipi	: Dağlık
Rölyef	: Yamaç
Arazi şekli	: Doğrusal dik yada çok dik eğim (%10)
Ana özdek	: Marn
Erozyon sınıfı	: 2
Taşlılık sınıfı	: 1
Kayalık sınıfı	: -
Drenaj koşulu	: İyi
Arazi kullanım şekli	: Terk edilmiş arazi
Bitki örtüsü	: Yoğun maki funda
Arazi kullanım yetenek sınıfı	: VI
Sıra	: Mollisol
Alt sıra	: Rendoll
Büyük grup	: Rendoll
Alt.grup	: Typic Rendoll
Haritalama birimi	: Erozyondan korunmuş alan

<u>Horizonlar ve derinlikleri (cm)</u>	<u>Pedon tanımlamaları</u>
Ap (0-13)	Kuru iken (10 YR 5/4) sarımsı kahverengi, ıslak iken (10 YR 4/4) koyu sarımsı kahverengi; killi tın; ıslak iken çok plastik, çok yapışkan, kuru iken son derece sert; zayıf küçük granüler; HCl ile orta şiddetli köpürme; 1-3 cm çaplı seyrek miosen kalker parçaları; yoğun ince saçak kökler; seyrek böcek aktivitesi izleri; kesin geçişli sınır.
AC (13-23)	Kuru iken (10 YR 6/3) soluk kahverengi, ıslak iken (10 YR 5/3) kahverengi; kil; ıslak iken çok plastik, çok yapışkan, kuru iken son derece sert; zayıf granüler; HCl ile şiddetli köpürme; 1-2 cm yoğun miosen kalker parçaları; çok yoğun ince saçak kökler; seyrek böcek aktivitesi izleri; kesin geçişli sınır.
C (23-50)	Kuru iken (10 YR 6/2) açık kahverengimsi gri, ıslak iken (10 YR 4/4) koyu sarımsı kahverengi; kil; ıslak iken çok plastik, çok yapışkan, kuru iken son derece sert; zayıf granüler; HCl ile şiddetli köpürme; zayıf blok stürüktür; 1-5 cm çaplı miosen kalker parçası; çok seyrek ince saçak kökler; böcek aktivitesi yok; kesin geçişli sınır.

Pedon no	: N20
Koordinat	: $37^{\circ}18'46''$ N $28^{\circ}09'43''$ E
Yeri	: Ürmez tepe
Denizden yüksekliği	: 398m
Arazi tipi	: Dağlık
Rölyef	: Yamaç
Arazi şekli	: Doğrusal dik yada çok dik eğim (%13)

Ana özdek	: Marn
Erozyon sınıfı	: 2
Taşılık sınıfı	: 1
Kayalık sınıfı	: -
Drenaj koşulu	: İyi
Arazi kullanım şekli	: Kuru tarım
Bitki örtüsü	: <i>Triticum ssp.</i>

**Arazi kullanım yetenek sınıfı : IV**

Sıra	: Mollisol
Alt sıra	: Rendoll
Büyük grup	: Rendoll
Alt grup	: Typic Rendoll
Haritalama birimi	: Erozyona açık alan

Horizonlar ve derinlikleri (cm) Pedon tanımlamaları

A (0-7) Kuru iken (10 YR 6/4) açık sarımsı kahverengi, ıslak iken (10 YR 4/4) koyu sarımsı kahverengi; tınlı; ıslak iken çok plastik, çok yapışkan, kuru iken son derece sert; HCl ile şiddetli köpürme; 1-7 cm çaplı miosen kalker parçaları; yoğun ince saçak kökler; zayıf blok kırılınca iri granüler stürütür; böcek aktivitesi izleri; kesin geçişli sınır.

AC (7-15) Kuru iken (10 YR 6/3) soluk kahverengi, ıslak iken (10 YR 4/4) koyu sarımsı kahverengi; kumlu killi tınlı; ıslak iken çok plastik, çok yapışkan, kuru iken son derece sert; zayıf blok kırılınca granüler; HCl ile şiddetli köpürme; 1-3 cm çaplı miosen kalker parçaları; çok yoğun ince saçak bitki kökleri; kesin geçişli sınır.

C (15-39) Kuru iken (10 YR 7/4) çok soluk kahverengi, ıslak iken (10 YR 5/6) sarımsı kahverengi; kumlu killi tın; ıslak iken çok plastik, çok yapışkan, kuru iken son derece sert; zayıf blok kırılıncı granüler; HCl ile şiddetli köpürme; zayıf blok stürütür; altera olmuş kum-mil taşı; çok zayıf ince saçak kökler; böcek aktivitesi yok; demir mangan lekeleri; kesin geçişli sınır.

Pedon no	: N21
Koordinat	: 37°18'43" N 28°09'43" E
Yeri	: Ürnez tepesi
Denizden yüksekliği	: 380m
Arazi tipi	: Dağlık
Rölyef	: Yamaç
Arazi şekli	: Doğrusal dik eğim (%10)
Ana özdekk	: Marn
Erozyon sınıfı	: 1
Taşlılık sınıfı	: 1
Kayalık sınıfı	: -
Drenaj koşulu	: İyi
Arazi kullanım şekli	: Terk edilmiş arazi
Bitki örtüsü	: Yoğun maki funda
Arazi kullanım yetenek sınıfı : IV	
Sıra	: Mollisol
Alt sıra	: Rendoll
Büyük grup	: Rendoll
Alt grup	: Typic Rendoll

<u>Haritalama birimi</u>	<u>: Erozyondan korunmuş alan</u>
<u>Horizonlar ve derinlikleri (cm)</u>	<u>Pedon tanımlamaları</u>
A (0-13)	Kuru iken (10 YR 6/3) soluk kahverengi, ıslak iken (10 YR 5/3) kahverengi; kumlu tın; ıslak iken az plastik, az yapışkan, kuru iken hafif sert; kuvvetli iri granüler; HCl ile orta şiddetli köpürme; seyrek $>1$ cm miosen kalker parçaları; çok yoğun saçak kökler; yoğun böcek aktivitesi izleri; kesin geçişli sınır.
AC (13-31)	Kuru iken (10 YR 7/3) çok soluk kahverengi, ıslak iken (10 YR 5/3) kahverengi; kumlu tın; ıslak iken plastik, yapışkan, kuru iken sert; zayıf, orta granüler; HCl ile orta şiddetli köpürme; çok seyrek $>1$ cm miosen kalker parçaları; çok yoğun saçak kökler; yoğun böcek aktivitesi izleri; kesin geçişli sınır.
C1 (31-39)	Kuru iken (10 YR 6/4) açık sarımsı kahverengi, ıslak iken (10 YR 4/4) koyu sarımsı kahverengi; kumlu tın; ıslak iken plastik, yapışkan, kuru iken sert; zayıf, orta granüler; HCl ile orta şiddetli köpürme; zayıf orta blok stürtütür; orta yoğun ince saçak kökler, seyrek kazık kökler; orta yoğun 1-2 cm çapında miosen kalker parçaları; seyrek böcek aktivitesi; kesin geçişli sınır.
C2 (59-75)	Kuru iken (10 YR 7/3) çok soluk kahverengi, ıslak iken (10 YR 5/4) sarımsı kahverengi; killi tın; ıslak iken çok plastik, çok yapışkan, kuru iken son derece sert; zayıf, orta granüler; HCl ile orta şiddetli köpürme; zayıf orta blok stürtütür; orta yoğun kazık kökler; çok seyrek böcek aktivitesi izleri; kesin geçişli sınır.

Pedon no	: N22
Koordinat	: 37°18'46"N 28°09'43"E
Yeri	: Ürmez tepesi
Denizden yüksekliği	: 378 m
Arazi tipi	: Dağlık
Rölyef	: Yamaç
Arazi şekli	: Doğrusal dik eğim (%10)
Ana özdek	: Marn
Erozyon sınıfı	: 1
Taşlılık sınıfı	: 1
Kayalık sınıfı	: -
Drenaj koşulu	: İyi
Arazi kullanım şekli	: Kuru tarım
Bitki örtüsü	: Triticum ssp.
Arazi kullanım yetenek sınıfı : IV	
Sıra	: Mollisol
Alt sıra	: Rendoll
Büyük grup	: Rendoll
Alt grup	: Typic Rendoll
Haritalama birimi	: Erozyona açık alan

Horizonlar ve derinlikleri (cm)Pedon tanımlamaları

Ap (0-12) Kuru iken (10 YR 6/3) soluk kahverengi, ıslak iken (10 YR 4/3) kahverengi; kumlu tın; ıslak iken plastik, yapışkan, kuru iken sert; iri kuvvetli granüler; HCl ile orta şiddetli köpürme; 1-5 cm orta yoğun miosen kalker parçaları; çok yoğun ince saçak kökler; seyrek böcek aktivitesi izleri; kesin geçişli

sınır.

- AC(12-34)** Kuru iken (10 YR 6/3) soluk kahverengi, ıslak iken (10 YR 4/3) kahverengi; kumlu killi tın; ıslak iken çok plastik, çok yapışkan, kuru iken son derece sert; zayıf, orta blok stürütür kırılınlca orta orta granüler stürütür; HCl ile şiddetli köpürme; seyrek 1-7 cm çaplı miosen kalker parçaları; yoğun ince saçak kökler; orta yoğun böcek aktivitesi izleri; kesin geçişli sınır.
- C1 (33-53)** Kuru iken (10 YR 6/4) açık sarımsı kahverengi, ıslak iken (10 YR 4/4) koyu sarımsı kahverengi; kumlu killi tın; ıslak iken çok plastik, çok yapışkan, kuru iken son derece sert; zayıf, orta blok stürütür kırılınlca orta orta granüler stürütür; HCl ile şiddetli köpürme; Çok seyrek 1-4 cm miosen kalker parçaları; zayıf orta blokvari stürütür; seyrek saçak kök; orta seyrek böcek aktivitesi izleri; kesin geçişli sınır.
- C2 (53+)** Kuru iken (10 YR 6/4) açık sarımsı kahverengi, ıslak iken (10 YR 4/4) koyu sarımsı kahverengi; kumlu kil; ıslak iken çok plastik, çok yapışkan, kuru iken son derece sert; zayıf, orta blok stürütür kırılınlca orta orta granüler stürütür; HCl ile şiddetli köpürme; >1 cm miosen kalker parçaları altere kireçli kumtaşı görünümünde; çok seyrek ince saçak kök; böcek aktivitesi yok; kesin geçişli sınır.

### Kayışalan tepe pedon tanımlamaları

Pedon no	: N23
Koordinat	: $37^{\circ}20'03''$ N $28^{\circ}10'12''$ E
Yeri	: Kayışalan tepe
Denizden yüksekliği	: 460m
Arazi tipi	: Dağlık
Rölyef	: Sırt
Arazi şekli	: Doğrusal dik eğim (%13)
Ana özdek	: Marn
Erozyon sınıfı	: 4
Taşlılık sınıfı	: 4
Kayalık sınıfı	: -
Drenaj koşulu	: İyi
Arazi kullanım şekli	: Kuru tarım
Bitki örtüsü	: Buğday
Arazi kullanım yetenek sınıfı : VI	
Sıra	: Mollisol
Alt sıra	: Rendoll
Büyük grup	: Rendoll
Alt grup	: Typic Rendoll
Haritalama birimi	: Erozyona açık alan

#### Horizonlar ve derinlikleri (cm)

#### Pedon tanımlamaları

AC(0-18) Kuru iken (10 YR 7/3) çok soluk kahverengi, ıslak iken (10 YR 5/3) kahverengi; kumlu tın; ıslak iken plastik, yapışkan, kuru iken sert; kuvvetli küçük granüler; HCl ile çok şiddetli köpürme ; 2-4 cm arasında ayrılmamış; orta yoğun yarı

köşeli kalker parçaları; çok yoğun kökler; yoğun orta gözenekler; yoğun böcek aktivitesi izleri; kesin geçişli sınır.

**C (18+)** Kuru iken (10 YR 7/1) açık gri, ıslak iken (10 YR 5/1) gri; kumlu killi tın; ıslak iken çok plastik, çok yapışkan, kuru iken son derece sert; kuvvetli, orta granüler; HCl ile çok şiddetli köpürme; 7-13 cm arasında ayırmamış; orta yoğun yarı köşeli kalker parçaları; orta yoğun orta büyülüklükte kil pedleri; yoğun bitki kökleri; yoğun orta gözenekler; yoğun böcek aktivitesi izleri; kesin geçişli sınır.

Pedon no	: N24
Koordinat	: 37°20'02"N 28°10'12"E
Yeri	: Kayışalan tepe
Denizden yüksekliği	: 460 m
Arazi tipi	: Dağlık
Rölyef	: Yamaç
Arazi şekli	: Doğrusal hafif eğim (%13)
Ana özdek	: Marn
Erozyon sınıfı	: 2
Taşlılık sınıfı	: 3
Kayalık sınıfı	: -
Drenaj koşulu	: İyi
Arazi kullanım şekli	: Orman
Bitki örtüsü	: <i>Pinus</i> ssp., <i>Quercus</i> ssp
Arazi kullanım yetenek sınıfı : VI	
Seri	: Yatağan
Sıra	: Mollisol

Alt sıra	: Rendoll
Büyük grup	: Rendoll
Alt grup	: Typic Rendoll
Haritalama birimi	: Erozyondan korunmuş alan
<u>Horizonlar ve derinlikleri (cm)</u>	<u>Pedon tanımlamaları</u>
A (0-7)	Kuru iken (10 YR 6/2) açık kahverengimsi gri, ıslak iken (10 YR 4/2) koyu grimsi kahverengi; kumlu killi tın; ıslak iken az plastik, az yapışkan, kuru iken hafif sert; kuvvetli küçük granüler; HCl ile çok şiddetli köpürme; 2-4 cm arasında ayırmamış; orta yoğun yarı köşeli kalker parçaları; çok yoğun kökler; yoğun orta gözenekler; yoğun böcek aktivitesi izleri; kesin geçişli sınır.
AC (7-24)	Kuru iken (10 YR 8/1) beyaz, ıslak iken (10 YR 6/1) açık gri; kumlu tın; ıslak iken az plastik, az yapışkan, kuru iken hafif sert; kuvvetli, orta granüler; HCl ile çok şiddetli köpürme; 7-13 cm arasında ayırmamış; orta yoğun yarı köşeli kalker parçaları; orta yoğun orta büyülüklükte kil pedleri; yoğun bitki kökleri; yoğun orta gözenekler; yoğun böcek aktivitesi izleri; kesin geçişli sınır.
C (24+)	Kuru iken (10 YR 7/1) açık gri, ıslak iken (10 YR 5/1) gri; kumlu tın; ıslak iken plastik, yapışkan, kuru iken sert; kuvvetli, orta granüler; HCl ile çok şiddetli köpürme

Pedon no	: N25
Koordinat	: 37°20'03"N 28°10'11"E
Yeri	: Kayışalan tepe
Denizden yüksekliği	: 450m

Arazi tipi	: Dağlık
Rölyef	: Yamaç
Arazi şekli	: Doğrusal hafif eğim (%10)
Ana özdek	: Marn
Erozyon sınıfı	: 3
Taşlılık sınıfı	: 4
Kayalık sınıfı	: -
Drenaj koşulu	: İyi
Arazi kullanım şekli	: İşlenmiş Tarım arazisi
Bitki örtüsü	: Tütün

Arazi kullanım yetenek sınıfı : IV

Seri	: Yatağan
Sıra	: Mollisol
Alt sıra	: Rendoll
Büyük grup	: Rendoll
Alt grup	: Tppic Rendoll
Haritalama birimi	: Erozyona açık alan

#### Horizonlar ve derinlikleri (cm) Pedon tanımlamaları

A (0-8) Kuru iken (10 YR 7/2) açık gri, ıslak iken (10 YR 5/2) grimsi kahverengi; tın; ıslak iken çok plastik, çok yapışkan, kuru iken son derece sert; kuvvetli küçük granüler; HCl ile şiddetli köpürme; 2-4 cm arasında ayrılmamış; orta yoğun yarı köşeli kalker parçaları; çok yoğun kökler; yoğun orta gözenekler; yoğun böcek aktivitesi izleri; kesin geçişli sınır.

AC (8-20) Kuru iken (10 YR 7/1) açık gri; ıslak iken (10 YR 5/1) gri; killi tın; ıslak iken çok plastik, çok yapışkan, kuru iken son

derece sert; kuvvetli, orta granüler; HCl ile çok şiddetli köpürme; 7-13 cm arasında ayrılmamış; orta yoğun yarı köşeli kalker parçaları; orta yoğun orta büyülükte kil pedleri; yoğun bitki kökleri; yoğun orta gözenekler; yoğun böcek aktivitesi izleri; kesin geçişli sınır.

**C (20+)** Kuru iken (10 YR 7/1) açık gri; ıslak iken (10 YR 5/1) gri; killi tırı; ıslak iken çok plastik, çok yapışkan, kuru iken son derece sert; kuvvetli, orta granüler; HCl ile çok şiddetli köpürme;

Pedon no	: N26
Koordinat	: 37°20'02" N 28°10'11" E
Yeri	: Kayışalan tepe
Denizden yüksekliği	: 450m
Arazi tipi	: Dağlık
Rölyef	: Yamaç
Arazi şekli	: Doğrusal hafif eğim (%10)
Ana özdekk	: Marn
Erozyon sınıfı	: 1
Taşlılık sınıfı	: 2
Kayalık sınıfı	: -
Drenaj koşulu	: İyi
Arazi kullanım şekli	: Orman
Bitki örtüsü	: <i>Quercus, Pinus</i> ssp.
Arazi kullanım yetenek sınıfı	: VI
Sıra	: Mollisol
Alt sıra	: Rendoll

Büyük grup	: Rendoll
Alt grup	: Typic Rendoll
Haritalama birimi	: Erozyondan korunmuş alan
<u>Horizonlar ve derinlikleri (cm)</u>	<u>Pedon tanımlamaları</u>
A11 (0-11) Kuru iken (10 YR 6/1) gri, ıslak iken (10 YR 4/1) koyu gri; kumlu killi tın; ıslak iken çok plastik, çok yapışkan, kuru iken son derece sert; kuvvetli küçük granüler; HCl ile şiddetli köpürme; 2-4 cm arasında ayırmamış; orta yoğun yarı köşeli kalker parçaları; çok yoğun kökler; yoğun orta gözenekler; yoğun böcek aktivitesi izleri; kesin geçişli sınır.	
A12 (11-20) Kuru iken (10 YR 6/2) açık kahverengimsi gri, ıslak iken (10 YR 4/2) koyu kahverengimsi gri; killi tın; ıslak iken çok plastik, çok yapışkan, kuru iken son derece sert; kuvvetli, orta granüler; HCl ile orta şiddetli köpürme; 7-13 cm arasında ayırmamış; orta yoğun yarı köşeli kalker parçaları; orta yoğun orta büyülükte kil pedleri; yoğun bitki kökleri; yoğun orta gözenekler; yoğun böcek aktivitesi izleri; kesin geçişli sınır.	
AC (20-34) Kuru iken (10 YR 6/1) gri, ıslak iken (10 YR 4/1) koyu gri; kumlu killi tın; ıslak iken çok plastik, çok yapışkan, kuru iken son derece sert; kuvvetli, orta granüler; HCl ile orta şiddetli köpürme; kesin geçişli sınır.	
C (34+) Kuru iken (10 YR 8/1) beyaz , ıslak iken (10 YR 6/1) açık gri; tın; ıslak iken çok plastik, çok yapışkan, kuru iken son derece sert; kuvvetli, orta granüler; HCl ile köpürme.	

Pedon no	: N27
Koordinat	: 37°20'03"N 28°10'11"E
Yeri	: Kayışalan tepe
Denizden yüksekliği	: 440 m
Arazi tipi	: Dağlık
Rölyef	: Yamaç
Arazi şekli	: Doğrusal hafif eğim (%10)
Ana özdek	: Marn
Erozyon sınıfı	: 1
Taşlılık sınıfı	: 2
Kayalık sınıfı	: -
Drenaj koşulu	: İyi
Arazi kullanım şekli	: Orman
Bitki örtüsü	: Pinus ssp, Quercus ssp

Arazi kullanım yetenek sınıfı : VI

Seri	: Yatağan
Sıra	: Mollisol
Alt sıra	: Rendoll
Büyük grup	: Rendoll
Alt grup	: Typic Rendoll
Haritalama birimi	: Erozyondan korunmuş alan

#### Horizonlar ve derinlikleri (cm)

#### Pedon tanımlamaları

A11 (0-9) Kuru iken (10 YR 4/1) koyu gri, ıslak iken (10 YR 2/1) siyah; tıı; ıslak iken çok plastik, çok yapışkan, kuru iken son derece sert; kuvvetli küçük granüler; HCl ile orta şiddetli köpürme; 2-4 cm arasında ayrılmamış; orta yoğun

yarı köşeli kalker parçaları; çok yoğun kökler; yoğun orta gözenekler; yoğun böcek aktivitesi izleri; kesin geçişli sınır.

- A12 (9-21) Kuru iken (10 YR 5/1) gri, ıslak iken (10 YR 3/1) çok koyu gri; kumlu killi tın; ıslak iken çok plastik, çok yapışkan, kuru iken son derece sert; kuvvetli, orta granüler; HCl ileşiddetli köpürme; 7-13 cm arasında ayrılmamış; orta yoğun yarı köşeli kalker parçaları; orta yoğun orta büyülüklükte kil pedleri; yoğun bitki kökleri; yoğun orta gözenekler; yoğun böcek aktivitesi izleri; kesin geçişli sınır.
- AC (21+) Kuru iken (10 YR 6/1) gri, ıslak iken (10 YR 4/1) koyu gri; kumlu killi tın; ıslak iken çok plastik, çok yapışkan, kuru iken son derece sert; kuvvetli, orta granüler; HCl ileşiddetli köpürme; kesin geçişli sınır.

Pedon no	: N28
Koordinat	: 37°20'03" N 28°10'11"E
Yeri	: Kayışalan tepe
Denizden yüksekliği	: 440 m
Arazi tipi	: Dağlık
Rölyef	: Yamaç
Arazi şekli	: Doğrusal hafif eğim (%10)
Ana özdek	: Marn
Erozyon sınıfı	: 1
Taşlılık sınıfı	: 3
Kayalık sınıfı	: -

Drenaj koşulu	: İyi
Arazi kullanım şekli	: Orman
Bitki örtüsü	: Olive ssp.
Arazi kullanım yetenek sınıfı : VI	
Seri	: Yatağan
Sıra	: Mollisol
Alt sıra	: Rendoll
Büyük grup	: Rendoll
Alt grup	: Typic Rendoll
Haritalama birimi	: Erozyona açık alan

Horizonlar ve derinlikleri (cm)Pedon tanımlamaları

- A (0-23) Kuru iken (10 YR 4/1) koyu gri, ıslak iken (10 YR 2/1) siyah; killi tın; ıslak iken çok plastik, çok yapışkan, kuru iken son derece sert; kuvvetli küçük granüler; HCl ile orta şiddetli köpürme; 2-4 cm arasında ayırmamış; orta yoğun yarı köşeli kalker parçaları; çok yoğun kökler; yoğun orta gözenekler; yoğun böcek aktivitesi izleri; kesin geçişli sınır.
- AC (23+) Kuru iken (10 YR 6/2) açık kahverengimsi gri, ıslak iken (10 YR 4/2) koyu grimsi kahverengi; killi tın; ıslak iken çok plastik, çok yapışkan, kuru iken son derece sert; kuvvetli, orta granüler; HCl ile az şiddetli köpürme; 7-13 cm arasında ayırmamış; orta yoğun yarı köşeli kalker parçaları; orta yoğun orta büyülükte kil pedleri; yoğun bitki kökleri; yoğun orta gözenekler; yoğun böcek aktivitesi izleri; kesin geçişli sınır.

Pedon no	: N29
Koordinat	: 37°20'02" N 28°10'10" E
Yeri	: Kayışalan tepe
Denizden yüksekliği	: 430 m
Arazi tipi	: Dağlık
Rölyef	: Yamaç
Arazi şekli	: Doğrusal eğim (%5)
Ana özdek	: Alluvium
Erozyon sınıfı	: 1
Taşlılık sınıfı	: 2
Kayalık sınıfı	: -
Drenaj koşulu	: İyi
Arazi kullanım şekli	: Kuru Tarım
Bitki örtüsü	: Nadas
Arazi kullanım yetenek sınıfı	: III
Seri	: Yatağan
Sıra	: Entisol
Alt sıra	: Orthent
Büyük grup	: Xerorthent
Alt grup	: Typic Xerorthent
Haritalama birimi	: Erozyondan korunmuş alan

Horizonlar ve derinlikleri (cm) Pedon tanımlamaları

A (0-21) Kuru iken (10 YR 5/2) grimsi kahverengi, ıslak iken (10 YR 3/2) çok koyu grimsi kahverengi; tıñ; ıslak iken çok plastik, çok yapışkan, kuru iken son derece sert; kuvvetli küçük granüler; HCl ile şiddetli köpürme; 2-4 cm arasında

ayrışmamış; orta yoğun yarı köşeli kalker parçaları; çok yoğun kökler; yoğun orta gözenekler; yoğun böcek aktivitesi izleri; kesin geçişli sınır.

- C1 (21-36)** Kuru iken (10 YR 5/2) grimsi kahverengi, ıslak iken (10 YR 3/2) çok koyu grimsi kahverengi; killi tın; ıslak iken çok plastik, çok yapışkan, kuru iken son derece sert; kuvvetli, orta granüler; HCl ile şiddetli köpürme; 7-13 cm arasında ayrılmamış; orta yoğun yarı köşeli kalker parçaları; orta yoğun orta büyülüklükte kil pedleri; yoğun bitki kökleri; yoğun orta gözenekler; yoğun böcek aktivitesi izleri; kesin geçişli sınır.
- C2 (36+)** Kuru iken (10 YR 5/2) grimsi kahverengi, ıslak iken (10 YR 3/2) çok koyu grimsi kahverengi; kumlu killi tın; ıslak iken çok plastik, çok yapışkan, kuru iken son derece sert; kuvvetli, orta granüler; HCl ile şiddetli köpürme;

### Bencik deresi (Yeniköy) pedon tanımlaması

Pedon no	: N30
Koordinat	: $37^{\circ}21'45''$ N $28^{\circ}6'10''$ E
Yeri	: Bencik deresi (Yeniköy)
Denizden yüksekliği	: 335 m
Arazi tipi	: Vadi
Rölyef	: Taşkin Düzlüğü
Arazi şekli	: Düz düzeye yakın eğim (%1)
Ana özdeğ	: Alluvium
Erozyon sınıfı	: -
Taşlılık sınıfı	: -
Kayalık sınıfı	: -
Drenaj koşulu	: Fena
Arazi kullanım şekli	: Kuru Tarım
Bitki örtüsü	: Nadas
Arazi kullanım yetenek sınıfı	: III
Sıra	: Entisol
Alt sıra	: Fluvent
Büyük grup	: Xerofluvent
Alt grup	: Typic Xerofluvent
Haritalama birimi	: Erozyondan korunmuş alan

Horizonlar ve derinlikleri (cm) Pedon tanımlamaları

A (0-16) Kuru iken (10 YR 6/3) soluk kahverengi, ıslak iken (10 YR 4/3) kahverengi; tııı; ıslak iken çok plastik, çok yapışkan, kuru iken son derece sert; kuvvetli küçük granüler; HCl ile şiddetli köpürme; 2-4 cm arasında ayrılmamış; orta yoğun

yarı köşeli kalker parçaları; çok yoğun kökler; yoğun orta gözenekler; yoğun böcek aktivitesi izleri; kesin geçişli sınır.

- C1(16-31) Kuru iken (10 YR 5/3) kahverengi, ıslak iken (10 YR 3/3) koyu kahverengi; killi tın; ıslak iken çok plastik, çok yapışkan, kuru iken son derece sert; kuvvetli, orta granüler; HCl ile şiddetli köpürme; 7-13 cm arasında ayırmamış; orta yoğun yarı köşeli kalker parçaları; orta yoğun orta büyülükte kil pedleri; yoğun bitki kökleri; yoğun orta gözenekler; yoğun böcek aktivitesi izleri; kesin geçişli sınır.
- C2 (31+) Kuru iken (10 YR 6/4) açık sarımsı kahverengi, ıslak iken (10 YR 4/4) koyu sarımsı kahverengi; kumlu killi tın; ıslak iken çok plastik, çok yapışkan, kuru iken son derece sert; kuvvetli, orta granüler; HCl ile şiddetli köpürme;

Pedon no	: 31
Koordinat	: 37°21'45" N 28°6'10" E
Yeri	: Bencik deresi (Yeniköy)
Denizden yüksekliği	: 335 m
Arazi tipi	: Vadi
Rölyef	: Taşkın Düzlüğü
Arazi şekli	: Düz, düzeye yakın eğim (%1)
Ana özdek	: Alluvium
Erozyon sınıfı	: -
Taşlılık sınıfı	: -
Kayalık sınıfı	: -
Drenaj koşulu	: Fena
Arazi kullanım şekli	: Kuru Tarım

Bitki örtüsü	: Nadas
Arazi kullanım yetenek sınıfı : II	
Sıra	: Entisol
Alt sıra	: Fluvnt
Büyük grup	: Xerofluvent
Alt grup	: Typic Xerofluvent
Haritalama birimi	: Erozyondan korunmuş alan

Horizonlar ve derinlikleri (cm) Pedon tanımlamaları

- A (0-14) Kuru iken (10 YR 5/3) kahverengi, ıslak iken (10 YR 4/3) koyu kahverengi; tınlı; ıslak iken çok plastik, çok yapışkan, kuru iken son derece sert; kuvvetli küçük granüler; HCl ile şiddetli köpürme; 2-4 cm arasında ayırmamış; orta yoğun yarı köşeli kalker parçaları; çok yoğun kökler; yoğun orta gözenekler; yoğun böcek aktivitesi izleri; kesin geçişli sınır.
- C1 (14-32) Kuru iken (10 YR 5/3) kahverengi, ıslak iken (10 YR 4/3) koyu kahverengi; killi tınlı; ıslak iken çok plastik, çok yapışkan, kuru iken son derece sert; kuvvetli, orta granüler; HCl ile şiddetli köpürme; 7-13 cm arasında ayırmamış; orta yoğun yarı köşeli kalker parçaları; orta yoğun orta büyülüklükte kil pedleri; yoğun bitki kökleri; yoğun orta gözenekler; yoğun böcek aktivitesi izleri; kesin geçişli sınır.
- C2 (32-37) Kuru iken (10 YR 6/3) soluk kahverengi, ıslak iken (10 YR 4/3) kahverengi; kumlu killi tınlı; ıslak iken çok plastik, çok yapışkan, kuru iken son derece sert; kuvvetli, orta granüler; HCl ile şiddetli köpürme.

## 6.2. Yöntem

### 6.2.1. Arazi Çalışmaları ve Kullanılan Örnekleme Teknikleri

#### **Toprak analizleri için örnekleme tekniği**

Araştırma materyalini Muğla iline bağlı Yatağan Havzası toprakları oluşturmaktadır. Araştırma alanındaki ayrımlı her bir fizyografik arazi birimleri içeriğinde arazilerin ayrımlı doruk, sırt ve yamaçlardaki ön etüt çalışmaları yapıldı ve 1/25 000 ölçekli topografik harita üzerinde ayrımlı pedon yerleri saptandı. Açılan pedonlarda gözlenen ayrımlı tabaka veya horizonlardan toprak yüzeyinden jeolojik ana özdeğe kadar olan derinliklerden 1.5-2 kg toprak örnegi alındı ve plastik torbalara konularak etiketlendi.

Örnekleme sürecinde doku, yapı, renk, kıvam, çatlaklar, kayma yüzeyi varlığı, taşlılık kayalık, bitki kök dağılımı, böcek aktivitesi vb. toprak özellikleri yanında, eğim, arazi şekli, bitki örtüsü ve yoğunluğu, denizden yükseklik, erozyon vb. çevresel özellikler belirlendi.

Toprak ve arazi sınıflandırma sürecinde toprak ve çevreye ait doğal drenaj, doğal aşınım yoğunluğu, stürüktür (yapı), ayrımlı horizon ve tabakalar, taşlılık ve kayalık sınıfları, gözenekler ve topraktaki özel oluşumlar Altınbaş (1996), Soil Survey Manual (U.S.D.A., 1981) ilkelerine göre sınıflandırıldı.

Laboratuvara getirilen toprak örnekleri laboratuvar ortamında kurutulup 2 mm'lik eleklerden geçirildi ve analize hazır hale getirildiler

Toprakta renk tayini; Laboratuvar ortamında ıslak ve kuru konuma getirilen örnekler üzerinde Munsell Renk Kartları kullanılarak belirlendi (Munsell Color Company Inc., 1954).

**Toprak dokusu (tekstür) tayini**, toprakların %kum, %mil ve %kil nicelikleri Bouyoucos (1962) tarafından verilen hidrometre yöntemi kullanılarak saptandı ve bu % verilerden Black'in (1965) geliştirdiği doku analiz üçgenine uyarlanarak toprak dokusu belirlendi.

**İskelet tayini**, 2 mm'lik eleğin üstünde kalan iskelet kısmı Jackson (1956) tarafından verilen ıslak eleme yöntemiyle ayrılarak topraktaki toplam yüzde olarak belirlendi.

**Dipersiyon Yüzdesi**, Topraktaki bağlayıcı maddelerin kalgonla parçalanarak toplam mil ve kil niceliklerinin saptanması ile hesaplandı (Black, 1965)

**Süsپansiyon Yüzdesi**, Topraktaki bağlayıcı maddeler parçalanmadan toplam mil ve kil niceliğinin saptanması ile hesaplandı (Black, 1965)

Volüm ağırlık, arazi çalışmalarında hacmi belli çelik silindirlerle alınan yapısı bozulmamış örneklerin nemli ve  $105^{\circ}\text{C}$ 'de kurutulmuş haldeki tartımlarının oranlamasıyla yüzde olarak belirlendi.

Özgül ağırlık, piknometre şişeleri ile Nikolskii (1963) tarafından kullanılan yöntemle hesaplandı.

Toplam porozite, volüm ağırlığının özgül ağırlığa olan oranından hesaplanarak ölçüldü.

Boşluk oranı, toplam porozite üzerinden hesaplanarak saptandı.

**Tarla kapasitesi**, Tarla kapasitesindeki % su 1/3 atmosfer (4.83 PSİ) basınç altında, basınçlı tabak cihazı, solma noktasındaki % su 15 atmosfer (220 PSİ) basınç altında basınçlı tabak cihazı kullanılarak belirlendi (U.S. Salinity Lab. Staff, 1954)

Yararlı su, tarla kapasitesindeki % su ile solma noktasındaki % su farkından saptandı

Toprak tepkimesi (pH) tayini, Saf su ile doygun şekle getirilen örneklerde cam elektrotlu Beckman pH metresi kullanılarak belirlendi.

Kireç tayini, Scheibler kalsimetresi kullanılarak  $\text{CaCO}_3$  içeriği (%) olarak Schlichting ve Blume (1966) tarafından kullanılan yöntemle hesaplandı.

Suda çözünebilir toplam tuz tayini (%), saf su ile doygun şekle getirilen toprak örnekleri Beckman geçirgenlik köprüsü aleti ile geçirgenlikleri ohm olarak bulunurken, direnç verileriyle doygun toprak ısısı (Fahrenheit) ve doygunluk (%)’a göre hazırlanmış çizelge kullanılarak saptandı (Soil Survey Staff, 1954).

Organik madde tayini, Black (1965) tarafından kullanılan yaş yakma yöntemiyle % olarak bulundu.

Katyon değişim sigası tayini, pH’sı 8.2’ye tamponlanmış 1 N sodyum asetatla doyurulan toprak örnekleri 1N ve pH’sı 7 olan amonyum asetat ile ekstrakte edilerek  $\text{Na}^+$  katyonu alevli spektrofotometrede okundu ve standartlarla karşılaştırılarak Jackson (1967)’in kullandığı yöntem ile hesaplandı.

Değişebilir katyonlar tayini, pH’sı 7’ye tamponlanmış amonyum asetat ile ekstrakte edilen  $\text{Na}^+$ ,  $\text{K}^+$ ,  $\text{Ca}^{++}$  katyonları alevli spektrofotometrede,  $\text{Mg}^{++}$  katyonu ise atomik absorbsiyon spektrofotometresinde Jackson (1967) ve Black (1965)’in kullandıkları yöntemle saptandı.

Toprakların taksonomik olarak sınıflandırılmasında, arazi ve toprağa ait özellikler dikkate alınmıştır Pedon tanımlamaları ile toprağın ölçülebilen fiziksel, kimyasal ve mineral bileşim vb. özellikleri

belirtilmiştir. Pedonların açıldığı alanlarda araziye ait fizyografik birimler ve kimi özellikleri saptanmıştır.

Arazi etüt ve toprak örneklemme çalışmaları 4-5-11-12-13/12/2000, 28.03/11.04/2001 ve 02.03.2002 tarihlerinde erozyon etkisi altında olan 5 örneklemme bölgesi ile nadasa bırakılmış alanlardan yapılmıştır (Çizelge 6.1).

#### **Çizelge 6.1. Arazi ve Toprak Özelliklerinin Belirlenmesi için Yapılan Örneklemme**

<b>Çalışma Bölgesi</b>	<b>Örneklemme Tarihi</b>	<b>Örneklemme Noktası Sayısı (Pedon sayısı)</b>	<b>Alınan Örnek Sayısı</b>
Yatağan Tepe*	4-5-11/12/2000	8	16
Peynirli Tepe*	12/12/2000	4	7
Kırtaş Tepe*	13/12/2000	4	7
Ürmez Tepe**	28/03/2001	6	21
KayışalanTepe**	11/04/2001	7	20
Bencik Deresi***	02.03.2002	2	6
<b>Toplam</b>		<b>31</b>	<b>77</b>

\*:Tarm yapılmayan alan, \*\*: Tarm alanı, \*\*\*: Nadas alanı

#### **Nükleer Ölçümler İçin Kullanılan Örneklemme Tekniği**

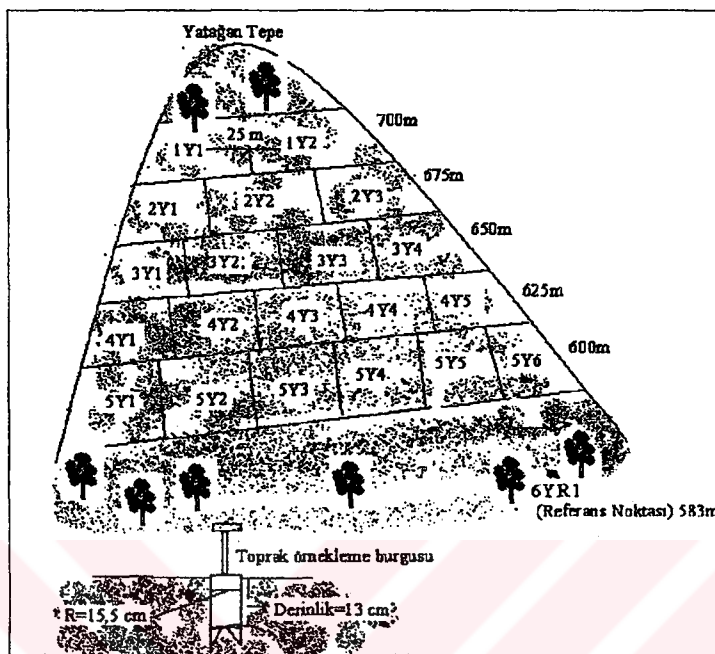
Yatağan havzasında erozyon tayinleri için örneklemme sistemi pedon derinliğine göre geliştirilerek toplam 76 örneklemme noktasından 171 adet toprak örneği alınmıştır. Bu şekilde erozyona açık ve korunmuş (referans noktaları) alanlardan alınan örnek dağılımı Çizelge 6.2'de verilmiştir.

Çizelge 6.2. Yatağan Havzası Toprak Örnekleri Sayısı

Örnekleme Bölgesi	Örnekleme Tarihi	Örnek noktası sayısı	A	B	C	D	Toplam
Yatağan Tepe	13.02.2002	22	20	3	2	10	35
Peynirli Tepe	14.02.2002	11	9	5	2	12	28
Kırtaş Tepe	14.02.2002	11	9	5	2	12	28
Ürmez Tepe	15.02.2002	16	14	8	2	16	40
Kayışalan Tepe	15.02.2002	16	14	8	2	16	40
<b>Toplam</b>		<b>76</b>	<b>66</b>	<b>29</b>	<b>10</b>	<b>56</b>	<b>171</b>

A:Erozyon noktalarından alınan örnek sayısı B: Erozyon noktalarından derinlige göre alınan örnek sayısı  
C: Referans noktalarından alınan örnek sayısı D:Referans noktalarından derinlige göre alınan örnek sayısı

İlk arazi çalışmalarından sonra erozyon noktalarına referans olabilecek alanlar belirlenmiştir. Erozyon bölgelerinde parsel çizgileri sistemi uygulanarak her bölge küçük alanlara ayrılmıştır (Şekil 6.1). Bu alanlara ait toprak yapısına göre tepeler için ayrı, tarım alanları için ayrı bir kor alma burgusu yapılmıştır. Dik yamaçlı tepelerde pedon derinliği kayaç tabakası yüzeye daha yakın olduğundan kısalıdır. Bu nedenle bu alanların erozyon noktaları ile referans noktalarında büyük çaplı kor alma burgusu, tarım alanlarında ise pedon derinliği uzun olduğu için küçük çaplı kor alma burgusu kullanılmıştır (Çizelge 6.3). Erozyona uğramış yerler ile referans noktaları arasında karşılaştırma yapmak için her bölgede kendi içinde toprak burgusunun pedon derinliği sabit tutulmuştur.



Şekil 6.1. Yatağan tepe toprak örnekleme diyagramı.

### Çizelge 6.3. erozyon alanlarının kor alma burgusu derinlikleri ve parsel çizgileri alanları

Örnekleme Bölgesi	Burgu Çapı (cm)	Örnekleme Derinliği (cm)	Parsel Çizgileri Alanı ( $m^2$ )	Örnekleme Noktası	Toplam Alan ( $m^2$ )
Yatağan Tepe	15.5	13	25x64	20	32000
Peynirli Tepe	15.5	15	10x40	9	3600
Kırtaş Tepe	15.5	15	10x35	9	3150
Ürmez Tepe	8.5	30	10x24	14	3360
Kayışalan Tepe	8.5	30	10x28	14	3920
<b>Toplam</b>				<b>66</b>	<b>46030</b>

Ayrıca erozyon ve referans alanlarında  $^{137}\text{Cs}$ 'un dikey olarak dağılımını incelemek için büyük kor alma burgusu ile her 5 cm derinlikten toprak örneği alınmıştır (Çizelge 6.4).

**Çizelge 6.4. Erozyon ve Referans Noktalarında Pedon Derinliğine Göre Alınan Toprak Örnekleri Sayısı**

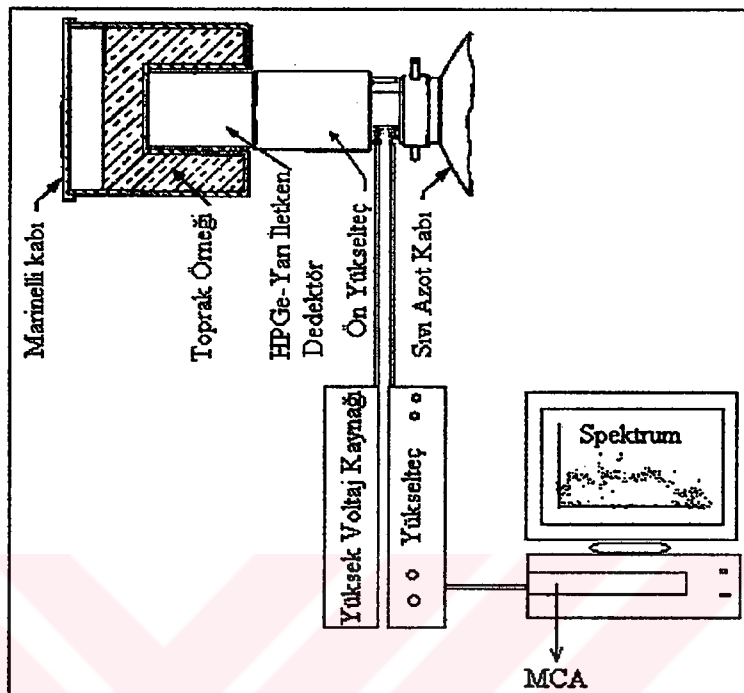
Örnekleme Bölgesi	Erozyon Noktası Pedon Derinliği (cm)	Pedon Sayısı	Örnek Sayısı	Referans Noktası Pedon Sayısı	Pedon Örnek Derinliği(cm)
Yatağan Tepe	15	1	3	25	2
Peynirli Tepe	25	1	5	30	2
Kırtaş Tepe	25	1	5	30	2
Ürmez Tepe	40	1	8	40	2
Kayışalan Tepe	40	1	8	40	2
Toplam		5	29		10
					56

### **6.2.2. Toprak Örneklerinin Gama Spektroskopik Analizler için Hazırlanması**

Toplanan toprak örneklerinin yaş ve kuru ağırlıkları belirlemek için önce oda sıcaklığında kurutulan örnekler daha sonra etüvde  $105^{\circ}\text{C}$  sıcaklıkta 6 saat kurutulmuştur. Kurutulan toprak örnekleri gama spektroskopik analizler için  $600 \mu\text{m}$  (30 mesh) elekten geçirilerek 1200 mL hacimli Marinelli Beaker kaplarına 1500 g gelecek şekilde yerleştirilmiştir.

### **6.2.3. Toprak Örneklerinde $^{137}\text{Cs}$ Tayinlerinde Kullanılan Gama Spektrometre Sistemi**

Toprak örneklerinin  $^{137}\text{Cs}$  aktivitelerinin belirlenmesinde kullanılan sayım sistemi Şekil 6.2'de verilmektedir. Kullanılan dedektör Tennelec model 184 cm<sup>3</sup>'luk p-tipi coaxial HPGe (122 keV'de FWHM: 850 eV, 1.33 MeV'de FWHM: 1.85 keV, relatif verim %25 ve pik/compton=57/1'dir) kristalidir. Germanyum kristali 59.4 mm, uzunluğu 67.7 mm, dedektör-pencere uzaklığı 5 mm'dir ve pencere alüminyum olup 1 mm kalınlığındadır (Dedektör 54x34x29 cm<sup>3</sup> oda içinde ve etrafi 11 cm kalınlıkta kurşun zırh ile kaplıdır). Bu sistemde Tennelec model Tc. 224 Lineer Amplifikatör ve Ortec model 659 yüksek voltaj kaynağı kullanılmıştır. Çalışmada dedektör verimi tayininde kullanılan standart (*Amersham, Certificate no. 317776-3 of sealed sources*) Çekmece Nükleer Araştırma ve Eğitim Merkezi'nden sağlanmıştır. Toplam verim 0.012 olarak bulunmuştur. Sayımlardaki hatalar %5 ve 10 arasında değişmektedir. Kullanılan sistem için dedekte edilebilir minimum aktivite 20000 saniye sayım süresi ve 1500 g örnek ağırlığı için 0.27 Bq olarak bulunmuştur.

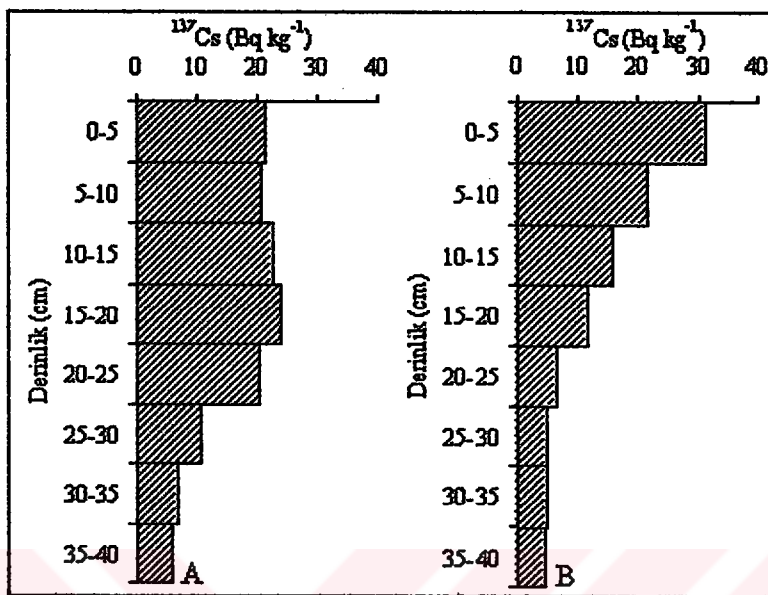


Şekil 6.2. Çalışmada kullanılan sayıım sistemi diyagramı.

#### 6.2.4. Çalışmada Nükleer Teknikle Erozyon Hızı Tayanlarında Kullanılan Matematiksel Modeller

##### Tarım Alanlarında Kullanılan Model

Çalışmada tarım alanlarında (Ürmez ve Kayışalan Tepe) yukarıda anlatılan modellerden orantılı model kullanılmıştır. Bu modelin uygulanması oldukça basittir ve bu modelde  $^{137}\text{Cs}$  dağılımının toprağa uniform olarak dağıldığı, toprak kaybı ile  $^{137}\text{Cs}$  kaybı arasında doğrusal bir ilişki olduğu kabul edilmektedir (Taşkın, 1993). Erozyona açık tarım yapılan alanlarda toprak pulluk tabakasına kadar karıştığı  $^{137}\text{Cs}$ 'un pulluk tabakasına kadar derinliğe bağlı dağılımı değişmemektedir. Şekil 6.3 erozyona açık tarım alanından ve referans alanından, pedon derinliğine göre alınan toprak örneklerindeki  $^{137}\text{Cs}$  dağılımını göstermektedir.



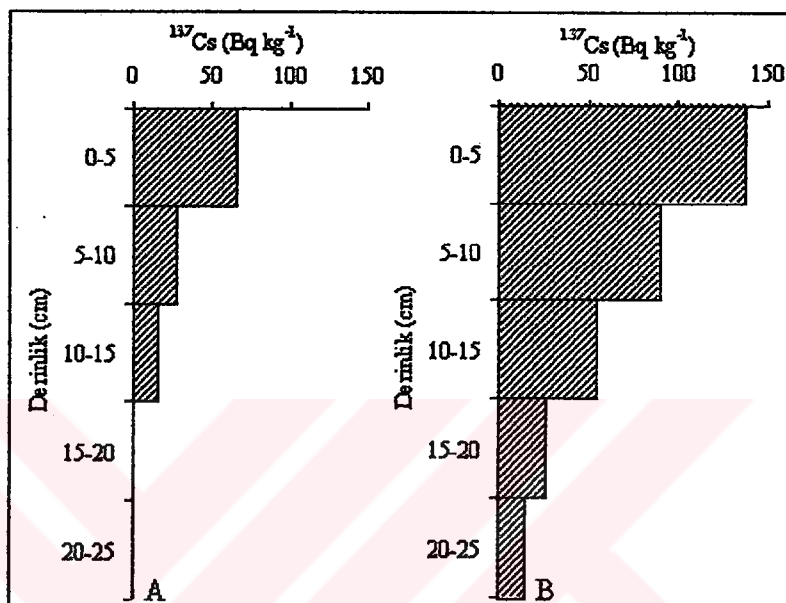
Şekil 6.3. Ürmec Tepe erozyon (A) ve referans (B) noktalarının derinliğine bağlı  $^{137}\text{Cs}$  dağılımı.

Orantılı modelde net toprak erozyonu ya da depozisyonunu hesaplamak için bölüm 4.5'te verilen denklem (4.1) kullanılmıştır. Denklemde pulluk tabakası (Y) 0.25m,  $^{137}\text{Cs}$  dağılıminin başlangıcı ve örneklemme zamanı arasındaki fark (N) 39 yıl olarak alınmıştır. Denklemdeki X değeri için her bir toprak örneğinde volüm ağırlık belirlenmiştir.

### Tarım Yapılmayan Alanlarda Kullanılan Model

Çalışmada tarım yapılmayan alanlarda (Yatağan, Peynirli ve Kırtaş Tepe) yukarıda açıklanan profil dağılım modeli (denklem 4.9) kullanılarak erozyon hızı tayin edilmiştir. Bu modelin uygulanması için  $^{137}\text{Cs}$ 'un dikey dağılıminin erozyon ve referans noktalarında eksponansiyel bir fonksiyon göstermesi gereklidir. Çalışmamızda tarım

yapılmayan bölgelerde  $^{137}\text{Cs}$ 'un derinliğe bağlı değişimi bu modelin kullanılabilirliğini göstermektedir. Şekil 6.4 Yatağan Tepe'de erozyon ve referans noktalarında  $^{137}\text{Cs}$ 'un derinlige bağlı değişimini göstermektedir.



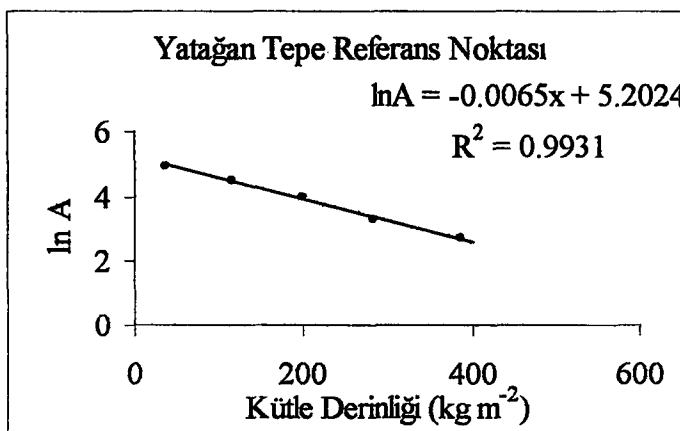
Şekil 6.4. Yatağan Tepe erozyon (A) ve referans (B) noktalarının derinlige bağlı  $^{137}\text{Cs}$  dağılımı.

Profil dağılım modelinde önemli bir parametre olan releksasyon kütle derinliği ( $h_0$ ),  $\ln A$  ile kütke derinliği arasında grafiğin eğiminden hesaplanmıştır.

Şekil 6.5. Yatağan Tepe referans nokrası için çizilen örnek grafiği göstermektedir. Bu nokta için  $h_0$ ,

$$h_0 = \frac{1}{0.0065} = 153.85(\text{kgm}^{-2}) \text{ olarak bulunmuştur.}$$

Tarım yapılmayan tüm alanlarda  $h_0$  değerleri yukarıdaki şekilde hesaplanarak Çizelge 6.5'de verilmiştir.



Şekil 6.5. Yatağan Tepe referans noktasının  $^{137}\text{Cs}$  konsantrasyonlarının kütle derinliğine göre dağılım grafiği.

#### Çizelge 6.5. Tarım Yapılmayan Alanların Referans Noktalarından Hesaplanan $h_0$ Releksasyon Kütle Derinlikleri

Çalışma Alanı	Geçerli Referans Noktası	$h_0$ ( $\text{kg m}^{-2}$ )	$h_{\text{ort}}$ ( $\text{kg m}^{-2}$ )
Yatağan Tepe	6YR1	153.85	153.85
Peynirli Tepe	4PR1	217.39	201.29
	4PR2	185.19	
Kırtaş Tepe	4KR1	181.81	215.91
	4KR2	250.00	

#### 6.2.5. Sayısal Altlık Harita ve Üç Boyutlu Arazi Modeli Oluşturulması

Araştırma yörenesine ait 1/25 000 ölçekli topografik haritalar A0 ebatlı tarayıcı yardımıyla bilgisayar ortamına aktarılmıştır. Daha sonra, bir coğrafik bilgi sistemi yazılımı olan Geomedia 5.0 Pro. GIS yardımıyla ve ekran sayısallaştırma yöntemiyle yol, yerleşim alanı, akarsu, eşyikselti eğrileri (10m) gibi temel öğeler, katman mantığına göre sayısallaştırılmıştır.

Üç boyutlu arazi modeli, Intergraph SiteWorks yazılımı kullanılarak oluşturulmuştur. Bu işlem için , eşyükselti eğrilerinin x,y,z koordinat bilgileri girilmiş ve üçgenleme, grid oluşturma, yüzey yaratma gibi aşamalar gerçekleştirilmiştir. Veri analizi yöntemi ile araziye ait eğim ve yükseklik bilgileri üretilerek her tepe için haritalar oluşturulmuştur. Topraklardaki analiz bulguları, yükseklik bilgilerine bağlı olarak haritalar üzerinde gösterilmiştir (Uğur vd., 2003).

## **7. ARAŞTIRMA SONUÇLARI**

### **7.1. Araştırma Alanının Toprak Özellikleri**

Yatağan havzası toprakları kalker, marn, kolluvium ve alluvium ana özdeklere üzerinde oluşmuşlardır. Bu topraklardaki kireç içeriği genelde toprak pedonu boyunca artarak dağılım göstermektedir. Araştırma alanındaki jeolojik oluşumların fiziksel aşınmaları yoğun, kimyasal başkalaşımları ise yavaştır. Sertliği düşük ve bu bağlamda yumuşak özellikli kalsiyum ve magnezyum karbonat içeren kalsit ve dolomit minerallerinin yoğunluğu yanında, yıllık yağışın mevsimlere göre düzensiz dağılımı ve özellikle de ilkbahar ve kış mevsimindeki ani ve şiddetli yağışlar yanında arazi eğiminin fazla oluşu bu yörelerde doğal ve hızlandırılmış toprak aşınımını yoğunlaştırmaktadır.

Çalışma alanı topraklarını oluşturan jeolojik ana özdeklere temelde kireç içeriğince zengin olduğundan buralardaki kimyasal ayrışma orta seviyededir. Benzer şekilde kalsiyum ve magnezyum iyonlarının yoğunluğu ayrışma ürünleri ile tepkimeye girerek toprağın pH değerini 7' nin yukarısında veya başka bir anlatımla ortam tepkimesini nötr, hafif veya orta alkali seviyesinde tutar ve buda kimyasal ayrışmayı yavaşlatır. Toprakların doğal su içeriği veya tarla rutubet kapasitesi doygunluk sınırlarının üzerine çıktığında, böyle topraklar akıcı (viskoz) bir konum alır ve sonuçta arazi eğimine bağımlı olarak eğim bitim noktalarına doğru hareket ederek taşınır.

Havzada ayrımlı jeolojik özellikli birçok ana özdeğin bulunması erozyon hızı ve derecesini de etkilemektedir. Tortul kökenli ana özdeklere aşınmaya karşı daha dirensiz olmalarından dolayı, ana özdekkere tipi ve eğim artışına bağımlı olarak erozyon hızı da değişmektedir. Bu bağlamda

örnekleme alanı toprakları, eğimin fazlalığı, bitki örtüsünün yok veya seyrek olması nedeniyle tam bir gelişmiş pedon yapısına sahip değildirler ve sonuçta bu toprakların epipedonu olan A horizonu veya yüzey tabakasının büyük bir bölümü aşınmış durumdadır. Yüzey erozyonundan dolayı toprak derinliğine doğru yeterli bir yıkanma ve birikim söz konusu olamadığından gelişmiş bir pedon yapısında bulunması gereklili olan B horizonu çok zayıf veya oluşmamıştır.

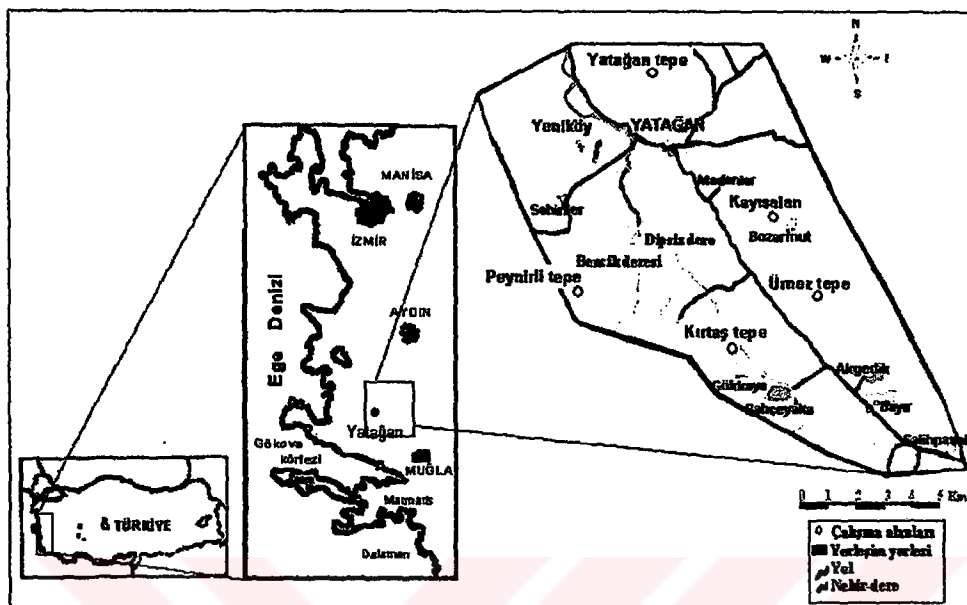
## **7.2. Örnekleme Bölgelerindeki Fizyografik Yapılanmalar , Toprak Taksonomik Özellikleri ve $^{137}\text{Cs}$ İçerikleri**

Araştırma alanına ait topografik haritalar kullanılarak arazide erozyondan korunmuş ve erozyona açık alanlar saptanmıştır. Bu çalışmalar aşamalı olarak gerçekleştirilmiştir.

Arazi etüt çalışmalarında, erozyona açık olan ve tarım yapılmayan alanlardan 3, tarım yapılan alanlarda 2, nadas alanından 1 olmak üzere toplam 6 örnekleme alanı belirlenmiştir (Şekil 7.1).

Araştırma alanını çevreleyen ve sınır oluşturan dağlık araziler üzerinde, bulundukları fizyografik konum, eğim derecesi, ana özdekk, bitki örtüsü türü, dağılımı ve yoğunluğu vb kimi özelliklere bağlı olarak ayrımlı derinlik ve taksonomik birimlerde topraklar oluşmuştur.

Dağlık arazilerin; doruk, tepeüstü düzülükleri ve yamaçlara kadar devam eden hafif eğimli bölgelerini içeren uzantıları sırt; sırt'tan başlayan ve düzülüklerle kadar devam eden dik ya da doğrusal çok dik eğimli bölgeler ise yamaç olarak tanımlanmıştır. Dağlık arazilerin yamaçlarında dik ya da çok dik eğimli araziler gözlenirken, bu araziler, ana özdekklerine ve jeolojik oluşum süreçlerine bağlı olarak Orthent (kolluvial) ve Fluvent (alluvial) toprak oluşumlarına geçiş gösterirler.



Şekil 7.1. Yatağan havzası toprak örnekleme alanları.

Eğimli arazilerde, topografyaya bağlı olarak oluşum gösteren yan dere ya da kuru dereler ile eğimli yatağa sahip doğal drenaj kanalları, yağışlı dönemlerde beraberlerinde taşıdıkları ayrımlı tane iriliğindeki inorganik ve organik özdekleri, sağ ve sol sahillerine bırakarak, dar bir şerit şeklinde uzanan küçük vadileri oluşturmuşlardır. Dağlık arazi tipinde, sırt ve yamaç arazilerin birlikte gözlenmeleri yanında, ayrımlı eğim gruplarını birlikte içermeleriyle oluşan sırt+yamaç kompleksleri saptanmıştır.

Dağlık arazi tipinde dik ya da çok dik eğimler (%20-50) ve bu bağlamda doğal aşınım yoğunluğu, toprak oluşumunu sınırlayan temel öğelerden birisidir. Tepe üstü düzlüğü veya dış bükey şekle sahip sırt araziler ile doğrusal dik ya da çok dik eğim içeren yamaç arazilerde bitki örtüsünün yoğunluk derecesine bağlı olarak ayrımlı toprak derinlikleri saptanmıştır.

Çalışma alanın kuzeyini çevreleyen Yatağan tepe üzerinde sırt ve yamaç araziler benzer eğim derecesinde olmalarına karşın, bitki örtüsünün yoğun olduğu bölgelerde “lithic” kontağa sahip, 10 cm'den daha derin Ochric epipedon içeren Alfisol sırasının Lithic Rhodoxeralf'leri oluşurken, bitki örtüsünün daha seyrek olduğu bölgelerde ise 10 cm'den daha az derinliklerde, zayıf A horizonlu Entisol sırasının Lithic Xerorthent'lerinin olduğu belirlendi. Çok dik-dik iç bükey eğimin belirlendiği ve mevsimsel su erozyonu altında kalan küçük vadi rölyef yapısına sahip alanlarda ise Entisollerin (Typic Xerorthent) olduğu saptandı.

Kretase kalker ana özdekleri üzerinde oluşum gösteren Yatağan tepe üzerindeki topraklar, kil birikim horizonu içerirler ve pedon boyunca seyreltik HCl ile tepkime vermezler veya çok zayıf bir tepkime gösterirler. Toprakların pedonlarında ayrımlı büyülüklükte ve 2-15 cm çaplı ayırmamış kalker parçalarına rastlanılır. Toprak yapısı kuvvetli, küçük, granülerdir. Doğal bitki örtüsü Akdeniz iklim tipine özgü orman veya yoğun maki-fundalıklardır. Bu yoğunluktaki bitkiler toprakları erozyondan önemli derecede korumaktadır (Şekil 7.2).

Yatağan tepe toprak analiz sonuçlarından toprağın mekanik özelliği olan iskelet %'si 3.72-56.65 gibi iki uç arasında dağılm göstermekte, kum içeriği % 34.88-64.88, mil % 28.16-42.16, kil % 4.96-32. sınırlarında değişmekte ve bu özelliklerine göre topraklar tıñ—kumlu tıñ-killi tıñ arasında bir doku özelliği göstermektedir. Nem % 3.44-12.26, özgül ağırlık  $2.51-2.76 \text{ g cm}^{-3}$ , volüm ağırlık  $0.74-1.44 \text{ gr cm}^{-3}$ , toplam porozite % 43.52-73.18, tarla rutubet kapasitesi % 18.48-45.25, solma noktası % 4.24-24.14, yararlı su % 5.82-29.42, dispersiyon % 37.04-63.44, süspansiyon % 2.72-19.44 sınırlarında değişmektedir. Toprağın kimyasal

özelliklerinde olan ve aktif hidrojen iyonunu gösteren toprak tepkimesi (pH) 7.32-7.77 sınırlarında değişmekte ve bu özelliklere göre araştırma toprakları nötr ve hafif alkali özellikleri göstermektedir. Suda çözünebilir toplam tuz içeriğince %< 0.030-0.049 sınırlarında dağılım gösterirken bu özelliklere göre bu tip topraklar sınıf 0 yani tuzsuz topraklar olarak tanımlanırlar. Kireç ( $\text{CaCO}_3$ ) içeriğince %7.87-54.14, organik madde %1.57-2.31, değişim katyonlar toplamı 14.72-26.56 me /100g, katyon değişim sigası 14.72-26.56 me/100g sınırları arasında dağılım göstermektedir. Bu topraklarda  $^{137}\text{Cs}$  konsantrasyonlarının toprak horizonlarına dağılımı 12.46-133.23  $\text{Bq kg}^{-1}$  arasında değiştiği belirlenmiştir (Çizelge 7.1, Çizelge 7.2).



Şekil 7.2. Kretase kalker ana özdekleri üzerinde oluşum gösteren Yatağan tepenin genel görünümü.

**Çizelge 7.1. Yatağan Tepe Üzerinde Oluşum Gösteren Typic Rhodoxeralf (N2), Lithic Rhodoxeralf (N1, N3, N4, N5, N6, N7) ve Typic Xerorthent (N8) Büyük Toprak Grubu Örneklerinin Fiziksel Analiz Sonuçları**

Pedon No	Derinlik (cm)	İstekelet (%)	Kum (%)	Mil (%)	Kil (%)	Bünye	Nem (%)	Özgül Ağırlık (g/cm <sup>3</sup> )
N1A	0-4	19.56	52.88	34.16	12.96	Kumlu Tin	6.99	2.62
N1 Bt	4-29	30.67	39.88	39.16	20.96	Tin		2.60
N1 R	29+					Kretase kalker ana kaya		
N2 Ah	0-4	20.60	42.88	30.16	26.96	Kumlu Tin	10.75	2.76
N2 Bt	4-9	28.34	36.88	32.16	30.96	Kumlu Tin		2.59
N2 AC	9-18	32.87	38.88	38.16	22.96	Tin		2.54
N3 A	0-8	11.60	44.88	36.16	18.96	Tin	8.48	2.55
N3 Bt	8-10	26.48	44.88	42.16	12.96	Tin		2.52
N3 R	10+					Kretase kalker ana kaya		
N4 Ah	0-6	23.96	54.88	28.16	16.96	Tin	7.77	2.57
N4 Bt	6-10	56.65	44.88	34.16	20.96	Tin		2.59
N4 R	10+					Kretase kalker ana kaya		
N5 A	0-8	28.86	36.88	38.16	24.96	Kumlu Tin	3.44	2.70
N5 R	8+					Kretase kalker ana kaya		
N6 Ah	0-10	3.72	64.88	30.16	4.96	Tin	12.27	2.61
N6 AC	10-20	17.50	48.88	34.16	16.96	Tin	12.26	2.59
N6 R	22+					Kretase kalker ana kaya		
N7 A	0-15	21.60	64.88	30.16	4.96	Tin	8.72	2.66
N7 AC	15-21	48.22	34.88	32.16	32.96	Killi Tin		2.51
N7 R	21+					Kretase kalker ana kaya		
N8 A	0-8	5.80	50.88	36.16	12.96	Tin	6.59	2.55
N8 AC	8-24	13.76	34.88	32.88	32.24	Killi Tin		2.53
N8 R	24+					Kretase kalker ana kaya		

Çizelge 7.1.'in devamı

Pedon No	Derinlik (cm)	Volum Ağırlık (g/cm <sup>3</sup> )	Toplam Porozit Kapasitesi (%)	Tarla Noktası (%)	Solma Noktası (%)	Yararlı Su (%)	Dispersiyon (%)	Süspansiyon (%)
N1A 0-4	1.07	59.16	24.90	18.66	6.24	45.04	11.44	
N1 Bt 4-29			26.56	19.65	6.91	52.04		13.44
N1 R 29+				Kretase kalker ana kaya				
N2 Ah 0-4	0.74	73.18	45.25	16.00	29.25	37.04	11.44	
N2 Bt 4-9			35.71	24.14	11.57	43.04	11.44	
N2 AC 9-18			35.25	25.16	10.09	47.04	9.44	
N3 A 0-8	0.91	64.31	29.93	18.85	11.08	49.04	15.44	
N3 Bt 8-10			28.48	16.56	11.92	55.04	19.44	
N3 R 10+				Kretase kalker ana kaya				
N4 Ah 0-6	0.90	64.98	30.5	10.92	19.58	43.04	7.44	
N4 Bt 6-10			27.33	16.52	10.81	49.04	15.44	
N4 R 10+				Kretase kalker ana kaya				
N5 A 0-8	1.04	59.11	18.48	12.66	5.82	37.04	9.44	
N5 R 8+				Kretase kalker ana kaya				
N6 Ah 0-10	0.99	62.06	33.66	4.24	29.42	47.04	12.72	
N6 AC 10-20	0.84	63.70	31.64	22.63	9.01	59.44	10.72	
N6 R 22+				Kretase kalker ana kaya				
N7 A 0-15	1.30	51.12	26.80	20.72	6.08	55.44	2.72	
N7 AC 15-21			25.98	18.56	7.42	63.44	2.72	
N7 R 21+				Kretase kalker ana kaya				
N8 A 0-8	1.44	43.52	30.37	19.56	10.81	57.44	10.72	
N8 AC 8-24			28.40	18.91	9.49	67.44	6.72	
N8 R 24+				Kretase kalker ana kaya				

**Çizelge 7.2. Yatağan Tepenin Üzerinde Oluşum Gösteren Typic Rhodoxeralf (N2), Lithic Rhodoxeralf (N1, N3, N4, N5, N6, N7) ve Typic Xerorthent (N8) Büyük Toprak Grubu Örneklerinin Kimyasal Analizi ve  $^{137}\text{Cs}$  Konsantrasyonları Sonuçları**

Pedon No	Derinlik (cm)	pH	Suda Çöz Toplam Tuz (%)	Kireç (%)	Organik Madde (%)	Degiştirilebilir Katyonlar Na <sup>+</sup> K <sup>+</sup> Ca <sup>++</sup> Mg <sup>++</sup> (me/100g)	Katyon Toplamları (me/100g)	KDK (me/100g)	$^{137}\text{Cs}$ (Bq kg <sup>-1</sup> )
N1A	0-4	7.57	0.049	27.35	1.91	0.21	0.74	14.00	14.72
N1 Bt	4-29	7.75	0.030	28.59	1.77	0.17	0.61	17.78	18.56
N1 R	29+								15.12
N2 Ah	0-4	7.32	0.038	13.26	2.31	0.17	1.35	25.00	26.56
N2 Bt	4-9	7.54	0.038	16.99	2.00	0.26	1.20	23.18	24.64
N2 AC	9-18	7.49	<0.048	11.60	1.71	0.21	1.46	23.93	26.64
N3 A	0-8	7.53	0.048	12.02	2.12	0.21	1.87	17.12	25.60
N3 Bt	8-10	7.65	0.048	12.87	1.26	0.26	1.25	19.29	25.60
N3 R	10+								26.56
N4 Ah	0-6	7.53	0.049	15.75	2.16	0.21	1.69	19.54	21.44
N4 Bt	6-10	7.54	<0.030	13.67	1.73	0.17	0.87	16.66	17.92
N4 R+	10+								22.4
N5 A	0-8	7.77	<0.030	38.62	2.21	0.13	0.74	13.85	22.72
N5 R	8+								22.72
N6 Ah	0-10	7.63	<0.030	7.21	2.06	0.39	1.71	20.20	22.08
N6 AC	10-20	7.74	<0.030	7.21	1.57	0.21	1.51	19.72	19.20
N6 R	22+								20.80
N7 A	0-15	7.68	0.043	10.36	2.02	0.21	0.84	20.85	22.08
N7 AC	15-21	7.74	0.040	15.91	1.73	0.21	0.87	21.32	22.40
N7 R	21+								22.40
N8 A	0-8	7.52	0.042	7.87	2.21	0.19	1.61	20.92	15.00
N8 AC	8-24	7.66	0.037	54.14	1.83	0.39	1.28	20.91	42.29
N8 R	24+								12.46

Kretase kalker ana kaya

Kretase kalker ana kaya

Kretase kalker ana kaya

Kretase kalker ana kaya

Kretase kalker ana kaya

Kretase kalker ana kaya

Kretase kalker ana kaya

Kretase kalker ana kaya

Kretase kalker ana kaya

Kretase kalker ana kaya

Kretase kalker ana kaya

Kretase kalker ana kaya

Kretase kalker ana kaya

Kretase kalker ana kaya

Kretase kalker ana kaya

Kretase kalker ana kaya

topraklar olarak tanımlanırlar. Kireç ( $\text{CaCO}_3$ ) içeriğince % 4.31-29.67, organik madde % 1.61-2.31, değişebilir katyonlar toplamı 9.28-17.92 me/100g, katyon değişim sigası 9.28-17.92 me/100g sınırları arasındadır.  $^{137}\text{Cs}$  konsantrasyonlarının 54.96-180.12  $\text{Bq kg}^{-1}$  arasında değiştiği belirlenmiştir (Çizelge 7.3, Çizelge 7.4).



Şekil 7.3. Peynirli tepenin genel görünümü.

Havzanın kuzeybatısında uzanan Peynirli tepenin sırt bölümü % 50'ye yakın eğim gösterirken, yoğun olarak maki-funda ve çam ağaçları ile örtülüdür ve sonuçta çok dik eğime sahip olmasına rağmen, erozyondan çok fazla etkilenmemiştir. Erozyona uğramış alanlar ise, tarımsal amaçla açılmış alanlardır. Buradaki doğal bitki örtüsü tahrif edilmiş, yerine zeytin fidanları dikilmiştir. Eğimin fazlalığına koşut olarak, toprak yüzeyinde aşınımı önleyecek herhangi bir yeşil örtünün bulunmamasından dolayı erozyon başat düzeydedir. Peynirli tepe, sırt+yamaç kompleksi olarak isimlendirilen karışık eğim birliklerine sahip, fliş-kalker ana özdeklere üzerinde oluşan yüzeysel-orta derin, dik ya da çok dik eğimli toprakları içerir. Bu topraklar, toprak derinliği yüzeysel olan alanlarda Lithic Xerorthent, orta toprak derinliğine sahip olan alanlar ise Typic Xerorthent olarak tanımlanırlar (Şekil 7.3).

Peynirli tepe toprak analiz sonuçlarından toprağın mekanik özelliği olan iskelet % 39.54-64.52 sınırları arasında dağılım göstermekte, kum içeriği % 40.88-58.88, mil % 30.88-36.88, kil % 8.24-24.24. sınırlarında değişmekte ve bu verilere göre topraklar tıin—kumlu tıin arasında bir doku özelliği göstermektedir. Nem % 5.92-6.75, özgül ağırlık g cm<sup>-3</sup> 2.60-2.70, volüm ağırlık 0.95-1.53 g cm<sup>-3</sup>, toplam porozite % 43.33-63.46, tarla rutubet kapasitesi % 18.23-30.02, solma noktası % 5.90-12.83, yararlı su % 11.27-17.19, dispersiyon % 35.44-61.44, süspansiyon % 6.72-12.72 sınırlarında değişmektedir. Toprağın kimyasal özelliklerinden olan ve aktif hidrojen iyonunu yoğunluğunu gösteren toprak tepkimesi (pH) 7.69-7.87 sınırlarında değişmekte ve bu özelliklere göre araştırma toprakları hafif alkali özelliği göstermektedir. Suda çözünebilir toplam tuz içeriğince % < 0.030-0.041 sınırlarında dağılım gösterirken bu özelliklere göre bu tip topraklar sınıf 0 yani tuzsuz

**Çizelge 7.3. Peynirli Tepe Üzerinde Oluşum Gösteren Lithic Xerorthent (N10, N11) ve Typic Xerorthent (N9, N12) Büyüük Toprak Grubu Örneklerinin Fiziksel Analiz Sonuçları**

Pedon No	Derinlik (cm)	İskelet (%)	Kum (%)	Mil (%)	Kıl (%)	Bünye	Nem (%)	Özgül Ağırlık ( $\text{g/cm}^3$ )
N9 A	0-13	58.52	50.88	30.88	18.24	Tıı	6.75	2.60
N9 AC	13-24	64.52	42.88	32.88	24.24	Tıı		
N9 C	24+					Kretase kalker ana kaya		
N10 A	0-12	49.00	58.88	32.88	8.24	Tıı	6.67	2.67
N10 AC	12-18					Çok yoğun kalker ve sıst parçalan		
N10 C	18+					Çok yoğun kalker ve sıst parçalan		
N11 A	0-8	62.07	58.88	30.88	10.24	Kumlu Tıı		2.68
N11 AC	8-12					Çok yoğun kalker ve sıst parçalan		
N11 C	12+					Çok yoğun kalker ve sıst parçalan		
N12 A	0-12	39.54	40.88	36.88	22.24	Kumlu Tıı	5.92	2.70
N12 C1	12-20	55.70	56.88	30.88	12.24	Kumlu Tıı		2.62
N12 C2	20-32	49.06	56.88	30.88	12.24	Kumlu Tıı		2.60
N12 C3	32+					Çok yoğun kalker ve sıst parçalan		

Çizelge 7.3.'ün devamı

Pedon No	Derinlik (cm)	Volum Ağırlık (g/cm <sup>3</sup> )	Toplam Porozite (%)	Tarla Kapasitesi (%)	Solma Noktası (%)	Yararlı Su (%)	Dispersiyon (%)	Süsponsiyon (%)
N9 A	0-13	0.95	63.46	30.02	12.83	17.19	61.44	12.72
N9 AC	13-24			27.69	12.20	15.49	59.44	12.72
N9 C	24+							
N10 A	0-12	1.14	57.30	26.28	11.27	15.01	47.44	10.72
N10 AC	12-18							
N10 C	18+							
N11 A	0-8	1.50	41.19	28.08	11.04	17.04	35.44	6.72
N11 AC	8-12							
N11 C	12+							
N12 A	0-12	1.53	43.33	18.23	06.96	11.27	35.44	7.12
N12 C1	12-20			20.10	06.35	13.75	38.72	9.28
N12 C2	20-32			18.56	05.90	12.66	38.72	11.28
N12 C3	32+							

Kretase kalker ana kaya

Cök yoğun kalker ve sıst parçaları

Cök yoğun kalker ve sıst parçaları

Cök yoğun kalker ve sıst parçaları

Cök yoğun kalker ve sıst parçaları

Cök yoğun kalker ve sıst parçaları

**Çizelge 7.4. Peynirli Tepé Üzerinde Oluşum Gösteren Lithic Xerorthent (N10, N11) ve Typic Xerorthent (N9, N12) Büyüük Toprak Grubu Örneklerinin Kimyasal Analiz ve  $^{137}\text{Cs}$  Konsantrasyonları Sonuçları**

Pedon No	Derinlik (cm)	pH	Suda Çöz Toplam Tuz (%)	Kireç (%)	Organik Madde (%)	Değişebilir Katyonlar Na <sup>+</sup> K <sup>+</sup> Ca <sup>++</sup> + Mg <sup>++</sup> (me/100g)	Katyon Toplam (me/100g)	KDK (me/100g)	$^{137}\text{Cs}$ (Bq kg <sup>-1</sup> )
N9 A	0-13	7.69	0.041	4.31	2.15	0.10 0.64	17.11	14.72	162.28
N9 AC	13-24	7.77	0.038	5.39	1.61	0.15 0.51	16.30	16.96	35.99
N9 C	24+					Cök yoğun kalker ve sıst parçaları			
N10 A	0-12	7.80	<0.030	23.62	1.67	0.17 0.53	14.06	10.24	76.93
N10 AC	12-18					Cök yoğun kalker ve sıst parçaları			
N10 C	18+								
N11 A	0-8	7.76	<0.030	20.22	1.97	0.13 0.43	9.71	10.24	91.58
N11 AC	8-12					Cök yoğun kalker ve sıst parçaları			
N11 C	12+								
N12 A	0-12	7.79	<0.030	29.67	2.31	0.1 0.35	9.79	17.92	180.12
N12 C1	12-20	7.87	<0.030	24.45	1.86	0.10 0.15	9.03	09.28	9.28
N12 C2	20-32	7.86	<0.030	26.02	1.71	0.09 0.15	14.80	15.04	101.29
N12 C3	32+					Cök yoğun kalker ve sıst parçaları			

Çalışma alanın batısındaki Kırtas tepenin sırt ve yamaç arazileri benzer eğim derecesinde olmalarına karşın, bitki örtüsünün yoğun olduğu bölgelerde lithic kontağa sahip olmayan, 10 cm'den daha derin Ochric epipedon içeren Alfisoller (Typic Rhodoxeralf) oluşurken, bitki örtüsünün daha seyrek olduğu bölgelerde ise lithic kontağa sahip, 10 cm'den daha az derinliklerde, zayıf A horizonlu Alfisollerin (Lithic Rhodoxeralf) olduğu belirlendi. Kretase kalker ana özdekleri üzerinde oluşan Peynirli tepe üzerindeki topraklar, kil birikim horizonu içerirler ve pedon boyunca seyreltik HCl ile tepkime göstermezler veya çok zayıf bir tepkime verirler. Toprak pedonlarında ayrımlı büyülüklükte ve 3-8 cm çaplı ayırmamış kalker-marn parçalarına rastlanılır. Toprak yapısı kuvvetli, küçük, granülerdir. Tepenin sırt bölgeleri Akdeniz iklim tipine özgü olan orman yada yoğun maki-funda doğal bitki örtüsü ile örtülüdür. Bu bitkisel yoğunluk toprakları önemli derecede erozyondan korumaktadır. Ancak tepenin erozyona aşırı uğramış yamaç ve etek bölgelerinde bitki örtüsü oldukça zayıftır. Kretase kalker kaya blokları yer yer toprak yüzeyinde mostra verirler (Şekil 7.4).

Kırtas tepe toprak analiz sonuçlarından toprağın mekanik özelliği olan iskelet % 1.71-30.83 sınırlarında dağılım gösterirken, kum içeriği % 26.88-34.88, mil % 34.16-38.88, kil % 26.24-38.96. arasındadır ve bu özelliklerine göre topraklar tınlı-tınlı doku özellikleri göstermektedir. Nem % 4.99-9.94, özgül ağırlık  $2.51-2.62 \text{ g/cm}^3$ , volüm ağırlık 0.89-1.49  $\text{g/cm}^3$ , toplam porozite % 40.87-66.03, tarla rutubet kapasitesi % 7.67-62.56, solma noktası % 12.54-17.18, yararlı su % 6.87-46.78, dispersiyon % 60.72-68.72, süspansiyon % 3.28-13.28 sınırlarında değişmektedir. Toprağın aktif hidrojen iyonunu gösteren toprak tepkimesi (pH) 6.56-7.91 sınırlarında değişmekte ve bu özelliklere göre bu topraklar hafif asit,

nötr, hafif alkali, özellikleri göstermektedir. Suda çözünebilir toplam tuz içeriği % 0.032-0.052 sınırlarında dağılım gösterirken bu özelliklere göre bu topraklar sınıf 0 yani tuzsuz topraklar olarak tanımlanırlar. Kireç ( $\text{CaCO}_3$ ) içeriğince % 1.57-8.29, organik madde % 1.85-2.17, değişebilir katyonlar toplamı 14.40-19.84 me/100g, katyon değişim sigası 14.40-19.84 me /100g sınırları arasında dağılım göstermektedir.  $^{137}\text{Cs}$  konsantrasyonlarının ise 9.46-70.06  $\text{Bq kg}^{-1}$  arasında değiştiği belirlenmiştir (Çizelge 7.5, Çizelge 7.6).



Şekil 7.4. Kırtaş tepenin genel görünümü.

Çizelge 7.5. Kırtaş Tepe Üzerinde Oluşum Gösteren Typic Rhodoxeralf (N13, N16) ve Lithic Xerorthent (N14, N15) Topraklarının Fiziksel Analiz Sonuçları

Pedon No	Derinlik (cm)	İskelet (%)	Kum (%)	Mil (%)	Kil (%)	Bünye	Nem (%)	Özgül Ağırlık (g/cm <sup>3</sup> )
N13 A	0-10	5,64	30,88	34,88	34,24	Tin	4,99	2,53
N13 Bt	10-22	6,46	30,88	36,88	32,24	Kılıç Tin		2,57
N13 C	22-32	1,71	28,88	36,88	34,24	Kılıç Tin		2,59
N13 R	32+					Kretase kalker ana kaya		
N14 Ah	0-6	30,83	34,88	38,88	26,24	Kılıç Tin	7,47	2,62
N14 R	6+					Kretase kalker ana kaya		
N15 A	0-6	11,64	32,88	38,88	28,24	Kılıç Tin	7,02	2,59
N15 R	6+					Kretase kalker ana kaya		
N16 A	0-10	7,49	30,88	36,16	32,96	Kılıç Tin	9,94	2,52
N16 AC	10-22	12,41	26,88	34,16	38,96	Kılıç Tin		2,51
N16 R	22+					Kretase kalker ana kaya		

Çizelge 7.5'in devamı

Pedon No	Derinlik (cm)	Volum Ağrlık (g/cm <sup>3</sup> )	Toplam Porozite (%)	Tarla Kapasitesi (%)	Solma Noktası (%)	Yararlı Su (%)	Dispersiyon (%)	Suspansiyon (%)
N13 A	0-10	1.00	60.47	22.03	12.82	9.21	60.72	13.28
N13 Bt	10-22			24.02	13.02	11.00	62.72	9.28
N13 C	22-32			24.60	12.54	11.04	62.72	7.28
N13 R	32+			Kretase kalker ana kaya				
N14 Ah	0-6	0.89	66.03	24.05	17.18	6.87	64.72	5.28
N14 R	6+			Kretase kalker ana kaya				
N15 A	0-6	1.54	45.62	7.67	27.77	10.10	64.72	7.28
N15 R	6+			Kretase kalker ana kaya				
N16 A	0-10	1.49	40.87	62.56	15.78	46.78	66.72	5.28
N16 AC	10-22			28.01	16.76	11.25	68.72	3.28
N16 R	22+			Kretase kalker ana kaya				

**Çizelge 7.6. Kırtaş Tepede Oluşum Gösteren Typic Rhodoxeralf (N13, N16) ve Lithic Xerorthent (N14, N15) Toprak Grubunun Kimyasal Analizi ve  $^{137}\text{Cs}$  Konsantrasyonları Sonuçları**

Ürnez tepe ve Kayışalan mevki, marn-marnlı kalker ana özdeklere içerirler. Bu ana özdek üzerindeki topraklar seyreltik HCl ile kuvvetli köpürürlerken, A/C pedon yapısı gösterirler. Organik madde niceliği toprak yüzeyinden toprak derinliğine doğru azalarak devam eder. Pedon boyunca artan  $\text{CaCO}_3$  niceliğine sahiptirler. Dağlık arazi tipi yamaç rölyefi içerisinde, eğimleri % 10-20 arası değişir. Tepenin sırt rölyefli, eğimi fazla olan bölümü yoğun maki funda örtüsü ile kaplı iken yamaç ve etek bölgeleri tarım arazisi olarak kullanılmaktadır. Ürnez tepe ve kayış alanı mevki toprakları Typic Rendoll olarak sınıflandırılmıştır (Şekil 7.5, Şekil 7.6).

Ürnez tepe toprak analiz sonuçlarından toprağın mekanik özelliği olan iskelet % 1.85-26.84 arasında dağılım gösterirken, kum içeriği % 25.44-63.68, mil % 18.00-36.00, kil % 14.24-52.56. sınırlarında değişmekte ve bu özelliklerine göre topraklar kil-killi tınlı-kumlu killı tınlı arasında bir doku özelliğindedirler. Nem % 2.38-5.50, özgül ağırlık 2.39-2.60, volüm ağırlık 1.02-1.29 g/cm<sup>3</sup>, toplam porozite % 35.39-59.20, tarla rutubet kapasitesi % 20.68-30.14, solma noktası % 15.56-26.00, yararlı su % 0.45-12.54, dispersiyon % 37.92-67.92, süspansiyon % 10.48-24.48 sınırlarında değişmektedir. Toprağın kimyasal özelliklerinde olan ve aktif hidrojen iyonunu gösteren toprak tepkimesi (pH) 7.59-7.86 sınırlarında değişmekte ve bu özelliklere göre araştırma toprakları, hafif alkali, özellikleri göstermektedir. Suda çözünebilir toplam tuz içeriğince % 0.039-0.086 sınırlarında dağılım gösterirken bu özelliklere göre bu tip topraklar sınıf 0 yani tuzsuz topraklar olarak tanımlanırlar. Kireç ( $\text{CaCO}_3$ ) içeriğince % 6.00-21.00, organik madde % 1.30-2.47, değişim katyonlar toplamı 12.80-19.52 me/100g, katyon değişim sigası 12.80-19.52 me/100g sınırları arasında dağılım göstermektedir.

Toprak horizonlarına göre  $^{137}\text{Cs}$  konsantrasyonları dağılımının 2.89-35.90 Bq  $\text{kg}^{-1}$  arasında değiştiği saptanmıştır (Çizelge 7.7, Çizelge 7.8).



Şekil 7.5. Ürmez tepenin genel görünümü.

**Cizelge 7.7. Ürmez Tepede Üzerinde Oluşum Gösteren Typic Rendoll (N17, N18, N19, N20, N21, N22) Toprak Grubu Ömeklerinin Fiziksel Analiz Sonuçları**

Pedon No	Derinlik (cm)	İskelet (%)	Kum (%)	Mil (%)	Kil (%)	Bütne	Nem (%)	Özgül Ağırlık (g/cm <sup>3</sup> )
N17 A	0-15	12.32	33.44	34.00	32.56	Killi Tun	2.38	2.61
N17 AC1	15-25	25.17	37.44	28.00	34.56	Killi Tun		2.54
N17 AC2	25-39	26.02	27.44	36.00	36.56	Killi Tun		2.46
N17 C	39+	1.85	25.44	22.00	52.56	Kil		2.13
N18 A	0-11	26.84	33.44	30.00	36.56	Killi Tun	3.98	2.46
N18 AC	11-24	18.39	33.44	30.00	36.56	Killi tun		2.59
N18 C	24+	18.71	41.44	28.00	30.56	Killi tun		2.60
N19 Ap	0-13	7.68	29.44	18.00	52.56	Kil	5.5	2.50
N19 AC	13-23	6.65	33.44	24.00	42.56	Kil		2.55
N19 C	23-50	5.50	37.44	30.00	32.45	Killi tun		2.56
N20 A	0-7	22.33	49.68	24.08	26.24	Kumlu-Killi Tun	3.3	2.45
N20 AC	7-15	23.33	49.68	26.08	24.24	Kumlu-Killi tun		2.54
N20 C	15-39	3.79	47.68	30.08	22.24	Tun		2.56
N21 A	0-13	7.50	63.68	22.08	14.24	Kumlu tun	2.38	2.39
N21 AC	13-31	11.88	61.68	20.08	18.24	Kumlu Tun		2.44
N21 C1	31-59	8.77	63.68	18.08	18.24	Kumlu tun		2.50
N21 C2	59-75	7.87	39.68	30.08	30.24	Killi tun		2.55
N22 Ap	0-12	8.37	61.68	20.08	18.24	Kumlu tun	3.47	2.45
N22 AC	12-34	6.56	51.28	26.56	22.16	Kumlu Killi tun		2.46
N22 C1	34-53	6.06	51.28	22.56	26.16	Kumlu Killi Tun		2.55
N22 C2	53-65	14.13	47.28	20.56	32.16	Kumlu Kil		2.56

Çizelge 7.7'nin devamı

Pedon No	Derinlik (cm)	Volum Ağırılık (g/cm <sup>3</sup> )	Toplam Porozite (%)	Tarla Kapasitesi (%)	Solma Noktası (%)	Yararlı Su (%)	Dispersiyon (%)	Suspansiyon (%)
N17 A	0-15	1.05	35.39	29.68	24.75	4.93	59.92	12.48
N17 AC1	15-25		28.92	22.13	6.79	59.92	10.48	
N17 AC2	25-39		21.32	19.05	2.27	67.92	12.48	
N17 C	39+		23.98	26.00	3.98	49.92	20.48	
N18 A	0-11	1.10	55.28	25.86	25.41	0.45	55.92	16.48
N18 AC	11-24		30.14	20.99	9.15	59.92	14.48	
N18 C	24+		23.33	19.66	3.67	59.92	12.48	
N19 AP	0-13	1.02	59.20	25.90	24.09	1.81	51.92	16.48
N19 AC	13-23		27.64	24.84	2.80	63.92	12.48	
N19 C	23-50		27.97	24.45	3.52	67.92	14.48	
N20 A	0-7	1.29	47.34	26.14	20.51	5.63	51.92	16.48
N20 AC	7-15		24.47	21.63	2.84	53.92	12.48	
N20 C	15-39		26.79	18.92	7.87	59.92	16.48	
N21 A	0-13	1.06	55.64	20.68	16.05	4.63	37.92	14.48
N21 AC	13-31		21.86	16.35	5.51	44.48	14.48	
N21 C1	31-59		21.36	15.56	5.80	42.48	14.48	
N21 C2	59-75		26.88	21.60	5.28	60.48	10.48	
N22 AP	0-12	1.28	47.75	22.08	12.92	9.16	42.48	18.48
N22 AC	12-34		25.02	18.02	7.00	46.48	20.48	
N22 C1	34-53		24.55	16.09	8.46	50.48	24.48	
N22 C2	53-65		29.33	16.79	12.54	51.48	14.48	

**Çizelge 7.8. Ürmez Tepe Üzerinde Oluşum Gösteren Typic Rendoll (N17, N18, N19, N20, N21, N22) Toprak**

**Grubunun Kimyasal Analiz ve  $^{137}\text{Cs}$  Konsantrasyonları Sonuçları**

Pedon No	Derinlik (cm)	pH	Suda Çöz Toplam Tuz (%)	Kireç (%)	Organik Madde (%)	Değişebilir Katyonlar Na <sup>+</sup> K <sup>+</sup> Ca <sup>++</sup> + Mg <sup>++</sup> (me/100g)	Katyon Toplamı (me/100g)	KDK (me/100g)	$^{137}\text{Cs}$ (Bq kg <sup>-1</sup> )
N17 A	0-15	7.59	0.064	18.40	2.38	0.26	1.23	17.07	18.56
N17 AC1	15-25	7.68	0.059	18.56	2.11	0.30	0.69	14.69	15.68
N17 AC2	25-39	7.77	0.049	18.84	1.83	0.19	0.38	14.79	15.36
N17 C	39+	7.76	0.07	7.80	1.30	0.17	0.33	15.18	15.68
N18 A	0-11	7.64	0.063	21.00	2.33	0.19	1.00	15.50	16.69
N18 AC	11-24	7.73	0.055	19.72	1.85	0.23	0.69	14.48	14.40
N18 C	24+	7.64	0.077	18.96	1.51	0.17	0.56	14.95	15.68
N19 Ap	0-13	7.68	0.075	7.04	2.46	0.21	1.46	14.65	16.32
N19 AC	13-23	7.73	0.070	8.96	1.82	0.21	1.48	15.27	16.69
N19 C	23-50	7.70	0.086	7.60	1.66	0.23	1.28	15.45	16.69
N20 A	0-7	7.64	0.058	9.76	2.47	0.17	1.25	13.62	15.04
N20 AC	7-15	7.72	0.047	10.32	1.98	0.19	0.79	15.32	16.32
N20 C	15-39	7.74	0.070	6.00	1.61	0.21	1.10	14.69	16.00
N21 A	0-13	7.73	0.04	6.08	2.13	0.19	1.51	11.42	13.12
N21 AC	13-31	7.75	0.039	7.60	2.06	0.17	1.17	11.46	12.80
N21 C1	31-59	7.75	0.039	6.72	1.81	0.17	0.69	11.94	12.80
N21 C2	59-75	7.85	0.059	6.00	1.66	0.28	0.84	13.92	15.04
N22 AP	0-12	7.76	0.045	6.08	2.16	0.21	1.10	13.09	14.40
N22 AC	12-34	7.72	0.046	8.08	1.93	0.22	0.84	13.33	15.36
N22 C1	34-53	7.72	0.048	10.96	1.81	0.26	0.76	12.42	13.44
N22 C2	53-65	7.86	0.053	13.76	1.61	0.34	0.79	18.39	19.52

Kayışalan tepe ve bencik deresi (Şekil 7.7) toprak analiz sonuçlarından toprağın mekanik özelliği olan iskelet %1.55-35.92 arasında dağılım göstermekte, kum içeriği %31.60-77.28, mil %8.56-51.64, kil %14.16-36.32 sınırlarında değişmekte ve bu özelliklerine göre topraklar killi tırmıklu killi tırn arasında bir doku özelliği göstermektedir. Nem %7.00-19.34, özgül ağırlık 2.36-2.68 g/cm<sup>3</sup>, volüm ağırlık 0.84-1.76 g/cm<sup>3</sup>, toplam porozite %31.78-%65.02, tarla rutubet kapasitesi %21.35-45.86, solma noktası %17.86-35.05, yararlı su %1.94-20.02, dispersiyon %30.48-73.08, süspansiyon %8.48-30.72 sınırlarında değişmekte. Toprağın kimyasal özelliklerinde olan ve aktif hidrojen iyonunu gösteren toprak tepkimesi (pH) 7.54-7.93 sınırlarında değişmekte ve bu özelliklere göre araştırma toprakları hafif alkali- orta alkali özellikleri göstermektedir. Suda çözünebilir toplam tuz içeriğince %0.010-0.120 sınırlarında dağılım gösterirken bu özelliklere göre bu tip topraklar sınıf 0 yani tuzsuz topraklar olarak tanımlanırlar. Kireç ( $\text{CaCO}_3$ ) içeriğince %2.13-23.69, organik madde %1.21-2.35, değişim katyonlar toplamı 10.56-29.76 me/100g, katyon değişim sigası 10.56-29.76 me/100g sınırları arasında dağılım göstermektedir. <sup>137</sup>Cs konsantrasyonlarının 4.36-32.85 Bq kg<sup>-1</sup>arasında değiştiği hesaplanmıştır (Çizelge 7.9, Çizelge 7.10).



Şekil 7.6. Tarım arazisi olarak kullanılan Kayışalan tepenin genel görünümü



Şekil 7.7. Bencik tepe (arkada) ve önündeki Bencik deresi

Çizelge 7.9. Kayışalan Tepe ve Bencik Deresi Çevresinde Oluşan Typic Rendoll (N23, N24, N25, N26, N27, N28), Typic Xerorthent (N29) Typic Xerofluvent (N30, N31) Büyük Toprak Gruplarının Fiziksel Analiz Sonuçları

Pedon No	Derinlik (cm)	İskelet (%)	Kum (%)	Mil (%)	Kıl (%)	Bünye	Nem (%)	Özgül Ağrlık (g/cm³)
N23 A	0-18	16.70	63.28	20.56	16.16	Kumlu Tın	14.28	2.61
N23 C	18+	4.17	49.28	20.56	30.16	Kumlu Killi tın	10.03	2.66
N24 A	0-7	19.30	47.28	26.56	26.16	Kumlu killi tın	16.22	2.36
N24 AC	7-24	35.92	77.28	8.56	14.16	Kumlu Tın	19.34	2.45
N24 C	24+	6.43	71.28	12.16	16.16	Kumlu Tın	11.79	2.43
N25 A	0-8	11.45	45.28	32.56	22.16	Tın	14.59	2.56
N25 AC	8-20	11.10	41.28	30.56	28.16	Killi Tın	10.21	2.62
N25 C	20+	7.91	37.28	28.56	34.16	Killi tın	10.83	2.65
N26 A11	0-11	25.51	46.4	31.28	22.32	Kumlu killi Tın	8.17	2.49
N26 A12	11-20	6.70	38.4	27.28	34.32	Killi Tın	11.02	2.56
N26 AC	20-34	1.55	56.4	11.28	32.32	Kumlu Killi Tın	11.39	2.45
N26 C	34+	18.12	48.4	31.28	20.32	Tın	13.38	2.61
N27 A11	0-9	8.95	44.4	29.28	26.32	Tın	15.24	2.55
N27 A12	9-21	26.28	50.4	27.28	22.32	Kumlu Killi tın	12.40	2.59
N27 AC	21+	22.49	46.4	25.28	28.32	Kumlu Killi tın	15.53	2.61
N28 A	0-23	11.73	40.4	23.28	36.32	Killi tın	16.66	2.44
N28 AC	23+	4.93	34.4	29.28	36.32	Killi Tın	13.38	2.49
N29 Ap	0-21	14.98	67.28	18.56	14.16	Tın	14.02	2.56
N29 C1	21-36	10.92	40.4	29.28	30.32	Killi Tın	7.00	2.58
N29 C2	36+	9.94	46.4	19.28	34.32	Kumlu Killi Tın	9.77	2.63
N30 A	0-16	22.15	35.6	47.64	16.76	Tın	17.13	2.58
N30 C1	16-31	18.25	37.6	43.64	18.76	Tın	19.26	2.61
N30 C2	31+	19.75	35.6	47.64	16.76	Tın	15.12	2.69
N31 Ap	0-14	14.56	39.6	47.64	12.76	Tın	15.23	2.63
N31 C1	14-32	12.33	39.6	45.64	14.76	Tın	14.54	2.66
N31 C2	32-37	19.29	31.6	51.64	16.76	Milli tın	9.56	2.68

## Çizelge 7.9'un devamı

Pedon No	Derinlik (cm)	Volum Ağırılık ( $\text{g}/\text{cm}^3$ )	Toplam Porozite (%)	Tarla Kapasitesi (%)	Solma Noktası (%)	Yararlı Su (%)	Disp. (%)	Susp. (%)
N23 A	0-18	1.56	40.22	39.96	19.94	20.02	38.48	18.48
N23 C	18+	1.52	42.85	37.38	17.99	19.39	52.48	14.48
N24 A	0-7	0.84	64.40	35.21	26.59	7.98	32.48	12.48
N24 AC	7-24	1.01	58.77	30.54	27.23	3.31	30.48	8.48
N24 C	24+	0.85	65.02	32.57	28.24	4.33	36.48	10.48
N25 A	0-8	1.37	46.48	33.40	25.44	7.96	54.48	28.48
N25 AC	8-20	1.32	49.61	32.39	24.40	7.99	58.48	20.48
N25 C	20+	1.35	49.05	38.57	24.06	14.51	65.92	21.92
N26 A11	0-11	1.09	56.22	45.86	28.82	17.04	57.92	9.92
N26 A12	11-20	1.31	48.82	33.81	28.42	5.39	63.92	13.92
N26 AC	20-34	1.35	44.89	21.35	19.41	1.94	67.92	13.92
N26 C	34+	1.34	48.65	40.44	35.05	5.39	55.92	19.92
N27 A11	0-9	1.20	52.94	31.81	25.30	6.51	47.92	9.92
N27 A12	9-21	1.17	54.82	33.29	20.21	13.08	55.92	9.92
N27 AC	21+	1.11	57.47	43.07	33.94	9.13	61.92	9.92
N28 A	0-23	1.18	51.63	27.72	25.21	2.51	57.92	13.92
N28 AC	23+	1.34	46.18	29.94	23.02	6.92	57.92	13.92
N29 Ap	0-21	1.33	48.04	28.42	20.80	7.62	55.92	17.92
N29 C1	21-36	1.58	38.75	37.28	29.40	7.88	59.92	19.92
N29 C2	36+	1.58	39.92	38.56	27.69	10.87	51.92	13.92
N30 A	0-16	1.76	31.78	28.23	19.20	9.03	65.08	30.72
N30 C1	16-31	1.65	36.78	30.64	21.15	9.49	65.08	24.72
N30 C2	31+	1.75	34.94	27.89	22.96	4.93	63.08	26.72
N31 Ap	0-14	1.59	40.15	25.65	17.86	7.79	63.08	28.72
N31 C1	14-32	1.58	40.60	26.98	18.63	8.35	61.08	28.72
N31 C2	32-37	1.54	42.53	27.13	19.12	8.01	73.08	24.72

**Çizelge 7.10. Kayışalan Tepe ve Bencik Dereesi Çevresinde Oluşan Typic Rendoll (N23, N24, N25, N26, N27, N28), Typic Xerorthent (N29) Typic Xerofluvent (N30, N31) Büyük Toprak Gruplarının Kimyasal Analizi ve  $^{137}\text{Cs}$  Konsantrasyonları Sonuçları**

Pedon No	Derinlik (cm)	pH	Suda Çöz Toplam Tuz (%)	Kireç (%)	Organik Madde (%)	Na <sup>+</sup>	Değişebilir Katyonlar (me/100g)	Katyon Toplamı (me/100g)	KDK (me/100g)	$^{137}\text{Cs}$ (Bq kg <sup>-1</sup> )
N23 A	0-18	7.64	0.035	18.72	2.03	0.21	0.79	15.00	16.00	15.65
N23 C	18+	7.88	0.030	20.42	1.85	0.19	0.53	15.92	16.64	5.24
N24 A	0-7	7.84	0.036	21.73	2.21	0.19	1.35	17.02	21.76	30.31
N24 AC	7-24	7.93	0.030<	23.69	1.95	0.17	1.10	0.929	10.56	8.09
N24 C	24+	7.91	0.030	22.05	1.34	0.21	1.10	10.21	11.52	4.36
N25 A	0-8	7.70	0.070	14.18	2.04	0.26	1.61	17.97	19.84	19.15
N25 AC	8-20	7.89	0.049	15.49	2.11	0.23	1.02	15.44	16.69	15.29
N25 C	20+	7.92	0.047	19.10	1.41	0.21	0.89	18.42	19.52	7.52
N26 A11	0-11	7.65	0.120	14.26	2.18	0.26	1.94	19.56	21.12	23.41
N26 A12	11-20	7.72	0.103	4.75	2.13	0.28	1.35	24.04	25.60	7.72
N26 AC	20-34	7.73	0.105	2.13	1.46	0.30	1.23	23.11	24.64	6.15
N26 C	34+	7.80	0.052	17.22	1.21	0.26	0.69	19.21	20.16	6.08
N27 A11	0-9	7.81	0.068	7.13	2.26	0.34	3.53	25.89	29.76	32.85
N27 A12	9-21	7.79	0.057	13.85	1.74	0.23	2.61	18.60	21.44	9.04
N27 AC	21+	7.77	0.053	15.90	1.43	0.36	2.41	18.67	21.44	5.54
N28 A	0-23	7.79	0.072	7.05	1.98	0.28	2.61	21.75	24.64	24.64
N28 AC	23+	7.68	0.010	3.52	1.51	0.21	2.17	25.78	28.16	9.24
N29 Ap	0-21	7.69	0.081	8.85	2.11	0.26	1.38	19.48	18.56	21.20
N29 C1	21-36	7.81	0.067	9.84	1.95	0.23	1.28	20.25	21.76	14.76
N29 C2	36+	7.82	0.068	8.69	1.43	0.21	1.28	18.99	20.48	13.39
N30 A	0-16	7.57	0.045	15.28	2.15	0.41	1.85	15.23	17.49	18.23
N30 C1	16-31	7.54	0.043	14.79	2.01	0.35	1.63	17.16	19.14	19.56
N30 C2	31+	7.86	0.049	14.59	1.85	0.86	1.26	13.58	15.70	16.72
N31 Ap	0-14	7.85	0.054	16.04	2.35	0.44	1.75	11.86	14.05	14.13
N31 C1	14-32	7.85	0.059	15.92	2.15	0.53	1.96	12.53	15.02	15.52
N31 C2	32-37	7.92	0.067	16.00	1.95	0.37	1.63	16.98	19.82	8.63

### 7.3. Toprak Özellikleri ile $^{137}\text{Cs}$ Konsantrasyonları Arasındaki Korelasyon Analizleri

Çalışma alanının ayırmalı bölgelerinden alınan toprak örneklerinin laboratuvar analiz bulguları ile  $^{137}\text{Cs}$  konsantasyonunun toprak pedonu boyunca dağılımları incelenmiştir. Toprak horizonlarına bağlı olarak toprak özellikleri ve  $^{137}\text{Cs}$  konsantrasyonları arasındaki korelasyon katsayıları ( $R^2$ ) belirlenerek ikili ilişkiler ortaya konulmuştur (Çizelge 7.11).

Toprağın ayırmalı horizonlarındaki  $^{137}\text{Cs}$  konsantrasyonları ile bazı toprak özelliklerinin pozitif yönde ilişki gösterdikleri saptanırken, bazı özelliklerde ise bu ilişki negatif bulunmuştur (Çizelge 7.11).

Nükleer silah denemeleri ve reaktör kazaları sonucunda atmosfere dağılan  $^{137}\text{Cs}$ , yağış ile birlikte yeryüzüne düştüğünde katyon özelliği gösteren bu radyonüklid ( $\text{Cs}^+$ ) toprakta negatif elektrik yükü taşıyan kil kolloidleri ve humus (organik madde) tarafından tutulurlar. Bu nedenle topraktaki kil ve organik madde niceliğinin artışına bağlı olarak  $^{137}\text{Cs}$ 'un tutulması da artmaktadır. Yatağan, Kırtış ve Peynirli tepede üst horizontan alınan toprak örneklerinde bu pozitif ilişki belirlenmiştir. Ancak Ürmez ve Kayışalanı tepe topraklarının alt horizonlarında bu ilişki negatif olarak saptanmıştır. Yüksek  $\text{CaCO}_3$  içeriğine sahip olan alt toprak horizonlarında  $\text{Ca}^{++}$  katyonunun başatlığından dolayı  $^{137}\text{Cs}$  adsorbsiyonu düşüktür.  $\text{Ca}^{++}$  katyonu, kil minerallerinin  $^{137}\text{Cs}$ 'un toprakta tutulumunu engellemektedir. Çizelge 7.11'de görüldüğü gibi Ürmez tepenin alt horizonunda da kireç niceliğinin fazlalığından dolayı negatif ilişki belirlenmiştir. Bu sonuçlar, kil ve  $\text{Ca}^{++}$ 'un  $^{137}\text{Cs}$ 'un tutulumu arasındaki negatif ilişkiyide doğrulamaktadır.

Çalışmanın gerçekleştirildiği, ayrımlı ana özdeğe sahip 5 tepenin ayrımlı horizonları incelendiğinde kıl niceliğindeki artışa bağlı olarak  $^{137}\text{Cs}$  konsantrasyonunun arttığı saptanmıştır. Kretase kalker ana özdekleri üzerinde oluşum gösteren Yatağan Tepe, Peynirli Tepe, Kırtas Tepelerde oluşan toprakların kıl artışına bağlı olarak  $^{137}\text{Cs}$  konsantrasyonunun da arttığı saptanmıştır.

Ancak marn ana özdekler üzerinde oluşum gösteren ve  $\text{CaCO}_3$  içeriğince zengin Ürmez ve Kayışalan tepe topraklarının üst horizonlarında bu ilişki pozitif düzeyde saptanırken, alt horizonlarında kıl niceliğinin yüksek olmasına rağmen bu ilişki negatif düzeyde saptanmıştır. Ürmez ve Kayışalanı tepe topraklarının alt horizonlarında  $\text{Ca}^{++}$  katyonu niceliğinin yumuşak, parçalanabilir marn ana özdeğindeki fazlalığı kıl minerallerinin yoğunluğuna rağmen,  $^{137}\text{Cs}$ 'un tutulumunu azalttığı istatistikî olarak belirlenmiştir (Çizelge 7.11). Bu ilişki, toprakta  $\text{Na}^+$ ,  $\text{K}^+$  ve  $\text{Ca}^{++}$  iyonu niceliğinin artışı kıl mineralleri tarafından  $^{137}\text{Cs}$ 'un tutunumunu azaltması, mika mineralleri ve vermiculit kıl mineralleri  $\text{Ca}^{++}$  ve benzer çift değerlikli katyonların varlığı,  $\text{K}^+$  ve benzeri tek değerlikli katyonlardan daha fazla  $^{137}\text{Cs}$  tutmasından kaynaklanmaktadır.

$^{137}\text{Cs}$  toprak tarafından tutunumunu kıl içeriğinden başka organik maddenin varlığı da sağlamaktadır. Organik madde yüksek tamponlama gücü ve katyon değişim kapasitesine sahip olduğundan  $^{137}\text{Cs}$  tutunumunu pozitif yönde etkiler. Bu nedenle Ürmez ve Kayışalanı tepelerinin referans noktalarının yoğun organik madde içeren üst horizonlarında katyon değişim kapasiteleri ve  $^{137}\text{Cs}$  arasında pozitif bir ilişki gözlenirken, organik madde niceliğinin düşük olduğu alt horizonlarında negatif bir ilişki saptanmıştır.

Ayrımlı horizonlardaki  $^{137}\text{Cs}$  dağılımı tüm örnekleme alanlarındaki pedonlarda kil ve organik madde miktarı ile pozitif, kum içeriği ile negatif bir korelasyon göstermiştir. Ayrımlı örnekleme noktaları ve bunların ayrımlı fizyografik pozisyonları incelendiğinde toprağın en üst horizonu olan A horizonlarındaki organik karbon içeriklerindeki değişikliklerin  $^{137}\text{Cs}$  aktivitesindeki artış ve azalışlara koşut olduğu saptanmıştır. Topraktaki kum ve mil tanecik boyutuna sahip ögelerin herhangi bir katyon tutma özelliğine sahip olmamasından dolayı kum ve mil niceliklerinin pedon boyunca dağılımlarında negatif bir ilişki saptanmıştır.

Araştırma alanında toprak tepkimeleri 6-8 arasında değişim göstermektedir. Küçük kabul edilebilecek bu değişim  $^{137}\text{Cs}$ 'un tutulması açısından incelendiğinde örneklerin %40'ında önemli ölçüde bir ilişki saptanmıştır. Diğer örneklerde ise düzensiz bir şekilde ve negatif-pozitif yönlerde önemsiz ilişkiler belirlenmiştir. Bu nedenle araştırma yöresinde  $^{137}\text{Cs}$  tutunumunda toprak tepkimesinden çok, organik maddenin ayışma derecesi ve kil içeriğinin etkili olduğu sonucuna varılmıştır..

Çizelge 7.11. Toprak Özellikleri ve  $^{137}\text{Cs}$  Arasındaki Korelasyon Katsayıları ( $R^2$ )

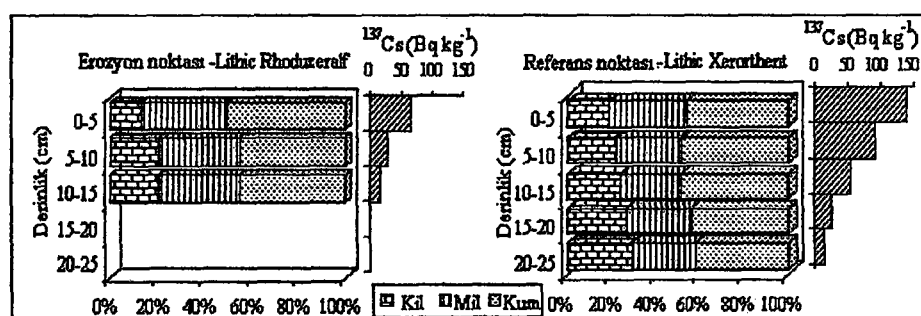
Bölge	Toprak Horizonu	Kum	Mil	Özgül Ağır.	pH	Kireç	Org. Mad.	$\text{Na}^+$	$\text{K}^+$	$\frac{\text{Ca}^{++}}{\text{Mg}^{++}}$	KDK	
Yatağan Tepe (E)	A	-0.53	+0.035	+0.82	+0.25	+0.47	+0.15	+0.95	-0.85	-0.004	-0.002	+0.81
Yatağan Tepe (E)	AC	-0.05	-0.009	+0.40	+0.27	-0.68	-0.76	+0.71	-0.57	-0.08	-0.65	+0.99
Yatağan Tepe (R)	A	-0.75	+0.033	+0.84	+0.84	-0.73	+0.96	+0.88	-0.80	-0.014	+0.23	+0.93
Yatağan Tepe (R)	AC	-0.65	-0.62	+0.98	-0.10	+0.42	+0.27	+0.74	-0.41	+0.22	+0.14	+0.10
Peynirli Tepe (E,R)	A	-0.87	+0.24	+0.99	-0.03	-0.14	-0.018	+0.87	-0.83	-0.011	+0.01	+0.94
Kırtas Tepe (E,R)	A	-0.88	-0.80	+0.90	-0.78	-0.64	+0.34	+0.78	-0.81	+0.15	-0.50	+0.75
Ürmez Tepe (E)	A	-0.46	+0.46	+0.46	+0.47	-0.09	+0.81	+0.87	+0.047	-0.83	+0.83	+0.78
Ürmez Tepe (E)	AC	+0.99	-0.99	-0.90	-0.58	-0.97	-0.88	+0.95	-0.88	+0.76	+0.01	+0.88
Ürmez Tepe (R)	A	-0.98	+0.08	+0.71	+0.76	-0.61	+0.33	+0.93	+0.54	-0.42	+0.83	+0.84
Ürmez Tepe (R)	AC	+0.11	-0.70	-0.02	-0.14	+0.89	-0.97	-0.46	-0.87	+0.89	-0.10	-0.04
Kayısalan Tepe (E)	A	+0.07	+0.48	-0.53	+0.53	-0.41	+0.43	+0.91	+0.01	-0.36	-0.37	-0.36
Kayısalan Tepe (E)	AC	-0.19	+0.75	-0.12	-0.012	-0.55	-0.03	+0.29	+0.99	+0.03	-0.03	-0.02
Kayısalan Tepe (R)	A	-0.53	+0.24	+0.78	-0.10	+0.79	+0.02	+0.88	+0.05	+0.39	+0.22	+0.71
Kayısalan Tepe (R)	AC	+0.99	-0.62	-0.81	-0.47	+0.83	+0.37	+0.93	-0.99	-0.56	-0.73	-0.81

E: Erozyona açık alan R: Erozyondan korunmuş alan

$^{137}\text{Cs}$  elementinin toprağın, kıl ve organik maddenin değişen düzeylerine bağlı olarak yüzey horizonunda turtulduğu ancak toprak profili derinliğine bağlı olarak azaldığı gözlenmektedir. Derinlikle  $^{137}\text{Cs}$  arasında belirlenen bu negatif korelasyon toprak profil içeriğindeki kıl miktarı ile ilişkili olmadığı saptanmıştır. Profil derinliği boyunca kıl artışına rağmen  $^{137}\text{Cs}$  miktarında bağımsız olarak bir azalma görülmüştür (Çizelge 7.12, Çizelge 7.13, Çizelge 7.14, Şekil 7.8, Şekil 7.9, Şekil 7.10).

#### Çizelge 7.12. Yatağan Tepe Erozyon ve Referans Noktalarında $^{137}\text{Cs}$ Konsantrasyonlarının Derinliğe Bağlı Dağılımı

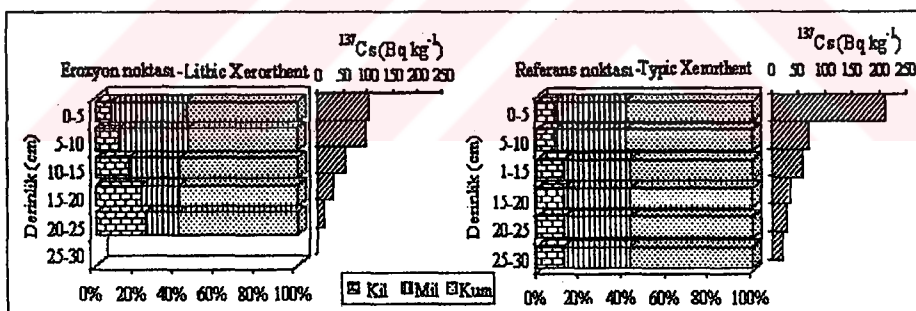
	Derinlik (cm)	$^{137}\text{Cs}$ ( $\text{Bq kg}^{-1}$ )
Erozyon	0-5	65.60
Noktası	5-10	27.34
3Y4E	10-15	15.14
Referans	0-5	137.14
Noktası	5-10	89.66
6YR1	10-15	54.86
	15-20	26.06
	20-25	15.14



Şekil 7.8. Yatağan tepe erozyon (3Y4E) ve referans (6YR1) noktalarında  $^{137}\text{Cs}$ 'un toprağın fiziksel özellikleri ile olan dikey dağılımı.

**Çizelge 7.13. Peynirli Tepe Erozyon ve Referans Noktalarında  $^{137}\text{Cs}$  Konsantrasyonlarının Derinliğe Bağlı Dağılımı**

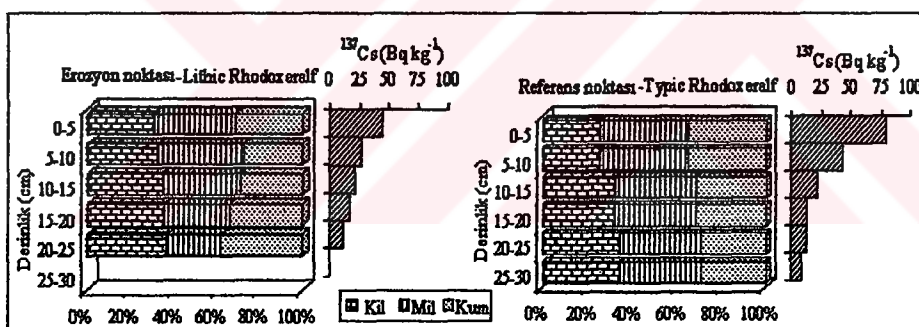
	Derinlik (cm)	$^{137}\text{Cs}$ ( $\text{Bq kg}^{-1}$ )
Erozyon Noktası	0-5	102.48
	5-10	97.42
	10-15	52.43
	15-20	31.05
2P2E	20-25	13.53
	0-5	209.25
	5-10	67.47
	10-15	55.08
Referans Noktası	15-20	32.57
	20-25	26.18
	25-30	19.56
	0-5	234.49
4PR1	5-10	89.33
	10-15	60.81
	15-20	45.77
	20-25	30.44
Referans Noktası	25-30	22.41
	0-5	234.49
	5-10	89.33
	10-15	60.81
4PR2	15-20	45.77
	20-25	30.44
	25-30	22.41



**Şekil 7.9. Peynirli tepe erozyon (2P2E) ve referans (4PR1) noktalarında  $^{137}\text{Cs}$ 'un toprağın fiziksel özellikleri ile olan dikey dağılımı.**

**Çizelge 7.14. Kıtaş Tepe Erozyon ve Referans Noktalarında  $^{137}\text{Cs}$  Konsantrasyonlarının Derinliğe Bağlı Dağılımı**

	Derinlik (cm)	$^{137}\text{Cs}$ ( $\text{Bq kg}^{-1}$ )
Erozyon Noktası	0-5	44.74
	5-10	27.06
	10-15	21.63
	15-20	17.07
	20-25	11.41
Referans Noktası	0-5	79.09
	5-10	44.09
	10-15	21.40
	15-20	12.75
	20-25	12.56
Referans Noktası	25-30	8.56
	0-5	88.62
	5-10	53.71
	10-15	34.57
	15-20	21.04
4KR1	20-25	20.98
	25-30	17.90
4KR2	0-5	88.62
	5-10	53.71
	10-15	34.57
	15-20	21.04
	20-25	20.98
4KR2	25-30	17.90



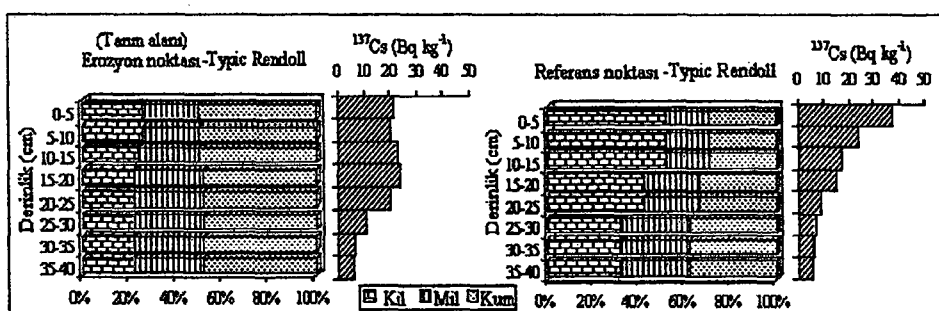
**Şekil 7.10. Kıtaş tepe erozyon (2K2E) ve referans (4KR1) noktalarında  $^{137}\text{Cs}$ 'un toprağın fiziksel özellikleri ile olan dikey dağılımı.**

Yatağan, Peynirli ve Kıtaş tepede toprak işlemeli herhangi bir tarımsal işlev gözlenmezken, Ürnez ve Kayışalan tepede toprak işlemeli tarım yapılmaktadır. Tarım yapılmayan alanlarda genelde yüzey toprak tabakasında birikim gösteren  $^{137}\text{Cs}$  toprak işlemeli tarım yapılan alanlarda toprağın pulluk vb toprak işleme ekipmanları ile altüst edilerek işlenmesi sonucu toprağın pedogenetiksel dizilim özelliklerinin bozulmasıyla tüm toprak profiline derinlik boyunca homojen olarak

dağılmıştır (Çizelge 7.15, Çizelge 7.16, Şekil 7.11, Şekil 7.12) (Uğur et al., 2002a).

**Çizelge 7.15. Ürmez Tepe Erozyon ve Referans Noktalarında  $^{137}\text{Cs}$  Konsantrasyonlarının Derinliğe Bağlı Dağılımı**

	Derinlik (cm)	$^{137}\text{Cs}$ (Bq kg <sup>-1</sup> )
Erozyon Noktası	0-5	21.30
	5-10	20.56
	10-15	22.43
	15-20	23.78
	20-25	20.34
	25-30	10.76
	30-35	6.64
Referans Noktası	35-40	5.95
	0-5	31.01
	5-10	21.73
	10-15	15.85
	15-20	11.51
	20-25	6.52
	25-30	4.88
5ÜR1	30-35	4.76
	35-40	4.56
Referans Noktası	0-5	37.19
	5-10	23.55
	10-15	16.95
	15-20	14.87
	20-25	8.71
	25-30	6.23
	30-35	5.78
5ÜR2	35-40	5.37

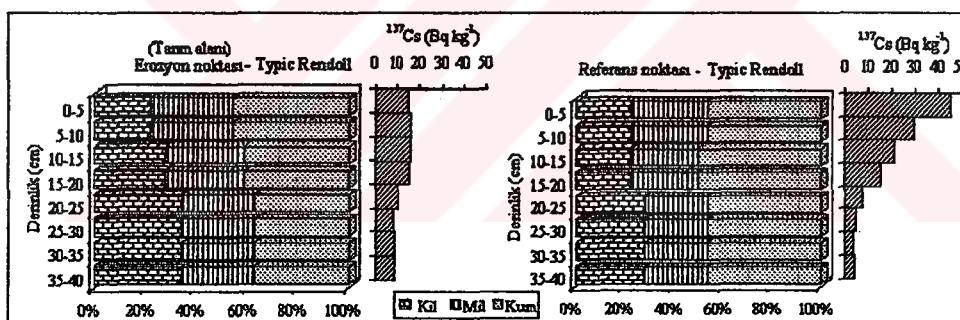


**Şekil 7.11. Ürmez tepe erozyon (tarım alanı)(3Ü2E) ve referans (5ÜR1) noktalarında  $^{137}\text{Cs}$ 'un toprağın fiziksel özellikleri ile olan dikey dağılımı.**

$^{137}\text{Cs}$ 'un toprağın fiziksel özellikleri ile olan dikey dağılımı.

**Çizelge 7.16. Kayışalan Tepe Erozyon ve Referans Noktalarında  $^{137}\text{Cs}$  Konsantrasyonlarının Derinliğe Bağlı Dağılımı**

	Derinlik (cm)	$^{137}\text{Cs}$ ( $\text{Bq kg}^{-1}$ )
Erozyon Noktası	0-5	14.39
	5-10	15.40
	10-15	15.70
	15-20	15.08
	20-25	10.35
	25-30	7.90
	30-35	8.59
2KA3E	35-40	8.48
	0-5	45.03
	5-10	29.04
	10-15	21.20
	15-20	14.94
	20-25	6.94
	25-30	4.93
Referans Noktası	30-35	3.74
	35-40	3.95
	0-5	45.03
	5-10	29.04
	10-15	21.20
	15-20	14.94
	20-25	6.94
5KAR1	25-30	4.93
	30-35	3.74
	35-40	3.95



**Şekil 7.12. Kayışalan tepe erozyon (tarım alam) (2KA3E) ve referans (5KAR1)**

noktalarında  $^{137}\text{Cs}$ 'un toprağın fiziksel özellikleri ile olan dikey dağılımı.

## 7.4. Araştırma Alanında Toprak Kaybının Saptanması

### 7.4.1. Üniversal Toprak Kaybı Denklemine Göre Toprak Kaybı Sonuçları

Bu bölgede yapılan başka bir çalışmada arazideki her bir tepe için toprak kaybının belirlenmesinde üniversal toprak kaybı denklemi (denklem 3.1) kullanılmıştır (Taysun, 1989). Su erozyonuna etki eden yağış (R), toprak (K), eğim uzunluğu (L), eğim derecesi (S), bitki amenajmanı (C) ve toprak muhafaza önlemleri (P) faktörleri ile toprak kaybı  $t \text{ ha}^{-1} \text{ y}^{-1}$  olarak saptanmış ve bu çalışmada bulunan sonuçlar Çizelge 7.17 verilmiştir (Uğur vd., 2003).

**Çizelge 7.17. Yatağan Havzasında USLE Yöntemine Göre Hesaplanan Toprak Kaybı Sonuçları**

Bölge	Toprak Kaybı ( $t \text{ ha}^{-1} \text{ y}^{-1}$ )
Yatağan Tepe	28.56
Peynirli Tepe	15.80
Kırtaş Tepe	28.49
Ürmez Tepe	45.59
Kayışalan Tepe	73.66

## 7.4.2. Nükleer Teknikler Kullanılarak Tayin Edilen Toprak Kaykı Sonuçları

### 7.4.2.1. Toprak Örneklerindeki $^{137}\text{Cs}$ Konsantrasyonları ve Örnekleme Noktalarının Topografik Özellikleri

Parsel çizgi sistemi oluşturulmuş olan beş bölgenin erozyon ve referans noktalarından toplanan toprak örneklerindeki  $^{137}\text{Cs}$  konsantrasyonları ve bu noktalardaki topografik özellikleri aşağıdaki tablolarda verilmiştir (Çizelge 7.18, Çizelge 7.19, Çizelge 7.20, Çizelge 7.21, Çizelge 7.22).

**Çizelge 7.18. Yatağan Tepe Toprak Örneklerindeki  $^{137}\text{Cs}$  Konsantrasyonları ve Örnekleme Noktalarının Topografik Özellikleri**

Örnek No	Yükseklik (m)	Koordinat	Eğim (%)	$^{137}\text{Cs}$ ( $\text{Bq kg}^{-1}$ )
1Y1	700	37°21'55" N 28°08'03" E	20	19.06
1Y2	700	37°21'56" N 28°08'03" E	20	26.98
2Y1	675	37°21'54", 5 N 28°08'04" E	35	36.84
2Y2	675	37°21'55", 5 N 28°08'04" E	35	33.69
2Y3	675	37°21'56", 5 N 28°08'04" E	35	38.15
3Y1	650	37°21'54", 5 N 28°08'05" E	25	52.67
3Y2	650	37°21'55" N 28°08'05" E	25	55.89
3Y3	650	37°21'56" N 28°08'05" E	25	60.07
3Y4	650	37°21'57" N 28°08'05" E	25	57.84
4Y1	625	37°21'53", 5 N 28°08'06" E	25	66.72
4Y2	625	37°21'54", 5 N 28°08'06" E	25	70.41
4Y3	625	37°21'55", 5 N 28°08'06" E	25	73.54
4Y4	625	37°21'56", 5 N 28°08'06" E	25	71.35
4Y5	625	37°21'57", 5 N 28°08'06" E	25	95.96
5Y1	600	37°21'53" N 28°08'07" E	20	99.03
5Y2	600	37°21'54" N 28°08'07" E	20	104.71
5Y3	600	37°21'55" N 28°08'07" E	20	129.55
5Y4	600	37°21'56" N 28°08'07" E	20	129.81
5Y5	600	37°21'57" N 28°08'07" E	20	124.75
5Y6	600	37°21'58" N 28°08'07" E	20	98.12
6YR1	583	37°21'53" N 28°08'07", 5 E	6	155.87

Y:Erozyon Noktaları, YR:Referans Noktaları

**Çizege 7.19. Peynirli Tepe Toprak Örneklerindeki  $^{137}\text{Cs}$  Konsantrasyonları ve Örnekleme Noktalarının Topografik Özellikleri**

Örnek No	Yükseklik (m)	Koordinat	Eğim (%)	$^{137}\text{Cs}$ ( $\text{Bq kg}^{-1}$ )
1P1	407	37°18'35" N 28°06'18" E	27	76.41
1P2	407	37°18'36" N 28°06'19" E	27	88.82
2P1	397	37°18'35",6 N 28°06'18"7 E	13	108.13
2P2	397	37°18'35",6 N 28°06'19"3 E	13	93.13
2P3	397	37°18'35" N 28°06'18"9 E	13	86.93
3P1	387	37°18'34" N 28°06'18" E	10	110.69
3P2	387	37°18'35"2 N 28°06'18"5 E	10	102.19
3P3	387	37°18'35",2 N 28°06'18"1 E	10	125.09
3P4	387	37°18'36" N 28°06'19" E	10	136.28
4PR1	382	37°18'35",4 N 28°06'21"8 E	5	176.45
4PR2	382	37°18'35",4 N 28°06'21"8 E	5	166.64

P:Erozyon Noktaları, PR:Referans Noktaları

**Çizege 7.20. Kırtas Tepe Toprak Örneklerindeki  $^{137}\text{Cs}$  Konsantrasyonları ve Örnekleme Noktalarının Topografik Özellikleri**

Örnek No	Yükseklik (m)	Koordinat	Eğim (%)	$^{137}\text{Cs}$ ( $\text{Bq kg}^{-1}$ )
1K1	396	37°17'30"8 N 28°08'53"7 E	16	18.84
1K2	396	37°17'31"2 N 28°08'53"7 E	16	23.47
2K1	386	37°17'30"6 N 28°08'54"1 E	10	37.92
2K2	386	37°17'31" N 28°08'54"1 E	10	44.87
2K3	386	37°17'31" N 28°08'54"1 E	10	48.20
3K1	376	37°17'30" N 28°08'54"5 E	13	53.83
3K2	376	37°17'30"8 N 28°08'54"5 E	13	57.51
3K3	376	37°17'31",2 N 28°08'54"5 E	13	61.27
3K4	376	37°17'31"6 N 28°08'54"5 E	13	49.95
4KR1	374	37°17'32",6 N 28°08'54"6 E	4	75.21
4KR2	374	37°18'33" N 28°08'54"6 E	4	79.16

K:Erozyon Noktaları, KR:Referans Noktaları

**Çizelge 7.21. Ürnez Tepe Toprak Örneklerindeki  $^{137}\text{Cs}$  Konsantrasyonları ve Örnekleme Noktalarının Topografik Özellikleri**

Örnek No	Yükseklik (m)	Koordinat		Eğim (%)	$^{137}\text{Cs}$ (Bq kg $^{-1}$ )
1Ü1	408	37°18'47"1 N	28°09'44"3 E	24	10.59
1Ü2	408	37°18'46"7 N	28°09'44"3 E	24	4.65
1Ü3	408	37°18'46"3 N	28°09'44"3 E	24	6.15
1Ü4	408	37°18'45"9 N	28°09'44"3 E	24	8.71
1Ü5	408	37°18'45"5 N	28°09'44"3 E	24	9.16
2Ü1	398	37°18'46"9 N	28°09'43"9 E	13	15.34
2Ü2	398	37°18'46"5 N	28°09'43"9 E	13	15.59
2Ü3	398	37°18'46"1 N	28°09'43"9 E	13	14.20
2Ü4	398	37°18'45"9 N	28°09'43"9 E	13	11.62
3Ü1	388	37°18'46"7 N	28°09'43"5 E	10	24.02
3Ü2	388	37°18'46"3 N	28°09'43"5 E	10	22.28
3Ü3	388	37°18'45"9 N	28°09'43"5 E	10	18.52
4Ü1	378	37°18'46"5 N	28°09'43"1 E	8	18.31
4Ü2	378	37°18'46"1 N	28°09'43"1 E	8	16.14
5ÜR1	382	37°18'43" N	28°09'43"3 E	5	25.80
5ÜR2	382	37°18'42"6 N	28°09'43"3 E	5	27.27

Ü:Erozyon Noktaları, ÜR: Referans Noktaları

**Çizelge 7.22. Kayışalan Tepe Toprak Örneklerindeki  $^{137}\text{Cs}$  Konsantrasyonları ve Örnekleme Noktalarının Topografik Özellikleri**

Örnek No	Yükseklik (m)	Koordinat		Eğim (%)	$^{137}\text{Cs}$ (Bq kg $^{-1}$ )
1KA1	460	37°20'03"8 N	28°10'12" E	13	8.92
1KA2	460	37°20'03"4 N	28°10'12" E	13	8.37
1KA3	460	37°20'03"3 N	28°10'12" E	13	10.81
1KA4	460	37°20'02"6 N	28°10'12" E	13	10.76
1KA5	460	37°20'02"5 N	28°10'12" E	13	8.94
2KA1	450	37°20'03"6 N	28°10'11"6 E	13	14.12
2KA2	450	37°20'03"2 N	28°10'11"6 E	13	10.77
2KA3	450	37°20'02"8 N	28°10'11"6 E	13	13.31
2KA4	450	37°20'02"4 N	28°10'11"6 E	13	14.34
3KA1	440	37°20'03"4 N	28°10'11"2 E	10	11.51
3KA2	440	37°20'03" N	28°10'11"2 E	10	13.52
3KA3	440	37°20'03" N	28°10'11"2 E	10	13.33
4KA1	430	37°20'03"2 N	28°10'10"8 E	5	19.49
4KA2	430	37°20'02"8 N	28°10'10"8 E	5	19.79
5KAR1	450	37°20'01"9 N	28°10'11"6 E	5	41.73

KA:Erozyon Noktaları, KAR:Referans Noktaları

#### 7.4.2.2. $^{137}\text{Cs}$ Kullanılarak Tayin Edilen Toprak Kaybı Sonuçları

Yatağan Tepe'de  $^{137}\text{Cs}$  envanterinin  $4823.10-33495.00 \text{ Bq m}^{-2}$  arasında değiştiği, ortalama  $^{137}\text{Cs}$  envanterinin  $16581.73 \text{ Bq m}^{-2}$  olduğu hesaplanmıştır. Toprak kayıplarının ise  $3.46-79.91 \text{ t ha}^{-1}\text{y}^{-1}$  arasında değiştiği ve ortalama toprak kaybının  $36.37 \text{ t ha}^{-1}\text{y}^{-1}$  olduğu saptanmıştır. Yatağan Tepe'de örnekleme noktalarındaki  $^{137}\text{Cs}$  konsantrasyonları, envanteri ve toprak kaybı sonuçları Çizelge 7.23 ve Şekil 7.13'de görülmektedir.

Peynirli Tepe'de ise  $^{137}\text{Cs}$  envanterinin  $18879.00-39767.50 \text{ Bqm}^{-2}$  arasında değiştiği, ortalama  $^{137}\text{Cs}$  envanterinin  $28160.07 \text{ Bq m}^{-2}$  olduğu hesaplanmıştır. Toprak kayıplarının ise  $1.16-40.24 \text{ t ha}^{-1}\text{y}^{-1}$  arasında değiştiği ve ortalama toprak kaybının  $15.15 \text{ t ha}^{-1}\text{y}^{-1}$  olduğu hesaplanmıştır. Peynirli Tepe'de örnekleme noktalarındaki  $^{137}\text{Cs}$  konsantrasyonları, envanteri ve toprak kaybı sonuçları Çizelge 7.24 ve Şekil 7.14'de görülmektedir.

Kırtaş Tepe'de  $^{137}\text{Cs}$  envanterinin  $4334.00-15292.90 \text{ Bq m}^{-2}$  arasında değiştiği ve ortalama  $^{137}\text{Cs}$  envanterinin  $10957.69 \text{ Bq m}^{-2}$  olduğu hesaplanmıştır. Toprak kayıplarının ise  $4.80-74.60 \text{ t ha}^{-1}\text{y}^{-1}$  arasında değiştiği, ortalama toprak kaybının  $27.16 \text{ t ha}^{-1}\text{y}^{-1}$  olduğu tayin edilmiştir. Kırtaş Tepe'de örnekleme noktalarındaki  $^{137}\text{Cs}$  konsantrasyonları, envanteri ve toprak kaybı sonuçları Çizelge 7.25 ve Şekil 7.15'de görülmektedir.

Ürmez Tepe'de  $^{137}\text{Cs}$  envanterinin  $1960.80-11706.10 \text{ Bq m}^{-2}$  arasında değiştiği ve ortalama  $^{137}\text{Cs}$  envanterinin  $6659.76 \text{ Bq m}^{-2}$  olduğu hesaplanmıştır. Toprak kayıplarının ise  $6.51-79.14 \text{ t ha}^{-1}\text{y}^{-1}$  arasında değiştiği ve ortalama toprak kaybının  $47.44 \text{ t ha}^{-1}\text{y}^{-1}$  olduğu tayin edilmiştir. Ürmez Tepe'de örnekleme noktalarındaki  $^{137}\text{Cs}$

konsantrasyonları, envanteri ve toprak kaybı sonuçları Çizelge 7.26 ve Şekil 7.16'da görülmektedir.

Kayışalan Tepe'de  $^{137}\text{Cs}$  envanterinin 3452.50-8008.80 Bq  $\text{m}^{-2}$  arasında değiştiği ve ortalama  $^{137}\text{Cs}$  envanterinin 5208.71 Bq  $\text{m}^{-2}$  olduğu hesaplanmıştır. Toprak kayıplarının ise 52.05-73.69 t  $\text{ha}^{-1}\text{y}^{-1}$  arasında değiştiği ve ortalama toprak kaybının 65.01 t  $\text{ha}^{-1}\text{y}^{-1}$  olduğu belirlenmiştir. Kayışalan Tepe'de örnekleme noktalarındaki  $^{137}\text{Cs}$  konsantrasyonları, envanteri ve toprak kaybı sonuçları Çizelge 7.27 ve Şekil 7.17'de görülmektedir.

**Çizelge 7.23.** Yatağan Tep'e de Örnekleme Noktalarındaki  $^{137}\text{Cs}$  Konsantrasyonları, Envanterleri ve Toprak Kaybı Sonuçları

Kayıbı Sonuçları

Yükseklik (m)	Toprak Örneği No	$^{137}\text{Cs}$ Konsantrasyonu (Bq $\text{kg}^{-1}$ )	Ortalama $^{137}\text{Cs}$ Konsantrasyonu (Bq $\text{kg}^{-1}$ )	$^{137}\text{Cs}$ Envanteri (Bq $\text{m}^{-2}$ )	Ortalama $^{137}\text{Cs}$ Envanteri (Bq $\text{m}^{-2}$ )	$^{137}\text{Cs}$ Ortalama Kaybı (%)	Ortalama $^{137}\text{Cs}$ Kaybı (%)	Toprak Kaybı (t $\text{ha}^{-1}$ )	Ortalama Toprak Kaybı (t $\text{ha}^{-1}$ )
700	1Y1	19.06	23.02	4823.10	4972.1	86.81	86.40	79.91	78.73
	1Y2	26.98		5121.10		85.99		77.55	
675	2Y1	36.84	36.23	9077.00	8537.97	75.18	76.65	54.97	57.46
	2Y2	33.69		7801.60		78.66		60.94	
650	2Y3	38.15	56.62	8735.30	13141.48	76.11	62.20	56.48	40.48
	3Y1	52.67		11501.90		68.54	64.06	45.62	
625	3Y2	55.89	75.60	13819.60	16568.12	62.20	54.69	38.38	31.79
	3Y3	60.07		13668.20		62.62		38.82	
600	3Y4	57.84	71.35	13576.20	15401.50	62.87	57.88	39.08	35.98
	4Y1	66.72		14295.20		60.90		34.11	
583	4Y2	70.41	95.96	16022.20	14685.80	56.18	59.84	32.55	19.27
	4Y3	73.54		14685.80		60.90		37.05	
583	4Y4	71.35	114.33	22435.90	26778.32	54.69	44.37	23.14	14.71
	4Y5	95.96		20338.90		59.84		31.12	
583	5Y1	99.03	114.33	25186.00	26778.32	18.13	26.76	7.89	12.79
	5Y2	104.71		29934.20		24.36		11.01	
583	5Y3	129.55	16581.73	27658.20	33495.70	8.39	34.21	3.46	16.52
	5Y4	129.81		33495.70		34.21		11.01	
583	5Y5	124.75	16581.73	24056.90		54.65	54.65	36.37	36.37
	5Y6	98.12		36564.30		36564.30		36564.30	
583	<b>Ortalama</b>	<b>72.26</b>	155.87				155.87		
	6YR1(Ref)								

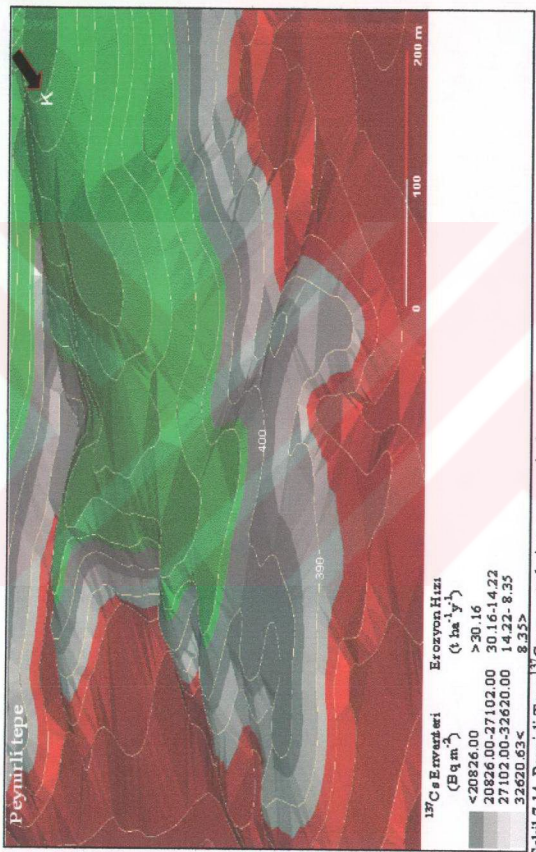


Şekil 7.13. Yatağan Tepe  $^{137}\text{Cs}$  envanterleri ve erozyon hızları.

### Kayıbı Sonuçları

Yükseklik (m)	Toprak Ornegi No	$^{137}\text{Cs}$ Konsantrasyonu (Bq kg $^{-1}$ )	Ortalama $^{137}\text{Cs}$ Konsantrasyonu (Bq kg $^{-1}$ )	$^{137}\text{Cs}$ Envanteri (Bq m $^{-2}$ )	Ortalama $^{137}\text{Cs}$ Envanteri (Bq m $^{-2}$ )	$^{137}\text{Cs}$ Kayıbı (%)	Ortalama $^{137}\text{Cs}$ Kayıbı (%)	Toprak Kayıbı (t ha $^{-1}$ y $^{-1}$ )	Toprak Kayıbı (t ha $^{-1}$ y $^{-1}$ )
407	1P1	76.41	82.62	18870.00	20826.05	54.15	49.40	40.24	30.16
	1P2	88.82		22782.10	44.64	20.08		20.08	
397	2P1	108.13	96.06	28466.00	28466.00	30.83	34.14	12.52	14.22
	2P2	93.13		27328.70	27328.70	33.59		13.90	
387	2P3	86.93	118.56	25511.30	25511.30	38.01	36.32	16.24	15.33
	3P1	110.69		26204.30	26204.30	29.67		11.95	
	3P2	102.19	125.09	28941.40	32620.63	13.57	20.73	4.95	8.35
	3P3	125.09		35569.30	35569.30	3.36		1.16	
382	3P4	136.28	103.07	39767.50	39767.50	31.57	31.57	15.15	41152.50
	4PR1(Ref)	176.45		43762.80	43762.80	38542.20		41152.50	
	4PR2(Ref)	166.64	171.55	41152.50	41152.50	38542.20		38542.20	

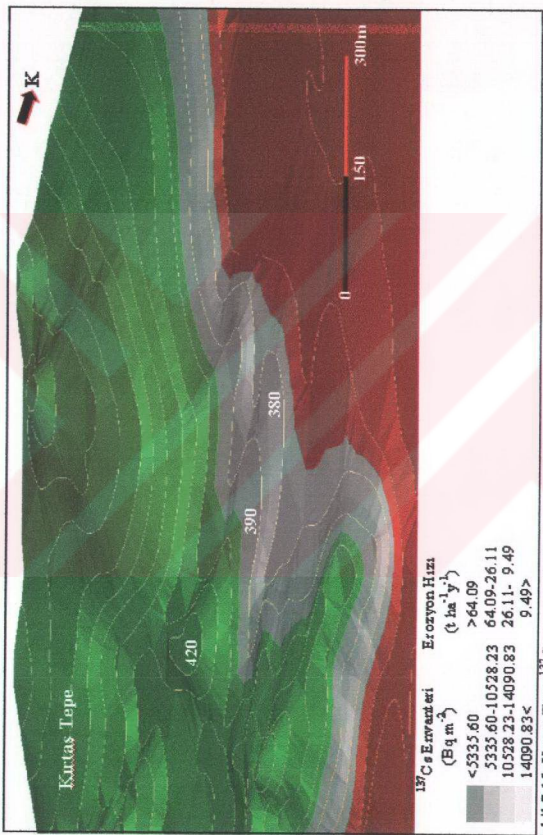
Çizelge 7.24. Peynirli Tepe'de Ömekleme Noktalarındaki  $^{137}\text{Cs}$  Konsantrasyonları, Envanterleri ve Toprak



Sekil 7.14. Peynirli Tepe  $^{137}\text{Cs}$  envanterleri ve erozyon hızları.

Çizelge 7.25. Kırtaş Tepe'de Örnekleme Noktalarındaki  $^{137}\text{Cs}$  Konsantrasyonları, Envanterleri ve Toprak Kaybı Sonuçları

Yükseklik (m)	Toprak Örneği No	$^{137}\text{Cs}$ Konsantrasyonu (Bq kg <sup>-1</sup> )	Ortalama $^{137}\text{Cs}$ Konsantrasyonu (Bq kg <sup>-1</sup> )	$^{137}\text{Cs}$ Envanteri (Bq m <sup>-2</sup> )	Ortalama $^{137}\text{Cs}$ Envanteri (Bq m <sup>-2</sup> )	$^{137}\text{Cs}$ Kaybı (%)	Ortalama $^{137}\text{Cs}$ Kaybı (%)	Toprak Kaybı (t ha <sup>-1</sup> )	Ortalama Toprak Kaybı (t ha <sup>-1</sup> y <sup>-1</sup> )
396	1K1	18.84	21.16	4334.00	5335.60	74.01	68.00	74.60	64.09
	1K2	23.47		6337.20		62.00		53.57	
386	2K1	37.92	43.66	8370.90	10528.23	49.81	36.87	38.16	26.11
	2K2	44.87		11361.20		31.88		21.25	
376	2K3	48.20	53.83	11852.60	14371.70	28.93	13.83	18.91	8.24
	3K1	53.83		14371.70		13.83		8.30	
374	3K2	57.51	55.64	15292.90	14090.83	15.51	14.46	4.80	9.49
	3K3	61.27		14265.80		14.46		8.65	
374	3K4	49.95	43.98	12432.90	10957.69	25.45	34.30	16.26	27.16
	<b>Ortalama</b>								
374	4KR1(Ref.)	75.21	77.19	15967.30	16677.55		16677.80		
	4KR2(Ref.)	79.16							

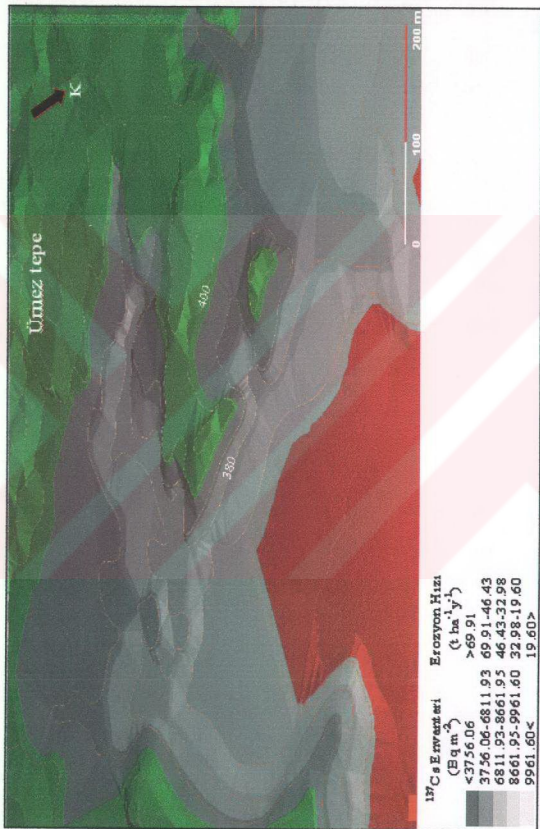


Sekil 7.15. Kırtaş Tepe  $^{137}\text{Cs}$  envanterleri ve erozyon hızları.

Çizelge 7.26. Ürmez Tep'e Örnekleme Noktalarındaki  $^{137}\text{Cs}$  Konsantrasyonları, Envanterleri ve Toprak

## Kaybı Sonuçları

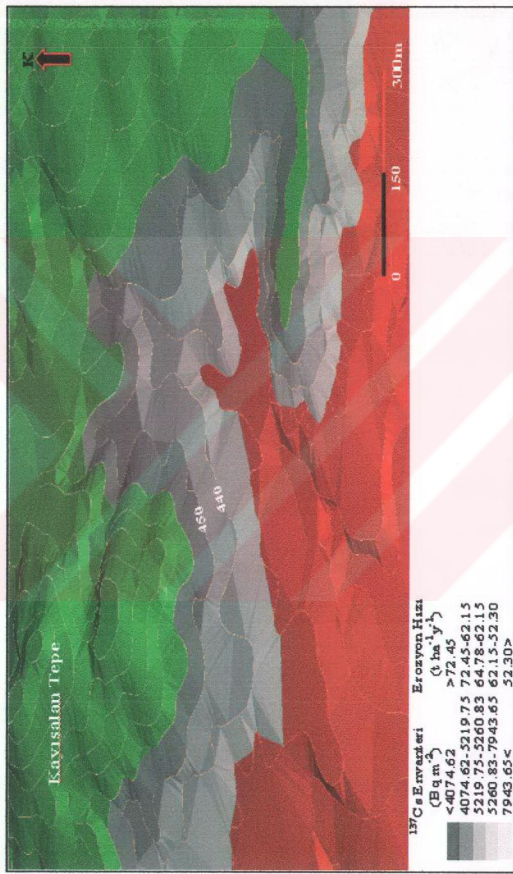
Yükseklik (m)	Toprak Örneği No	$^{137}\text{Cs}$ Konsantrasyonu (Bq kg <sup>-1</sup> )	Ortalama $^{137}\text{Cs}$ Konsantrasyonu (Bq kg <sup>-1</sup> )	$^{137}\text{Cs}$ Envanteri (Bq m <sup>-2</sup> )	Ortalama $^{137}\text{Cs}$ Envanteri (Bq m <sup>-2</sup> )	$^{137}\text{Cs}$ Kayıbı (%)	Ortalama $^{137}\text{Cs}$ Kayıbı (%)	Toprak Kaybı (t ha <sup>-1</sup> y <sup>-1</sup> )	Ortalama Toprak Kaybı (t ha <sup>-1</sup> y <sup>-1</sup> )
408	1Ü1	10.59	5528.00	55.73	62.16	69.91	69.91	75.95	75.95
	1Ü2	4.65	1960.80	84.30	3756.06				
	1Ü3	6.15	2996.90	76.00	3927.90				
	1Ü4	8.71	3927.90	68.54	4366.70				
	1Ü5	9.16	4366.70	65.03	6811.93				
398	2Ü1	15.34	7387.20	40.84	7640.20	45.45	45.45	40.65	40.65
	2Ü2	15.59	6811.93	38.81	6790.30				
	2Ü3	14.20	5430.00	45.62	5430.00				
	2Ü4	11.62	11706.10	56.51	9554.20				
	3Ü1	24.02	21.61	6.25	9961.60				
388	3Ü2	22.28	8624.50	23.49	8624.50	20.22	20.22	21.52	21.52
	3Ü3	18.52	9123.70	30.93	8200.20				
	4Ü1	18.31	8661.95	26.93	6659.76				
	4Ü2	16.14	34.33	30.63	46.67				
	<b>Ortalama</b>	<b>13.95</b>	<b>6659.76</b>	<b>47.44</b>	<b>13601.00</b>				
382	5ÜR1(Ref)	25.8	11372.90	12486.95	11372.90	28.68	32.98	37.27	37.27
	5ÜR2(Ref)	27.27	26.54	13601.00	13601.00				



Sekil 7.16. Ümmez Tepe <sup>137</sup>Cs envanterleri ve erozyon hızları.

**Cizelge 7.27** Kayışalan Tepe'de Örneklemeye Noktalardaki  $^{137}Cs$  Konsantrasyonları, Envanterleri ve Toprak

Kayabı Sonuçları



Şekil 7.17. Kayışalan Tepe  $^{137}\text{Cs}$  envanterleri ve erozyon hızları.

Kritidis ve arkadaşları tarafından benzer iklim, coğrafi konum ve toprak özelliklerine (Typic Xerorthent) sahip olan Yunanistan'da  $^{137}\text{Cs}$  referans envanterinin yaklaşık olarak  $6 \text{ kBq m}^{-2}$  olduğu, ortalama değerlerin  $1.3$  ve  $30 \text{ kBq m}^{-2}$  arasında değiştiği verilmiştir. Theocharopoulos ve arkadaşları ise  $^{137}\text{Cs}$ 'un referans envanterini toprak erozyonu çalışmalarında  $14424.3 \text{ Bq m}^{-2}$  olarak hesaplamışlar, toprak kayıplarının ise  $5.37\text{--}102.56 \text{ t ha}^{-1} \text{ y}^{-1}$  arasında değiştiğini bulmuşlardır (Theocharopoulos et al., 2000).

Çalışmada Yatağan Havzasındaki beş farklı tepenin referans alanlarında  $^{137}\text{Cs}$  envanterlerinin  $11372.90\text{--}43762.80 \text{ Bq m}^{-2}$  arasında gözlenirken erozyon hızının  $15.15\text{--}73.64 \text{ t ha}^{-1} \text{ y}^{-1}$  arasında değiştiği hesaplanmıştır.

#### **7.4.2.3. Topografik Özellikler ile $^{137}\text{Cs}$ Kaybı ve Toprak Kayıfları**

##### **Arasındaki Korelasyon Grafikleri**

Parsel çizgileri yöntemine göre örneklemeye yapılan her bir alanın topografik özellikleri belirlenmiş ve bu noktalardaki  $^{137}\text{Cs}$  konsantrasyonu ile toprak kayıfları arasında istatistikî değerlendirilmeler yapılarak bunlar arasındaki korelasyon katsayıları hesaplanmıştır (Çizelge 7.28).



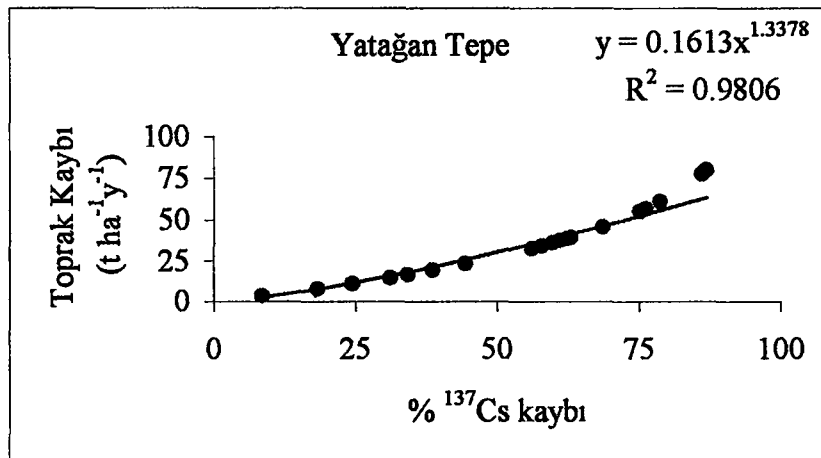
**Çizelge 7.28.  $^{137}\text{Cs}$  ve Toprak Kaybı Sonuçları ile Topografik Sonuçlar Arasındaki Korelasyon Katsayıları**

Örneklemme Alanı		Yükseklik (m)	Eğim (%)
Yatağan	$^{137}\text{Cs} (\text{Bq kg}^{-1})$	-0.88	-0.47
Tepe	Toprak Kaybı ( $\text{t ha}^{-1}\text{y}^{-1}$ )	+0.93	+0.20
Peynirli	$^{137}\text{Cs} (\text{Bq kg}^{-1})$	-0.69	-0.58
Tepe	Toprak Kaybı ( $\text{t ha}^{-1}\text{y}^{-1}$ )	+0.61	+0.65
Kırtaş	$^{137}\text{Cs} (\text{Bq kg}^{-1})$	-0.84	-0.62
Tepe	Toprak Kaybı ( $\text{t ha}^{-1}\text{y}^{-1}$ )	+0.84	+0.27
Ürmez	$^{137}\text{Cs} (\text{Bq kg}^{-1})$	-0.70	-0.80
Tepe	Toprak Kaybı ( $\text{t ha}^{-1}\text{y}^{-1}$ )	+0.68	+0.77
Kayışalan	$^{137}\text{Cs} (\text{Bq kg}^{-1})$	-0.12	-0.33
Tepe	Toprak Kaybı ( $\text{t ha}^{-1}\text{y}^{-1}$ )	+0.76	+0.58

Yatağan, Peynirli, Kırtas ve Ürmez tepede  $^{137}\text{Cs}$  konsantrasyonlarının arazi yüksekliği arttıkça azaldığı buna bağlı olarak da toprak kaybının yüksek yerlerde daha fazla olduğu belirlenmiştir. Bu durum tepenin yüksek yerlerinde bitki örtüsünün seyrek olmasından kaynaklanmaktadır. Yatağan, Peynirli, Kırtas ve Kayışalan tepede  $^{137}\text{Cs}$  konsatrasyonları ile eğim arasında önemli bir korelasyon gözlenmezken Ürmez tepede eğim arttıkça  $^{137}\text{Cs}$  konsantrasyonunun azaldığı bulunmuştur ( $R^2=-0.80$ ). Yatağan, Peynirli, Kırtas ve Kayışalan tepelerinde toprak kaybı ile eğim arasında önemsiz bir korelasyon olmasına rağmen Ürmez tepede eğim arttıkça toprak kaybının arttığı gözlenmiştir ( $R^2=+0.77$ ).

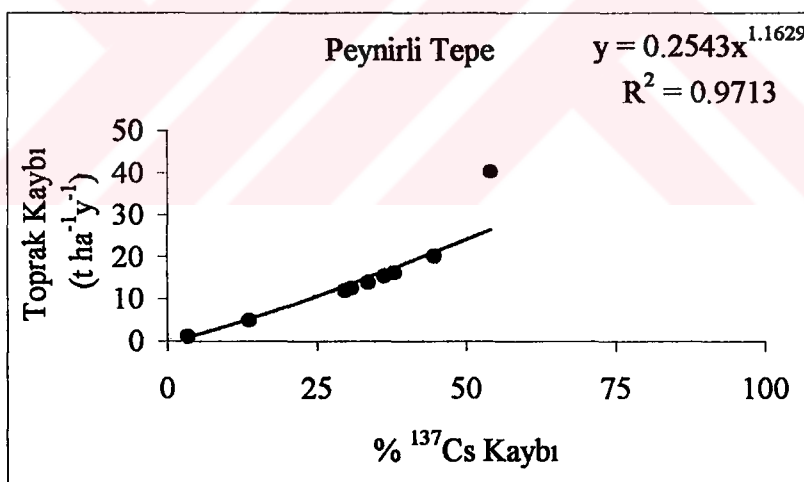
#### 7.4.2.4. Relatif $^{137}\text{Cs}$ Kaybı ile Toprak Kayıpları Arasındaki Korelasyon Grafikleri

Yatağan tepe toprak kayıpları ile relatif  $^{137}\text{Cs}$  kaybı arasındaki korelasyon katsayısının +0.98 olduğu hesaplandı (Şekil 7.18).



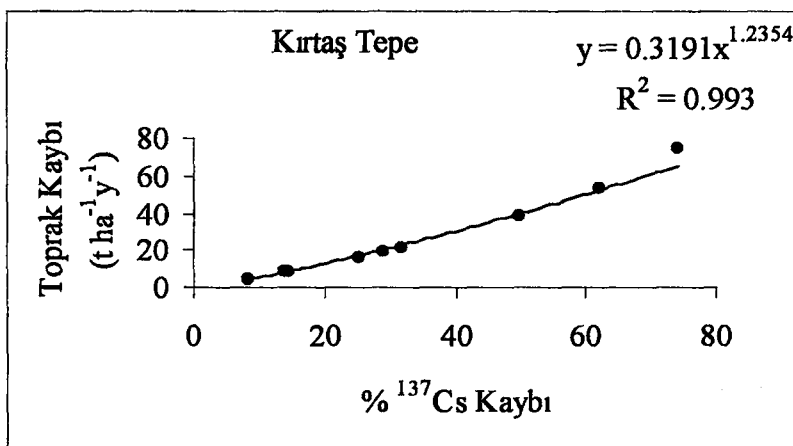
Şekil 7.18. Yatağan tepe toprak kayipları ile relatif  $^{137}\text{Cs}$  kayipları arasındaki korelasyon grafiği.

Peynirli tepe toprak kayipları ile relatif  $^{137}\text{Cs}$  kaybı arasındaki korelasyon katsayısının +0.97 olduğu hesaplandı (Şekil 7.19).



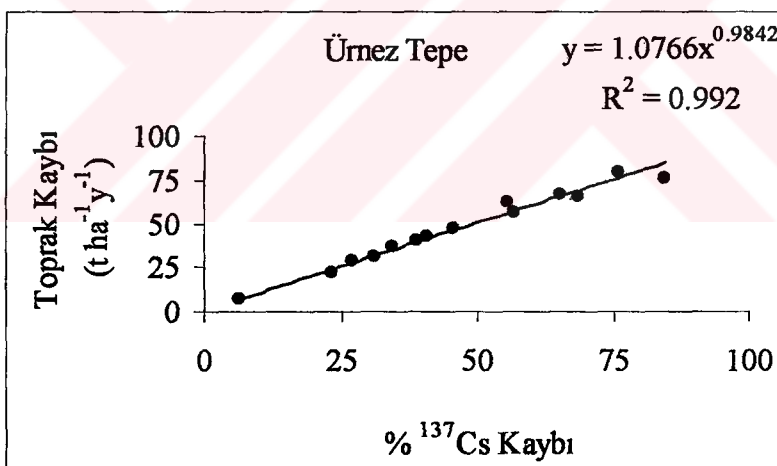
Şekil 7.19. Peynirli tepe toprak kayipları ile relatif  $^{137}\text{Cs}$  kayipları arasındaki korelasyon grafiği.

Kırtaş tepe toprak kayipları ile relatif  $^{137}\text{Cs}$  kaybı arasındaki korelasyon katsayısının +0.99 olduğu bulundu (Şekil 7.20).



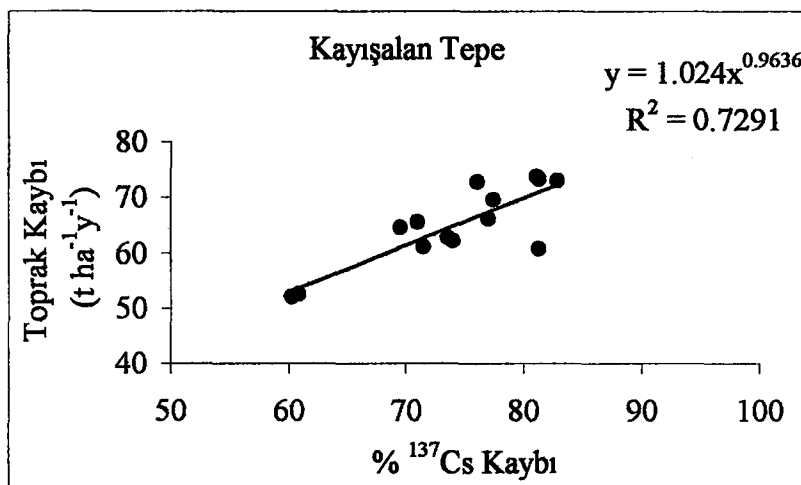
Şekil 7.20. Kırtaş tepe toprak kayipları ile relatif  $^{137}\text{Cs}$  kayipları arasındaki korelasyon grafiği.

Ürmez tepe toprak kayipları ile relatif  $^{137}\text{Cs}$  kaybı arasındaki korelasyon katsayısının +0.99 olduğu hesaplandı (Şekil 7.21).



Şekil 7.21. Ürmez tepe toprak kayipları ile relatif  $^{137}\text{Cs}$  kayipları arasındaki korelasyon grafiği.

Kayışalan tepe toprak kayipları ile relatif  $^{137}\text{Cs}$  kaybı arasındaki korelasyon katsayısının +0.73 olduğu hesaplandı (Şekil 7.22).

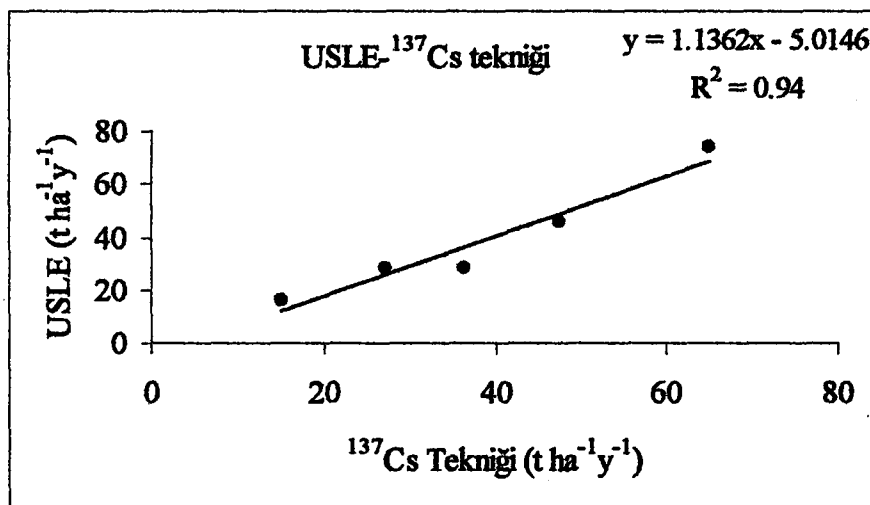


Şekil 7.22. Kayışalan tepe toprak kayipları ile relativ  $^{137}\text{Cs}$  kayipları arasındaki korelasyon grafiği.

Değişik topografik konumda, toprak tiplerinde ve arazi yükseltilerinde bulunan toprakların gerek USLE ve gerekse  $^{137}\text{Cs}$  teknikleri kullanılarak toprak kayipları belirlenmiş ve sonuçların uyumlu olduğu gözlenmiştir (Çizelge 7.29, Şekil 7.23).

Çizelge 7.29. Üniversal Toprak Kaybı Denklemi (USLE) ve  $^{137}\text{Cs}$  Tekniği ile Elde Edilen Toprak Kayipları

Örneklemme alanı	USLE	$^{137}\text{Cs}$ tekniği
	( $\text{t ha}^{-1}\text{y}^{-1}$ )	( $\text{t ha}^{-1}\text{y}^{-1}$ )
Yatağan Tepe	28.56	36.37
Peynirli Tepe	15.80	15.15
Kırtaş Tepe	28.49	27.16
Ürmez Tepe	45.59	47.44
Kayışalan Tepe	73.64	65.01



Şekil 7.23. Üniversal Toprak Kaybı Denklemi (USLE) ile <sup>137</sup>Cs teknigi ile  
elde edilen toprak kayiplari arasındaki korelasyon grafigi.

## **8. TARTIŞMA ve ÖNERİLER**

Bu çalışmanın amacı Türkiye'de ilk defa uygulanan ve diğer ülkelerde oldukça sık kullanılan  $^{137}\text{Cs}$  tekniği ile Muğla iline bağlı Yatağan havzası topraklarında toprak kaybının saptanmasıdır. Beş farklı örnekleme bölgesinde tarım yapılan ve yapılmayan alanlardaki toprak hareketlerini belirleme çalışmalarına ilaveten havza toprakları, fiziksel ve kimyasal özelliklerine göre ve taksonomik olarak gruplandırıldıktan sonra toprak özellikleri ile  $^{137}\text{Cs}$  arasındaki ilişkiler değerlendirilmiştir. Yapılan toprak ve  $^{137}\text{Cs}$  analizleri sonucunda organik madde ve kıl minerallerince zengin toprakların  $^{137}\text{Cs}$  tutunumunda etkili olduğu gözlenmiştir (Bkz. Çizelge 7.11).

Havza etrafından 3 tanesi tarım yapmaya uygun olmayan 5 farklı tepede erozyona açık alanlardan kor alma burgusu ile toplanan toprak örneklerinin  $^{137}\text{Cs}$  envanterlerinin  $1960.80\text{-}39767.50 \text{ Bq m}^{-2}$  ve erozyon hızının ise  $15.15\text{-}65.01 \text{ t ha}^{-1}\text{y}^{-1}$  arasında değiştiği hesaplanmıştır. Tarım yapılmaya uygun olmayan alanlarda erozyon hızı tayinlerinde profil dağılım modeli kullanılmıştır. Bu modelin uygulanması için  $^{137}\text{Cs}$  dağılımının toprak derinliği boyunca exponansiyel olarak azalması gereklidir (Bkz Şekil 6.4). Tarım yapılmayan erozyona açık alanlardan elde edilen toprak kayıplarının ( $15.15\text{-}36.37 \text{ t ha}^{-1}\text{y}^{-1}$ ) tarım yapılan alanlara ( $47.44\text{-}65.01 \text{ t ha}^{-1}\text{y}^{-1}$ ) göre daha düşük olduğu gözlenmiştir. Yatağan tepe, Kırtas tepe ve Peynirli tepe bölgelerindeki çalışma alanlarının bir kısmının seyrek maki funda ve Kermes meşesi (*Quercus coccifera*) ile kaplı olması erozyonun şiddetini azaltmıştır. Özellikle Peynirli tepenin yoğun miktarda kermes meşesi ve seyrek zeytin ağaçları ile kaplı olması bu bölgede erozyonun şiddetini ( $15.15 \text{ t ha}^{-1}\text{y}^{-1}$ ) oldukça düşürmüştür. Yatağan ve Kırtas tepede çalışma alanlarının çiplak araziye ve zayıf bitki

örtüsüne sahip olması erozyon hızında artışa neden olmuştur (27.16-36.37 t ha<sup>-1</sup>y<sup>-1</sup>).

Tarım yapılan alanlardaki erozyon hızı tayinlerinde orantılı model kullanılmıştır. Bu modelin tarım alanlarına uygulanabilmesi için <sup>137</sup>Cs dağılımının pulluk tabakasına kadar homojen bir şekilde olması gereklidir (Bkz Şekil 6.3). Genellikle buğday ve arpa gibi tahıl ürünleri yetiştirilen Ürmez tepe ve Kayışalan tepe bölgelerinde toprak kaybının artmasının (47.44-65.01 t ha<sup>-1</sup>y<sup>-1</sup>) bu alanların bitki örtüsünden yoksun çiplak araziye sahip olması ve tarımın yamaç boyunca aşağı doğru yapılması kaynaklandığı söylenebilir. Bu sonuçlara göre bu alanlarda verimli toprakların kaybedilmesi ve taşlı alanların oluşması kaçınılmaz bir gerçektir. Bu tür tarım alanlarında tarımın yamacı dik yapılması ve arazinin seyrek ağaçlandırılması alınacak önlemlerin başında gelmektedir.

<sup>137</sup>Cs tekniği ile bulunan toprak kaybı sonuçlarını değerlendirmek amacı ile aynı bölgede yapılan başka bir çalışmada USLE (Universal Toprak Kaybı Denklemi) kullanılarak toprak kayıpları hesaplanmış (Uğur vd., 2003) ve her iki yöntem ile elde edilen veriler arasında pozitif bir korelasyon saptanmıştır ( $R^2=+0.94$ ) (Bkz. Çizelge 7.29, Şekil 7.23). İki farklı yöntem ile bulunan sonuçlar arasındaki verilerin birbirini desteklemesi bölgede su erozyonun etkin olduğunu göstermektedir. Çünkü USLE ile bulunan toprak kaybı sonuçları sadece su erozyonu sonucunu vermektedir. Yapılan bir çalışmada USLE yöntemine göre elde edilen toprak kaybı sonuçlarının rüzgar erozyonunu hesaba katmadığı için <sup>137</sup>Cs teknüğine göre bulunan toprak kaybı sonuçlarından düşük olduğu belirtilmiştir (Taşkin, 1993). Ayrıca USLE yöntemi ile deposizyon alanlarındaki toprak birikimi belirlenemezken <sup>137</sup>Cs tekniği

kullanılarak toprak birikimini belirlemek mümkündür. USLE denklemi ile bir bölgenin toprak kaybının belirlenmesi için bölgede yapılan beton bloklar ile çevrili küçük deneme parsellerin maliyeti yüksektir. Bu deneme parselleri bölgenin doğal yapısını yansitmamaktadır. Oysa  $^{137}\text{Cs}$  tekniğinde bu tür deneme parsellerine ihtiyaç yoktur. Bölgenin doğal yapısı bozulmadan erozyon ya da depozisyon alanları parsel çizgilerine bölünür. Her bir parsel çizgisi alanından yapılan örneklemme ve  $^{137}\text{Cs}$  analizi sonucunda  $^{137}\text{Cs}$  tekniğinin kullanıldığı modellerden erozyon hızı ya da depozisyon hızı hesaplanır.

$^{137}\text{Cs}$  tekniğinin uygulanmasında hassasiyet gerektiren pek çok nokta vardır. Örnekleme işlemleri yapılmadan önce bölgede erozyon, depozisyon ve referans alanları belirlenmelidir.  $^{137}\text{Cs}$  tekniğinin erozyona açık bir bölgeye uygulanmasında özellikle referans alanlarının seçimi önemlidir. Referans alanlarının erozyondan korunmuş ancak erozyona açık alanlara yakın olması gereklidir. Arazi çalışmaları bu çalışmada olduğu gibi Akdeniz iklimi görülen bölgelerde yapılmıyor ise, örneklemme işlemlerinin genellikle yağmur mevsiminin sona erdiği ve toprağın nemli olduğu Nisan ayının son günlerinde yapılması daha uygundur. Yaz mevsimi boyunca, kuru ve sert toprak tabakasından kor şeklinde yapılan örneklemenin zorluğu yanında toprak korunun bozulma ihtimalini de göz önüne almak gereklidir. Bundan sonra yapılacak çalışmalarla tarımın erozyona etkisi de incelenebilir. Bunun için aynı coğrafik koşullara sahip ve birbirine çok yakın tarım yapılan ve yapılmayan alanlar seçilmelidir. Bu iki farklı bölge arasındaki karşılaştırmadan toprağın işlenmesi ile kaybedilen toprak miktarı bulunabilir. Ayrıca araşturmaya kullanılan erozyon hızı hesaplama modelleri bölgelerin iklim, yeşil doku çeşitliliği, jeolojik yapı, arazinin topografik görünümü veya peyzajı, toprak

taksonomik birimleri, toprak işleme özellikleri vb. parametreleri de içerecek şekilde geliştirilerek devam edilmesinde yarar görülmektedir. Dünyada uygulamasına yeni başlayan  $^{210}\text{Pb}$  tekniğinin kullanılmasının mümkün olacağı alanlarda da erozyon hızı tayinleri  $^{137}\text{Cs}$  ile birlikte karşılaştırmalı olarak yapılabilecektir. Ancak araştırma alanındaki termik santralden dolayı bu mümkün olmamıştır. Ayrıca bu bölgede yapılan başka bir çalışmada biyoindikatör olarak seçilen bitkilerde ölçülen  $^{210}\text{Pb}$  konsantrasyonunun referans bölgelerine göre yüksek oluşu, toprak profillerinden tayin edilen  $^{210}\text{Pb}$ 'un atmosferik akısının yüksek oluşu ve toprak profillerindeki  $^{210}\text{Pb}$  değişiminin düzgün olmaması, akının sabit kalmadığını göstermektedir (Uğur et al., 2003). Bu nedenle  $^{210}\text{Pb}$ 'un erozyon hızı tayininde izleyici olarak kullanıldığı alternatif bir metod bu bölge için uygun bulunmamıştır. Havzada çok şiddetli fırtına ve rüzgar erozyonu etkisinin çok az olmasından dolayı erozyonun süreli etkisinin izlenmesinde kullanılan  $^7\text{Be}$  radionüklidi de bu bölge için uygun değildir.

Bölgедe yamaç tarımı yapılan farklı eğimlerdeki diğer alanları ve birikim havzalarını da içine alacak şekilde çalışma alanı genişletilerek araştırmanın devam etmesi uygun olacaktır. Erozyon ve birikim hızları belirlenerek havzanın genel bir erozyon haritası oluşturulacaktır.

## KAYNAKLAR DİZİNİ

**Altınbaş, Ü., 1996, Toprak Etüt ve Haritalama. (Ders Kitabı) E.Ü. Ziraat Fakültesi Yayınları No:521, Bornova-İzmir.**

**Appleby, P.G. and Oldfield, F., 1992, Application of  $^{210}\text{Pb}$  to Sedimentation Studies. In: M.Ivanovich & R.S.Harmon (eds.), Uranium Series Disequilibrium, OUP, 731-778p.**

**Basher, L.R., 2000,.Surface Erosion Assessment Using  $^{137}\text{Cs}$ :Examples from New Zealand, Acta Geologica Hispanica, Vol. 35, No. 3-4, 219-228p.**

**Başarır, E., 1970, Bafa Gölü Doğusunda Kalan Menderes Masifi Güney Kanadının Jeolojisi ve Petrografisi, Ege Üniversitesi Bilimsel Yayınlar No:102, İzmir.**

**Bernard, C. and Laverdiere, M.R., 2000, Using  $^{137}\text{Cs}$  as a Tool for the Assessment and the Management of Erosion/Sedimentation Risks in View of the Restoration of the Rainbow Smelt (*Osmerus mordax*) Fish Population in the Boyer River Basin (Quebec, Canada), Acta Geologica Hispanica,Vol. 35, No 3-4, 321-327p.**

**Black, C.A., 1965, Methods of Soil Analysis, Part 2. American Society of Agronomy, Inc., Publisher Madison, Wisconsin U.S.A.**

**KAYNAKLAR (devam)**

**Boardman, J., Foster, I.D.L. and Dearing, J.A.**, 1996, Soil Erosion on Agricultural Land, British Geomorphological Research Group Symposia Series, New York, 35-56p.

**Bouyoucous, G.J.**, 1962, Hydrometer Method Improved for Making Particle Size Analysis.

**Bujan, A., Santanatoglia, O.J., Chagas, C., Massobrio, M., Castiglioni, M., Yanez, M.S., Ciallella, H. and Fernandez, J.**, 2000, Preliminary Study on the Use of the  $^{137}\text{Cs}$  Method for Soil Erosion Investigation in the Pampe Region of Argentine, *Acta Geologica Hispanica*, Vol.35, 271-277p.

**Chappell, A.**, 1999, The Limitations of Using  $^{137}\text{Cs}$  for Estimating Soil Redistribution in Semi-arid Environments *Geomorphology* 29, 135-152p.

**Collins, A.L., Walling, H.M., Sichingabula, H.M. and Leeks, G.J.L.**, 2001, Using  $^{137}\text{Cs}$  Measurements to Quantify Soil Erosion and Redistribution Rates for Areas under Different Land Use in the Upper Kalya River Basin, Southern Zambia *Geoderma* 104, 299-323p.

### KAYNAKLAR (devam)

**Çevik, B.**, 1998, Türkiye'de Rüzgar Erozyonu ve Çölleşme Sorunu  
Türkiye Erozyonla Mücadele, Ağaçlandırma ve Doğal Varlıklarını  
Koruma Vakfı Yayınları, No:16. 68p.

**Doğan, O. ve Güçer, C.**, 1976, Su Erozyonunun Nedenleri-Oluşumu ve  
Üniversal Denklem ile Toprak Kayıplarının Saptanması, Köy İşleri  
Bakanlığı, Merkez Topraksu Araştırma Enstitüsü Müdürlüğü  
Yayınları, No:41, Ankara 25p.

**Du, M., Yang, H., Chang, Q., Minami, K. and Hatta, T.**, 1998,  
Caesium-137 fallout depth distribution in different soil profiles and  
significance for estimating soil erosion rate, Science of soils, 3:3.

**Günay, T.**, 1997, Orman, Ormansızlaşma, Toprak, Erozyon., Türkiye  
Erozyonla Mücadele, Ağaçlandırma ve Doğal Varlıklarını Koruma  
Vakfı Yayınları No:1, İstanbul, 71p.

**Herpin, U., Berlekamp, J., Wolterbeek, B., Grodzinska, K., Siewers,  
U., Lieth, H., Weckert, V.**, 1996, The Distribution of Heavy  
Metals in a Transect of the Three States the Netherlands, Germany  
and Poland, Determined with the Aid of Moss Monitoring, The  
Science of The Total Environment, Vol. 187, Issue 3, 185-198p.

**KAYNAKLAR (devam)**

**Ionita, I., Margineanu, R.M. and Hurjui, C.**, 2000, Assessment of the Reservoir Sedimentation Rates from  $^{137}\text{Cs}$  Measurements in the Moldavian Plateau, *Acta Geologica Hispanica*, Vol.35 No:3-4, 357-367p.

**Jackson, M.L.**, 1958, Soil Chemical Analysis-Advanced Course. Department of Soils, University of Wisconsin. Madison 6, Wisconsin, USA.

**Jackson, M.L.**, 1967, Soil Chemical Analysis. Prentice Hall.Inc., Engle Wood Cliff, New Jersey.

**Kelley, W.P.**, 1951, Alkali Soils, Their Formation, Properties and Reclamation, Reinhold Publishing Corporation, New York, USA.

**Meteoroloji Bölge Müdürlüğü**, 2002, Muğla Yatağı İlçesi Meteoroloji İstasyonuna Ait Çok Yıllık Rasat Raporları, Yatağı- Muğla.

**Montgomery, J.A., Busacca, A.J., Frazier, B.E. and McCool, D.K.**, 1997, Evaluating Soil Movement Using Cesium-137 and the Revised Universal Soil Loss Equation *Soil Sci. Soc. Am. J.* 61:571p.

**KAYNAKLAR (devam)**

**Munsell Color Company, Inc, 1954, Munsell Soil Color Charts.**  
**Baltimore, USA.**

**Nagle, G.N., 2000, Lassoie J.P., Fahey T.J. and McIntyre S.C., The Use of Caesium-137 to Estimate Agricultural Erosion on Steep Slopes in a Tropical Watershed, Hydrological Processes, Vol.14, 957-969p.**

**Nikolskii, N., 1963, Practical Soil Science. Israel Program For Scientific Translations Ltd. Jerusalem.**

**Ping Y., Guangrong, D., Yiyun, Z. X. and Yiyun, Z., 2000, Preliminary Results of the Study on Wind Erosion in the Qinghai-Tibetan Plateau Using  $^{137}\text{Cs}$  Technique, Chinese Science Bulletin, Vol.45 No.11.**

**Porto, P., Walling, D.E. and Ferro, V., 2001, Validating the Use of Caesium-137 Measurements to Estimate Soil Erosion Rates in a Small Drainage Basin in Calabria, Southern Italy Journal of Hydrology, 248, 93-108p.**

**KAYNAKLAR (devam)**

**Ritchie, J.C. and McHenry, J.R., 1990, Application of Radioactive Fallout Cesium-137 for Measuring Soil Erosion and Sediment Accumulation Rates and Patterns: A Review, Journal of Environment Vol.19, 215-233p.**

**Ritchie, J.C. and Rasmussen, P.E., 2000, Application of Cesium-137 to Erosion Rates for Understanding Soil Carbon Loss on Long-Term Experiments at Pendleton, Oregon, Land Degradation and Development, 11:75-81p.**

**Robbins, J. A., 1978, Geochemical and Geophysical Applications of Radioactive Lead. in J. O. Nriagu, Biochemistry of Lead in the Environment Amsterdam: Elsevier Scientific Publishers, 285-393p.**

**Schlichting, E. and Blume, H.P., 1996, Bodenkundliches Praktikum. Verlag, Paul Parey.Hamburg und Berlin.**

**Schuller, P., Sepulveda, A., Trumper, R.E. and Castillo, A., 2000, Application of  $^{137}\text{Cs}$  Technique to Quantify Soil Redistribution Rates in Paleohumults from Central-South Chile, Acta Geologia Hispanica, Vol. 35, No.3-4, 285-290p.**

### **KAYNAKLAR (devam)**

**Soil Survey Staff**, 1951, Soil Survey Manual. U.S. Department Agriculture Handbook.No:18. U.S. Government Print. Office, Washington.

**Uğur, A., Saç, M.M, Yener, G., Kurucu, Y., Bolca, M., and Altınbaş, Ü.,** 2002a, Vertical Distribution of the Natural and Artificial Radionuclides in Different Soil Profiles to Investigate Soil Erosion, NAMLS-7, 7 th International Conference on Nuclear Analytical Methods in the Life Sciences, Book of Abstracts, Turkey-Antalya 140p.

**Uğur, A., Özden, B., Saç, M.M, Yener, G., Altınbaş, Ü., Kurucu, Y. and Bolca, M.,** (2002b), Lichens and Mosses for Correlation Between Trace Elements and  $^{210}\text{Po}$ ( $^{210}\text{Pb}$ ) in the Areas Near Coal-Fired Power Plant at Yatağan, Turkey, NAMLS-7, 7 th International Conference on Nuclear Analytical Methods in the Life Sciences, Book of Abstracts, Turkey-Antalya 171p.

**Uğur, A., Özden, B., Saç, M.M, Yener, G.,** 2003, Biomonitoring of  $^{210}\text{Po}$  and  $^{210}\text{Pb}$  Using Lichens and Mosses Around a Uraniferous Coal-Fired Power Plant in Western Turkey, Atmospheric Environment, 37, pp 2237-2245.

## KAYNAKLAR (devam)

**Uğur, A., Yener, G., Saç, M. M., Altınbaş, U., Kurucu, Y., Bolca, M.,**  
2003, Ayrımlı Yamaç Yüzeyleri ve % Eğimlerden Oluşmuş  
Yatağan Havzası Tarım Topraklarında Radyoaktif Kurşun ve  
Sezyum Profilleri Kullanılarak Toprak Hareketlerinin Belirlenmesi,  
TÜBİTAK Projesi, Proje No: YDABÇAG-100Y060, 104-106s,  
Ankara.

**U.S. Salinity Lab. Staff**, 1954, Diagnosis and Improvement of Saline  
and Alkali Soils Goverment Print. Office, Washington.

**USDA and SCS (Soil Survey Staff)**, 1981, Soil Survey Manuel, Issue 1,  
Washington. DC. U.S.A. 430p.

**Taşkin, Ö.**, 1993, Assessment of Erosion Rates and Patterns from Spatial  
Variability of Cesium-137, A Dissertation Prenseted to the Faculty  
of The Graduate College at the University of Nebraska in Partial  
Fulfillment of Requirements for the Degree of Doctor of  
Philosophy. Lincoln, Nebraska.

**Taysun, A.**, 1989, Toprak ve Su Korunumu, Ege Üniversitesi Ziraat  
Fakültesi Teksir No: 92-III, 17-33p.

**KAYNAKLAR (devam)**

**Theocharopoloulos, S.P., Florou, H., Kritidis, P, Belis, D., Tsouloucha, F., Christou, M., Kouloumbis, P. and Nikolaou, T.**, 2000, Use of Isotopic Technique in Soil Erosion Studies in Central Greece, *Acta Geologica Hispanica*, Vol.35, No.3-4, 301-310p.

**Theocharopoloulos S.P., Florou H., Walling D.E., Kalantzakos H., Christou M., Tountas P., Nikolaou T.**, 2002, Soil Erosion and Deposition Rates in Cultivated Catchment Area in Central Greece, Estimated Using the  $^{137}\text{Cs}$  Technique, *Soil and Tillage Research* 1758 1-10p.

**Türekian, K.K., Nozaki, Y and Benninger, L.K.**, Geochemistry of Atmospheric Radon and Radon Products. *Annu. Rev. Earth Planet. Sci.*; 5:227p.

**Tyler, A.N., Carter, S., Davidson, D.A., Long, D.J. and Tipping, R.**, 2001, The Extent and Significance of Bioturbation on  $^{137}\text{Cs}$  Distributions in Upland Soils, *Catena* 43, 81-99.

**Wallbrink P.J. and Murray A.S.**, 1996, Determining Soil Loss Using the Inventory Ratio of Excess Lead-210 to Cesium-137, *Soil Sci. Soc. Am. J.* 60:1201-1208p.

**KAYNAKLAR (devam)**

**Walling D.E., He Q. and Quine T.A., 1995, Use of Caesium-137 and Lead-210 as Tracers in Soil Erosion Investigations, Tacer Technologies for Hydrological Systems (Proceedings of a Boulder symposium), IAHS Publ. No.229.**

**Walling, D.E., He, Q. and Blake, W., 1999, Use of  $^{7}\text{Be}$  and  $^{137}\text{Cs}$  Measurements to Document Short- and Medium-Term Rates of Water-Induced Soil Erosion on Agricultural Land, Water Resources Research Vol. 35, No.12.**

**Walling, D.E. and He, Q., 1999a, Using Fallout Lead-210 Measurements to Estimate Soil Erosion on Cultivated Land, Soil Science of America Journal, Vol. 63, 1404-1412.**

**Walling, D.E. and He, Q., 1999b, Improved Models for Estimating Soil Erosion Rates from Cesium-137 Measurements, Journal of Environment Quality, Vol.28, pp. 611-622.**

## **KAYNAKLAR (devam)**

**Walling D.E., He Q. and Quine T.A., 1995, Use of Caesium-137 and Lead-210 as Tracers in Soil Erosion Investigations, Tacer Technologies for Hydrological Systems (Proceedings of a Boulder symposium), IAHS Publ. No.229.**

**Walling, D.E., He, Q. and Blake, W., 1999, Use of  $^{7}\text{Be}$  and  $^{137}\text{Cs}$  Measurements to Document Short- and Medium-Term Rates of Water-Induced Soil Erosion on Agricultural Land, Water Resources Research Vol. 35, No.12.**

**Walling, D.E. and He, Q., 1999a, Using Fallout Lead-210 Measurements to Estimate Soil Erosion on Cultivated Land, Soil Science of America Journal, Vol. 63, 1404-1412.**

**Walling, D.E. and He, Q., 1999b, Improved Models for Estimating Soil Erosion Rates from Cesium-137 Measurements, Journal of Environment Quality, Vol.28, pp. 611-622.**

## **ÖZGEÇMİŞ**

**Adı Soyadı: Müslüm Murat SAC**

**Ünvanı : Araştırma Görevlisi**

**Doğum tarihi: 24.02.1968**

**Doğum yeri: Karşıyaka-Örnekköy**

**Medeni Hali: Evli**

### **Eğitim Durumu:**

**İlkokul: 1975-1980 Örnekköy İlköğretim Okulu**

**Ortaokul: 1980-1982 Karşıyaka Havva Özış Bakan Lisesi**

**Lise : 1982-1985 Karşıyaka Havva Özış Bakan Lisesi**

**Üniversite: 1987-1991 Ege Üniversitesi Fen Fakültesi Fizik Bölümü**

**Yüksek Lisans: 1991-1994 Ege Üniversitesi Fen Bilimleri Enstitüsü**

**Bölüm : Nükleer Bilimler**

**Doktora: 1997- 2003 Ege Üniversitesi Fen Bilimleri Enstitüsü**

**Bölüm : Nükleer Bilimler**

**Uzmanlık dalı: Nükleer Fizik, Çevresel Radyoaktivite**

### **Çalıştığı Kurumlar:**

**1994-1995: Bilim İlaç Sanayii**

**1995-1998: Milli Eğitim Bakanlığı Fizik Öğretmenliği**

**1998- Devam : Ege Üniversitesi Nükleer Bilimler Enstitüsünde**

**Araştırma Görevliliği**

**Bildiriler:**

**Uğur A., Saç M.M, Yener G., Kurucu Y., Bolca M. and Altınbaş Ü.,**  
2002, Vertical Distribution of the Natural and Artificial Radionuclides in  
Different Soil Profiles to Investigate Soil Erosion, NAMLS-7, 7 th  
International Conference on Nuclear Analytical Methods in the Life  
Sciences, Book of Abstracts, Antalya-Turkey, pp. 140.

**Uluslararası dergilerdeki yayınlar:**

**Uğur A., Saç M.M, Yener G., Kurucu Y., Bolca M., and Altınbaş Ü.,**  
Vertical Distribution of the Natural and Artificial Radionuclides in  
Different Soil Profiles to Investigate Soil Erosion, Journal of  
Radioanalytical and Nuclear Chemistry. vol.259'da yayınlanmak üzere  
kabul edildi.